―ワーキンググループ報告―

臨床に役立つ基準画像の収集・処理・ 表示・出力のポイント

日本核医学技術学会核医学画像の定量化・基準化のための調査研究ワーキンググループ

委 員

増 田 安 彦 旭川赤十字病院

川 渕 安 寿 金沢市立病院

片 渕 哲 朗 岐阜医療科学大学

柳 沢 正 道 日本メジフィジックス株式会社

長 木 昭 男 倉敷中央病院

大屋信義 九州大学病院

寺 岡 悟 見 富士フィルム RI ファーマ株式会社

仁井田 秀 治 日本メジフィジックス株式会社

学術委員長 林 万寿夫 大阪医科大学病院

Point of Acquisition, Processing, Display and Output for Standardized Images with Clinical Usefulness

Working Group for Investigation and Research on Nuclear Medicine Image Quantification and Standardization, Japanese Society of Nuclear Medicine Technology

Yasuhiko Masuda

Akio Nagaki

Department of Radiological Technology, Asahikawa Red

Department of Radiology, Kurashiki Central Hospital

Cross Hospital

Yasuhisa KAWABUCHI

Department of Radiology, Kanazawa Municipal

Nobuyoshi Ohya

Division of Radiology, Department of Medical Technology,

Kyushu University Hospital

Hospital
Tetsuro KATAFUCHI

Department of Radiological Technology, School of Health

Science, Gifu University of Medical Science

Masamichi Yanagisawa

Nihon Medi-Physics Co., Ltd.

Satomi TTRAOKA Fujifilm RI Pharma Co., Ltd.

Hideharu NIIDA Nihon Medi-Physics Co., Ltd.

Chairman of Scientific Committee, Japanese Society of Nuclear Medicine Technology
Masuo HAYASHI

Department of Radiology, Osaka Medical College Hospital

Key words: Nuclear Medicine Technology, Nuclear Medicine Manufacturers, Standardization, Quantification, SPECT Imaging, Whole Body Imaging

1. はじめに

核医学画像の現状は、CTやMRI画像のようには基準化された画像とは言えない.むしろ各施設の自由度に依存しており、施設毎に千差万別の画像が出力されている感がある.そこで、核医学画像の信頼性や客観性を向上させ、全国的なEBNMT(根拠に基づいた核医学技術)を作り上げるために、平成14年に「核医学画像の定量化・基準化のための調査研究ワーキンググループ」(以下、定量化・基準化 WG)を発足させた.これまでに会員、機器メーカおよびプリンターメーカにアンケートを実施し、ホームページおよび会誌上にその結果を報告している.

会員に対するアンケートの結果では、標準化された収集・処理・表示・出力に関するガイドラインが必要であるとの回答が87%にのぼり、定量化・基準化 WG の活動および結果に期待するものが大きいことがわかる.

機器メーカに対するアンケートの結果では、標準化が必要であることが共通認識であることを確認できたが、ユーザーに対して機器の理解を望む意見もあった.

プリンターメーカに対するアンケート結果は, ホームページに掲載しているのでユーザーは一度 確認して頂ければ幸いである.

本報告では定量化・基準化 WG の最終報告として、脳血流 SPECT、心筋 SPECT、骨シンチグラフィ WB+Static+SPECT およびガリウムシンチグラフィ WB+SPECT に関する基準画像やピットホール等をまとめた。また巻末に各項目のチェックポイントを掲載した。ぜひ基準画像およびチェックポイントを参考にして自施設の収集・処理・表示・出力条件、画像を評価して頂き、差異が認められる場合は、画像に影響する因子をチェックし、優良な画像を出力して自信を持って頂きたい。また機器メーカおよびプリンターメーカの皆様には、ユーザーより質問や問い合わせがあった際には、核医学の EBM、核医学画像の信頼性や客観性向上のために積極的に説明(関与)頂くことも希望する.

ぜひ全国の施設で、各地方会で、本報告を起爆 剤として EBNMT の確立のために、実践頂くこと を, 定量化・基準化 WG として節にお願いする 次第である.

(大屋)

2. 脳血流 SPECT 編

最近, CT や MRI などの画像診断技術が急速に 進歩している中で、脳核医学では形態診断のみで は判断することのできない血流,機能,代謝イ メージングでの病態評価が詳細に行われている. 脳血流 SPECT では脳に摂取された放射能量を測 ることでSPECT 画像を得ているが、収集、処理、 表示法に関して極めて多くの手技の選択やパラ メータ設定か可能であり、施設ごとに千差万別の プロトコルが存在している. この自由度が核医学 の発展に寄与してきたことは否定できない. しか し、その施設においては代表的な画像であって も,標準化された画像ではないため,多施設間で データの共有をはかろうとしても画質と精度が異 なれば困難である. 本章では EBM を実践する上 で質の高い SPECT データを提供するために、基 準画像を提示すると共に,収集,処理,表示にお けるチェックポイントを述べる.

2-1. 脳血流 SPECT の使用装置とコリメータ

SPECT の画質は、カウント、分解能、コントラストで決定され、これらは検出器の感度とコリメータの性能に大きく依存する。コリメータは使用する放射性医薬品(トレーサ)の放出エネルギーによるペネトレーションを考慮し選択する。特に123I 核種の場合には 159 keV の他に 529 keV にもピークがあるため、下方散乱(ダウンスキャタリング)が大きい。充分なカウントが得られる場合には、高分解能型を、カウントが得られない場合には汎用型コリメータを選択する。コリメータの種類とスペックを示す(表1)。

本章で示す基準画像のコリメータの選択については、2 検出器カメラ (E. CAM) の $^{99\text{m}}$ Tc 製剤はLEHR コリメータ、 123 I 製剤はトレーサの放出エネルギーと感度から LMEGP を選択した. また、3 検出器カメラ (GCA9300A) は、トレーサのエネルギーに対応したコリメータ を使用し、 $^{99\text{m}}$ Tc 製剤は LEHR-Fan、 123 I 製剤は LMEGP-Fan を使用した.

表2にガンマカメラ装置とコリメータの保有台

表1 コリメータの種類とスペック

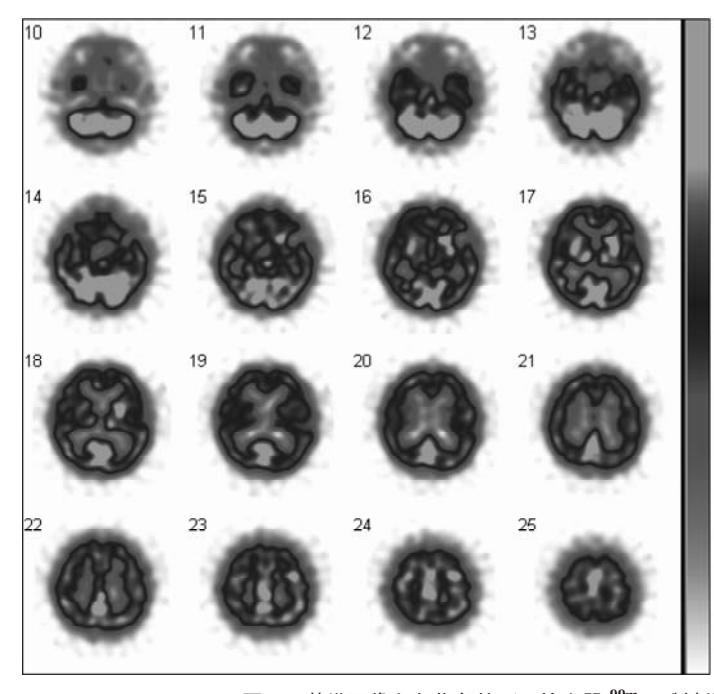
Collimator Characteristic	LEHR	ME	¹²³ I Fanbeam	¹²³ I Parallel	LMEGP
Sensitivity at 10 cm per Collimator (cpm/kBq)	5.5	8.4	8.1	5.3	9.2
System Resolution FWHM at 10 cm	7.4	12.5	9.6	8.4	10.4
Energy at 5% Septal Penetration (keV)	160	300	190	190	240
Penetration at 140 keV (%)	1	0	0.08	0.09	0
Penetration at 160 keV (%)	4.83	0	0.9	0.93	0.05

シーメンス E. CAM 用コリメータの種類とスペック (感度,分解能,ペネトレーション)の違い

表 2 ガンマカメラ装置とコリメータの保有台数

1 検出	器	2 検出	器	3 検と	出器	4 検出	器
303 (23	%)	795 (620	%)	189 (1	5%)	4 (0.3	%)
コリメータの係	尺有台数						
LEHS	119	LEGP	502	LEHR	643	LESHR	50
LEHR Fan	259	LESHR Fan	86	MEGP	607	MEHR	95
ME Fan	17	MEHR Fan	6	LMEGP	98	LMEHR	13
I-123	35	I-123 Fan	25	HE	260	UHE	27

核医学診療の実態と画像の収集・処理・表示・出力の標準化に関するアンケート調査報告より引用



機種名·処理装置	E.CAM, e.soft
投与量	ECD 740MBq
摄像開始時間	投与5分後
コリメータ	LEHR
エネルギーウィンドウ	140keV±10 %
収集モード・収集角度	連続回転, 4度(90ステップ)
収集時間	150秒×6回 (15分)
回転半径 (cm)	13.0cm
マトリックス	128 × 128
拡大収集(有無と拡大率)	有:拡大率 1.45
ピクセルサイズ (mm)	3.3mm
前処理フィルタ	Butterworth
(order, cutoff 周波数)	Order 8, cutoff 周波数: 0.6 [cycles/cm]
再構成フィルタの種類	Ramp
过程结束 十十 1	減弱補正法:(Chang)
減弱補正方法とμ値	μ值: (0.09)
散乱線補正の有無	無
画像表示、カットレベル	Rainbow Red, 100%-0%
加算、ステップ	加算なし、1ステップ

図 1 基準画像と収集条件(2 検出器 ^{99m}Tc 製剤)〈カラー掲載参照〉

数 $^{1)}$, 2 検出器型と 3 検出器型について 99m Tc 製剤と 123 I 製剤の基準画像と収集条件を示す(図 $1 \sim 6$). なお,図 $1 \sim 4$ に関してはカラー掲載参照.

2-2. 画像作成におけるチェックポイント(収集, 処理, 表示)の概要

図7に標準化に必要と思われる収集,処理,表示のチェックポイントを示す.図8に画像処理過程を示す.

2-3. 収集に関する注意点

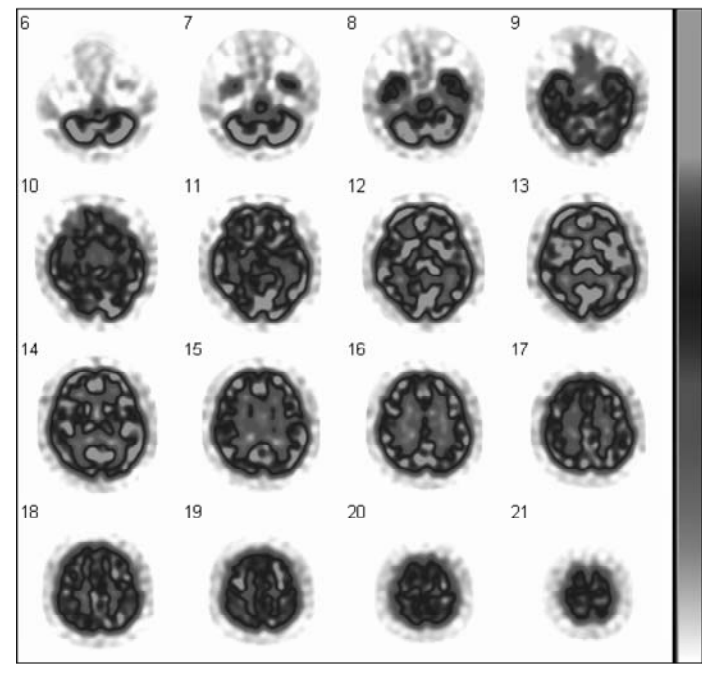
(1) 使用薬剤投与後の撮像タイミングについて 現在使用されている蓄積型トレーサは、脂溶性

臨床に役立つ基準画像の収集・処理・表示・出力のポイント(増田、長木、川渕、他)

7	8	9	10
(9)	12	13	14
15	16 (S)	17 (A)	18
19	20	21	22

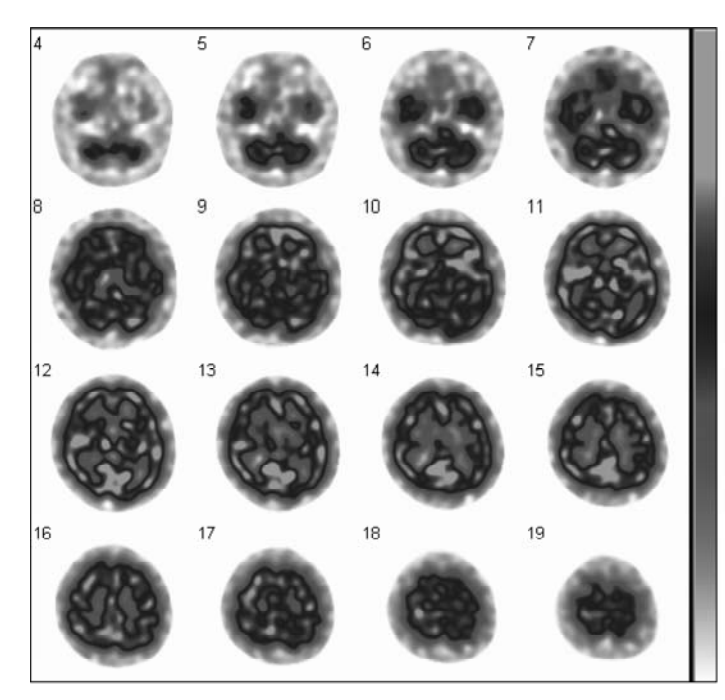
機種名·処理装置	E.CAM , e.soft
投与量	IMP 111MBq
撮像開始時間	投与15分後
コリメータ	LMEGP
エネルギーウィンドウ	159keV±10 %
収集モード・収集角度	連続回転,5度(72ステップ)
収集時間	150秒×12回 (30分)
回転半径 (cm)	13.0cm
マトリックス	128 × 128
拡大収集(有無と拡大率)	有:拡大率 1.23
ピクセルサイズ (mm)	3.9mm
前処理フィルタ	Butterworth
(order, cutoff 周波数)	Order 8, cutoff 周波数:
(order, cuton papers)	0.55 [cycles/cm]
再構成フィルタの種類	Ramp
滅弱補正方法とμ値	減弱補正法:(Chang)
減物補止力法Cμ 值	μ值:(0.07)
散乱線補正の有無	無
画像表示、カットレベル	Rainbow Red, 100%-0%
加算、ステップ	加算なし、1テップ

図2 基準画像と収集条件(2検出器 ¹²³I 製剤)〈カラー掲載参照〉



機種名・処理装置	GCA9300A, GMS5500/PI	
投与量	ECD 740MBq	
撮像開始時間	投与5分後	
コリメータ	LESHR ファンビーム (N1)	
エネルギーウィンドウ	140keV±10 % sub 7%	
収集モード・収集角度	連続回転. 4度(90ステップ)	
収集時間	120秒×10回 (20分)	
回転半径 (cm)	13.2cm	
マトリックス	128 × 128	
拡大収集(有無と拡大率)	無	
ピクセルサイズ (mm)	1.7mm	
前処理フィルタ	Butterworth	
(order. cutoff 周波数)	Order 8, cutoff 周波数: 0.76 [cycles/cm]	
再構成フィルタの種類	Ramp	
滅弱補正方法とμ値	減弱補正法:(Chang)	
減物無止力法と以他	μ値:(0.15)	
散乱線補正の有無	有: 散乱補正法 (TEW)	
画像表示, カットレベル	Rainbow Red, 100%-0%	
加算、ステップ	2スライス加算, 2ステップ	

図3 基準画像と収集条件(3 検出器 ^{99m}Tc 製剤) 〈カラー掲載参照〉

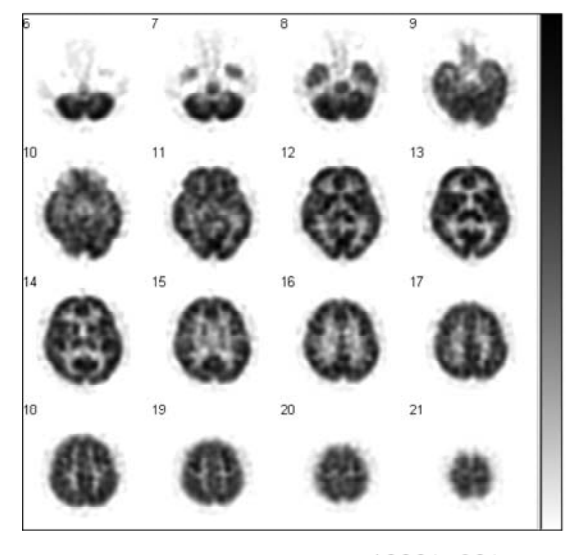


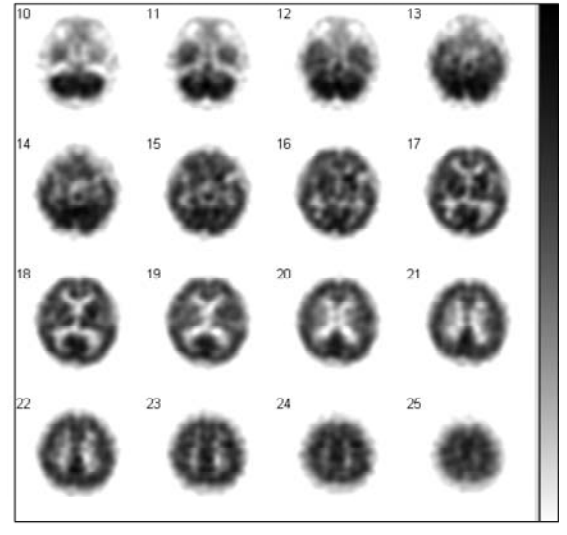
機種名・処理装置	GCA9300A, GMS5500/PI
投与量	IMP 111MBq
撮像開始時間	投与15分後
コリメータ	LMEGP ファンビーム (N2)
エネルギーウィンドウ	159keV±10 % sub 7%
収集モード・収集角度	連続回転, 4度(90ステップ)
収集時間	120秒×12回 (24分)
回転半径 (cm)	13.2cm
マトリックス	128 × 128
拡大収集(有無と拡大率)	無
ピクセルサイズ (mm)	1.7mm
前処理フィルタ	Butterworth
(order, cutoff 周波数)	Order 8, cutoff 周波数: 0.64 [cycles/cm]
再構成フィルタの種類	Ramp
*****	減弱補正法:(Chang)
減弱補正方法とμ値	μ値:(0.146)
散乱線補正の有無	有:散乱補正法 (TEW)
画像表示、カットレベル	Rainbow Red, 100%-0%
加算、ステップ	2スライス加算, 2ステップ

図 4 基準画像と収集条件 (3 検出器 123 I 製剤) 〈カラー掲載参照〉

3検出器型 LEHR-FAN (TEW+Chang) 9300A

2検出器型 LEHR (Chang) E.CAM





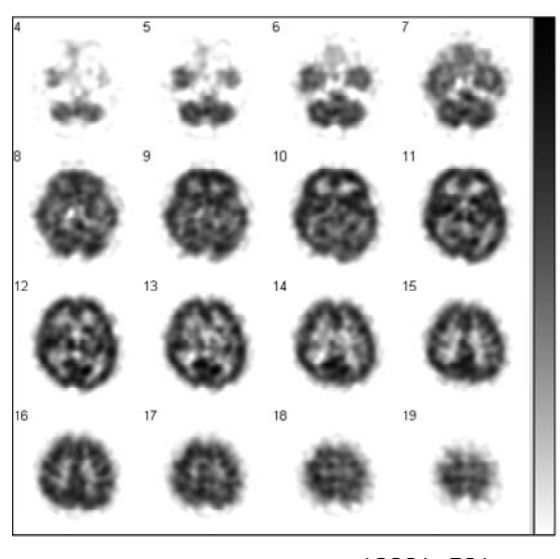
100%-3%

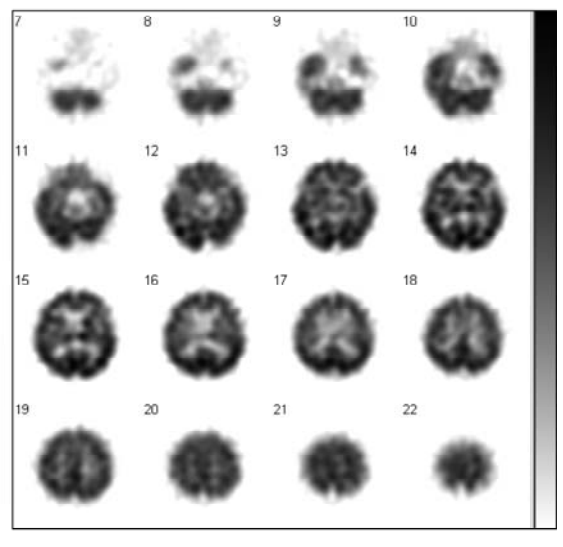
100%-10%

図 5 基準画像 (^{99m}Tc 製剤)

3検出器型 LMEGP-FAN (TEW+Chang) 9300A

2検出器型 LMEGP (Chang) E.CAM





100%-5%

100%-10%

図 6 基準画像 (¹²³I 製剤)

收集

検査に用いる製剤の種類 薬剤投与後、撮像開始のタイミング ガンマカメラの検出器の数 エネルギー、ウィンドウの設定 コリメータの種類は何か ピクセルサイズ、拡大率の選択は SPECTにおける回転半径 SPECTにおけるデータ收集角度 SPECTにおける1view当たりの收集時間 散乱補正の実施の有無 減弱補正の実施の有無

処理

散乱補正法の利用(TEW、DEW) 処理フィルタの選択 パラメータ設定値の選択(order, cutoff) 減弱補正法の利用(Chang) 輪郭抽出でのthreshold(%)値の選択 線減弱係数の設定

画像出力

表示階調 カラーコード 拡大率 表示レイアウト カットレベル

図7 標準化に必要と思われる収集・処理・表示のチェックポイント

が高く、初回循環でその大部分が脳組織に取込まれる性質を持っている。しかし、薬剤の種類によって初回循環摂取率、脳組織からの洗い出し率、停滞メカニズムなどが異なるため、撮像タイミングを考慮する必要がある。

123 I-IMP は、血液中から血液脳関門 (BBB) を 通過して脳組織に取込まれるが、その後脳組織か ら血液中へ洗い出されていく。また、IMP は一 度肺にトラップされた後、徐々に洗い出されて脳 に運ばれることから、脳では取込みと洗い出しが 平行して行われ、脳組織のトレーサ量は静注後30分くらいでほほ飽和状態となり、その後徐々に低下して行く.したがって、撮像のタイミングは脳への取込みが安定した投与後20分ごろから30分程度行うことが望ましい.

^{99m}Tc 標識製剤である HM-PAO や ECD は脳内へ取込まれると数分以内で代謝され、脳内分布が固定されるため、投与後短時間のうちに撮像可能となる (標識方法が異なるため添付文書参照すること). 撮像のタイミングは投与 5 分後から行

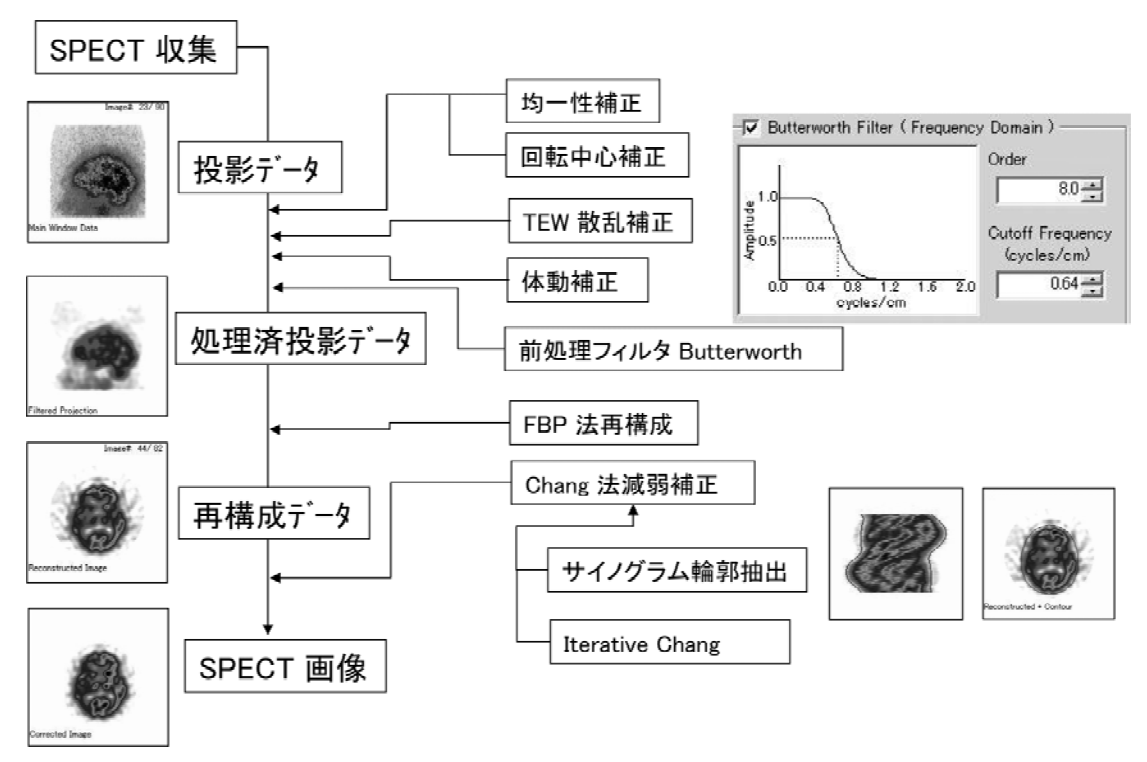


図8 脳血流 SPECT の画像処理過程

<u></u>

(2) 収集方法

 123 I-IMP は脳内分布が時間経過と共に変化していくので連続反復回転収集が望ましい. 99m Tc 標識製剤である HM-PAO や ECD は分布が固定されるため収集方法の制限がない. しかし, ECD は静注直後分布が変化する病態があるので注意が必要である 20 .

(3) 散乱補正 (TEW) とエネルギーウィンドウ設 定

TEW 法は、光電ピーク内に混入した散乱線成分を除去する方法として尾川らによって提唱された。光電ピークのエネルギーウィンドウの両側に

表 3 エネルギーウィンドウの設定条件

	Main	Sub
^{99m} Tc	140 keV±10%	7 %
¹²³ I	$159 \text{ keV} \pm 10\%$	7 %

(TEW 収集を行う場合, ¹²³I の場合はメインウィンドウの両端にサブウィンドウを設定し, ^{99m}Tc の場合はメインウィンドウの低エネルギー側にサブウィンドウを設定する。)

幅の狭いサブウィンドウを設定し、台形近似により散乱線成分を推定し補正を行う方法である^{3,4)}.この方法はピクセルごとに収集されたカウントから散乱線成分のカウントが除去されるので、カウントの低下による統計誤差の増加に注意する必要がある.エネルギーウィンドウの設定条件を表3示す.

(4) コリメータの選択 (違いによる画質の影響)

 123 I 核種の場合には 159 keV の他に 529 keV にもピークがあるため、ペネトレーションによる散乱線の影響が大きい $^{5)}$. 123 I におけるコリメータの違いによる画質の影響を示す(**図 9**).

 99m Tc 核種では LEHR または LEAP コリメータ を使用する.

(5) ピクセルサイズと収集角度

ピクセルサイズを決定するための理論的根拠にサンプリング定理がある。サンプリング定理とは、ガンマカメラのシステム分解能(半値幅)がR (mm) のとき、ピクセルサイズ(サンプリング間隔) a は a < R/2 なる条件が必要である。仮にシステム分解能が 10 mm の場合ピクセルサイズ

臨床に役立つ基準画像の収集・処理・表示・出力のポイント(増田,長木,川渕,他)

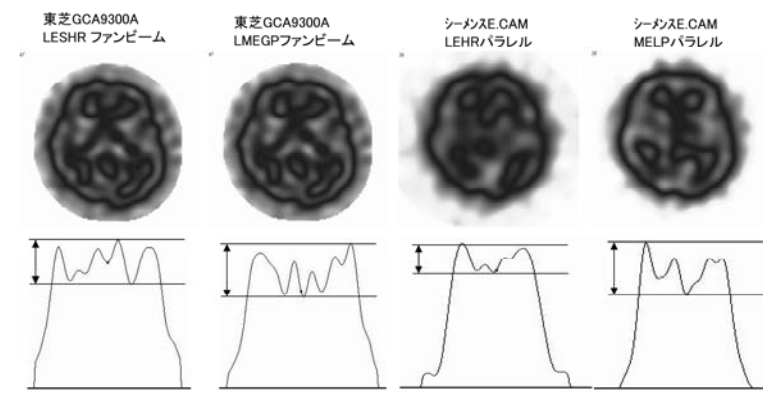


図 9 ¹²³I におけるコリメータの違いによる画質の影響 (放出エネルギーに対応したコリメータ使用によりコントラストが向上)

は5 mm 以下が必要である. また,物体を現すのに必要な分割数は物体の大きさの1/2 から1/3 が必要である. 脳血流 SPECT では,大脳皮質の厚さが2 から4 mm 程度であるので約1.0 mm/pixel となるが,実際にはFWHMの1/3 程度が適当と考えられる. ただし,ピクセルサイズを小さくすると,ピクセル当りの収集カウントが低下し,ノイズが大きくなるので,分解能と収集カウントのバランスを考慮しなければならない.

収集角度とサンプリング数の関係は、サンプリング数は360/収集角度となり、4度で90ステップ、5度で72ステップ、6度で60ステップとなる。また、サンプリング数とピクセルサイズの関係は $N=\pi D/2a$ N: サンプリング数, D: 被検

体の直径 (mm), a: ピクセルサイズ (mm) で表される. サンプリング数が N より少ないとピクセルサイズ a で収集する効果が少ない.

この関係式から被検体の直径を 160 mm とするとピクセルサイズ 3.5 mm 以上は72ステップ (5度) 3.4 mm 以下では90ステップ (4度) が理想である. ピクセルサイズに応じたサンプリング数を選択する.

2 検出器カメラで ¹²³I の収集を行う場合は, 放出エネルギーと投与量の制限があるため, コリメータ (感度と分解能) とピクセルサイズ (マトリクスサイズと拡大率) の選択が重要である.

(6) 回転半径

被検体にできるだけ接近した方が分解能は高く

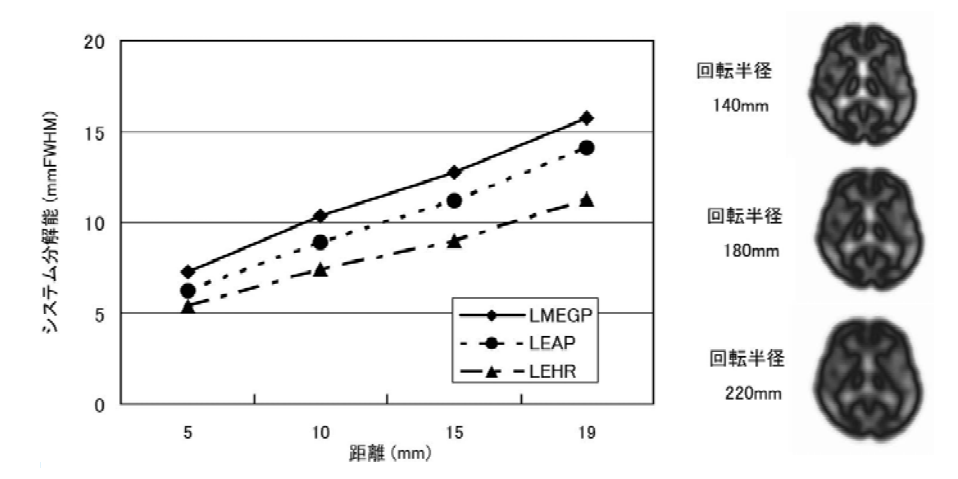


図10 回転半径の違いによるシステム分解能への影響 (システム分解能と被検体との距離の関係をコリメータ毎にグラフに示す. コリ メータの種類にかかわらず遠ざかるほど分解能は悪くなる.)

なるため、テストスキャンを行いできるだけ回転 半径を小さくし、近接収集を行う. 図10にシステム分解能と被検体との距離の関係をコリメータ毎 にグラフに示す. コリメータから遠ざかるほど分 解能は悪くなる. 回転半径は、140 mm 以下が望ましい.

(7) 収集時間

収集時間によって収集カウントが変わり、収集 カウントが増加すると統計ノイズは減少するため SPECT 画質は向上する.

統計誤差 (N) とピクセルカウント (n) の関係は、 $N=\sqrt{n}/n\times100$ で表される. 収集カウントと S/N との関係は、S/N= (全計数値) $^{1/2}/1$. $2\times$ (画素数) $^{3/4}$ で表され、S/N は収集カウントの平方根に比例する 6 . SPECT の場合、収集カウント (T) と解像度 (R) の関係は S/N が一定の条件では、T は R^{-3} に比例するため、解像度を 1/2 にするためには 8 倍の収集カウントが必要である 7 .

(8) 収集に関する注意点のまとめ

SPECT 収集において最も重要なポイントは、統計ノイズの影響を低減するために高カウントのデータを得ることである.しかし、臨床においては脳血流製剤の投与量や収集時間等の制約により充分なカウントを得ることが困難な場合が多い.高いカウントを得るためには、ピクセルサイズや収集角度を大きくし、ステップ当たりの収集時間を長くする.回転半径をできるだけ小さくする.高感度コリメータを使用するなどである.感度と分解能の両立は難しく、感度を優先すると、分解能が低下し細かい画像が得られなくなるし、分解

能を優先すると感度が低下してノイズが増える. 充分なカウントが得られる場合には、分解能を重視したパラメータを設定する 8 . TEW 法はカウントが約30%以上減少するが、定量精度を高めるためには必要である. 2 検出器カメラで 123 I の収集を行う場合は、ピクセルサイズ、を 4 mm 程度にして 72 ステップ (5 度) で収集する.

被検者のポジショニングでの注意点として、検査時間が長いため、体動によるアーチファクトを抑えるために頭部をしっかり固定する.小脳部の欠落が起きないように顎を上げない.閉眼で覚醒時に投与することおよび睡眠時には脳血流量が低下するため、¹²³I-IMP の SPECT 収集中は覚醒していることが大切である.

2-4. 処理に関する注意点

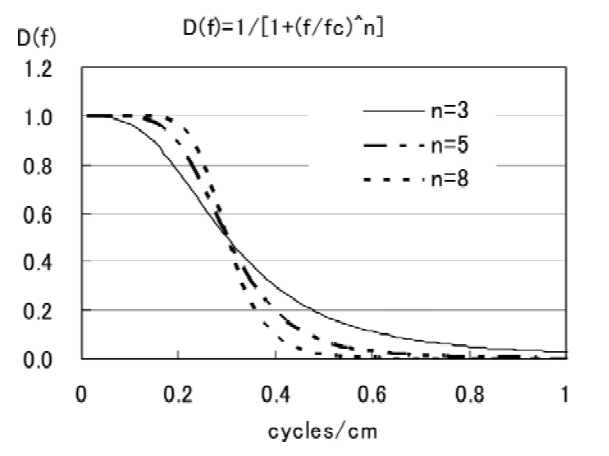
(1) 前処理フィルタ

前処理フィルタは SPECT 再構成を行う前にプロジェクション画像のノイズを除去するために使われる. SPECT 画像のノイズを除去するフィルタとしては Butterworth が用いられ、オーダーとカットオフ周波数を変えることで周波数特性を変化させることが可能である. 処理装置ごとにButterworth の式、単位が異なるため、カットオフ周波数が同じであっても周波数特性は異なる(表4、図11、12). これに関する関連情報は、日本核医学技術学会のホームページ「定量化・基準化調査研究報告」の情報コーナーに掲載されている.

カットオフ周波数を客観的に決定するのは煩雑であるため、一般的には、視覚的評価が用いられ

表 4 Butterworth の式と単位				
メーカ	処理装置	式	カットオフ周波数の単位	
東芝	GMS 5500	$1/[1+(f/fc)^n]$	cycles/pixel	
	e. soft	$1/[1+(f/fc)^2n]$	nyquist 但し, e. soft (東芝) は(nyquist, cycles/ pixel, cycles/cm) から選択可能	
シーメンス	ICON, e. soft	$1/[1+(f/fc)^2n]$	nyquist	
島津	Odyssey	$1/[1+(f/fc)^2n]$	cycles/pixel 但し,Odyssey FX/LX の最新バージョン では cycles/2 pixel	
GE	eNTEGRA, Xeleris	$1/\sqrt{[1+(f/fc)^p]}$	cycles/cm	
日立	日立製	$1/\sqrt{[1+(f/fc)\wedge n]}$	cycles/pixel	
	PEGASYS	$\frac{1/[1+(f/fc)^2n]}{1/[1+1.414*(f/fc)^2n]}$ $\frac{1/[1+(f/fc)^n]}{1/[1+(f/fc)^n]}$	nyquist	

表 4 Butterworth の式と単位



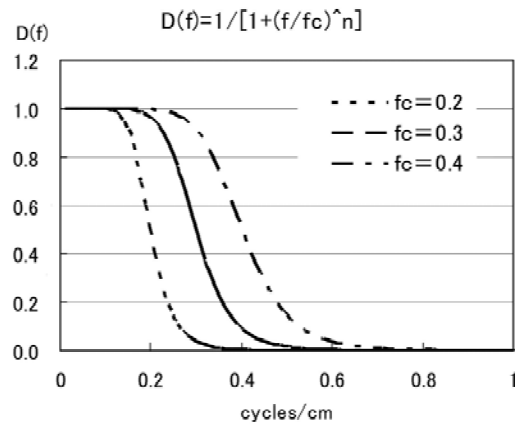


図11 Butterworth の order (n) と cutoff 周波数 (fc) (order (n) の値による大きな画像の変化はないが, cutoff 周波数 (fc) の値が大きく画像に影響する.)

(n=8, fc=0.4)Butterworth D(f) D(f)=1/[1+(f/fc)^n] 1.0 $\cdot D(f)=1/\sqrt{[1+(f/fc)^n]}$ 0.7 D(f)=1/1.414 0.5 D(f) = 0.50.0 0.2 0.4 8.0 0 0.6 1 cycles/cm

図12 Butterworth の計算式 (order (n) と cutoff 周波数 (fc) の値が同じ でも計算式が違うため画質が異なる.)

ている.最適カットオフ周波数の決定には、カットオフ周波数を変えた複数枚の画像を視覚的にコントラストや、均一性の評価を行い最も良いと思われる画像が選択される(図13).この方法は個人差があり、これが施設間差の原因になっていると考えられるので、物理的評価法である NMSE 法⁹⁾を行って客観的な基準を設けることもある.最適なカットオフ周波数は収集カウントに依存するため、カウントに応じて適切な値を設定する.カットオフ周波数を高くすると、ノイズを充分除去することができないため、ざらついた画像になる.逆に低くすると、画像情報まで削除され、解剖学的構造が描出できなくなる.

(2) 散乱補正

図14 (左) に TEW 処理を行った ^{99m}Tc 画像の例を示す. コントラストは前頭部間のプロファイルカーブが示すように TEW 処理を行った画像の方が改善されている. 図14 (右) は ¹²³I-IMP での脳血流定量測定 (MS 法) の結果を示し、散乱・減弱補正を行った方が、低血流域は低く、高血流域は高く描出され脳血流との直線性がよくなり定量精度が向上する.

図15に 123 I-IMP による散乱補正 (TEW) および減弱補正 (Chang) の効果について、4段ファントムでのプロファイルカーブを示す.散乱・減弱補正なしの場合、ファントム直径によりカウントが異なり、直径が大きくなるほどカウントが低くなり、プロファイルカーブは中心部が低下した凹型を示す.散乱・減弱補正を行うことで均一な画像が得られる.散乱補正を行わないで、減弱補正だけ行う場合には $\mu=0.07$ (経験値) を用いることで均一な画像となる.

(3) 減弱補正 (Chang) 係数,輪郭抽出での閾値 の選択

減弱補正法には、プロジェクションデータを補正する方法 (Sorenson)、再構成画像を補正する方法 (Chang)、外部線源により補正する方法 (TCT, X線 CT) があるが、一般的には Chang 法が用いられている. Chang 法は再構成画像に対して減弱補正を行う方法で後補正法である. この方法は、減弱がないと仮定してプロジェクショ

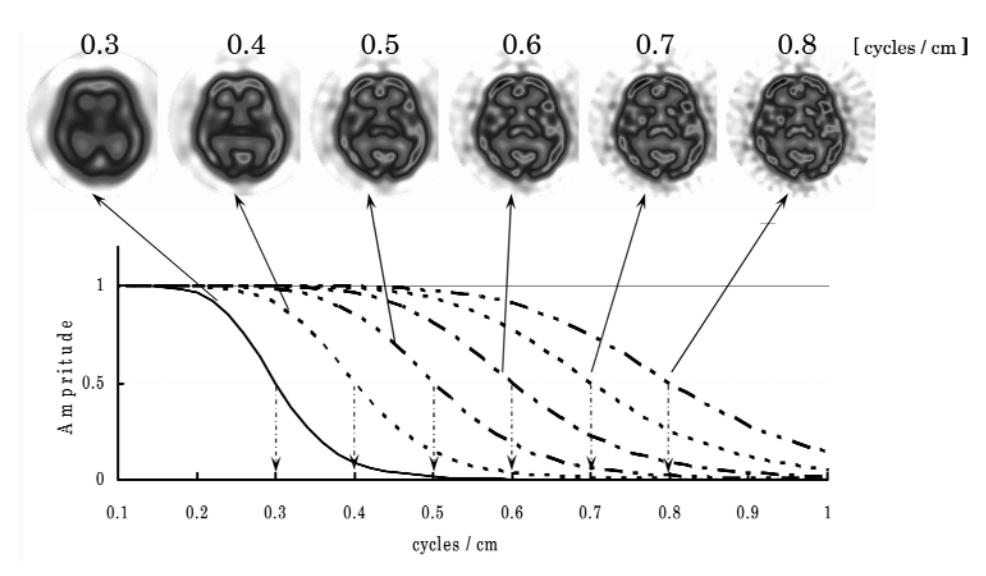


図13 Butterworth の cutoff 周波数の違いによる画質の変化 (cutoff 周波数 (fc) の決定には、 (fc) を変えた複数枚の画像を視覚的にコントラストや均一性の評価を行い、最も良いと思われる画像が選択される.)

(MS 法 DIAMOX) TEW(-)TEW(+)non (AC, SC) TEW+Chang (μ =0.146) 80 40

9300A / LEHR-FAN(N1)

図14 TEW 法による散乱補正と減弱補正の効果 (左図は散乱補正によりコントラストの上昇を示す. 右図は IMP 定量測定結果で散乱補正を行わない場 合, 低血流域を過大に, 高血流域を過少に評価する.)

ンデータから再構成を行い, その後再構成画像の 各ピクセルに補正マトリクス係数を乗ずることで 補正を行う. 脳血流 SPECT では逐次近似的に補 正マトリクスを作製し,再投影の繰り返し補正を

99mTc-ECD

行うことで精度を上げている逐次近似 Chang 法 も使用されている. Chang 法による減弱係数は 散乱補正を行った場合と散乱補正が行われていな い場合で減弱係数は異なり、各施設の収集・処理

ml/100g/min

9300A / LMEGP-Fan(N2)

123I-IMP 定量

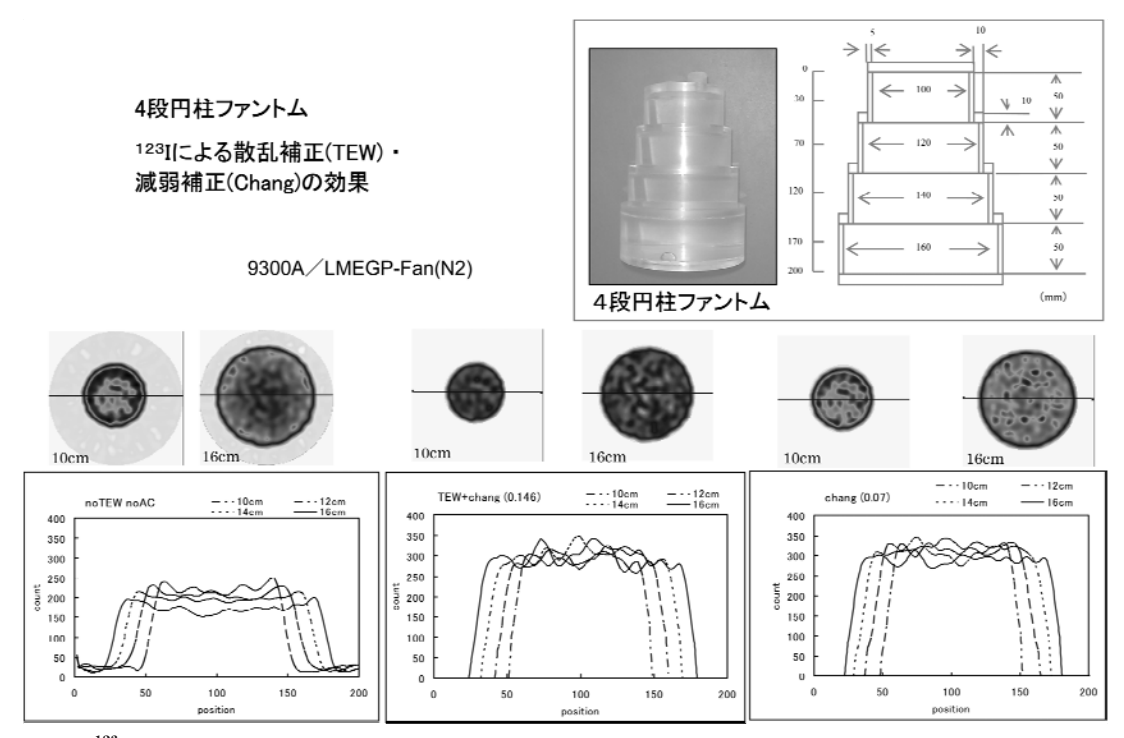


図15 123 I による散乱補正(TEW)・減弱補正(Chang)の効果 (4段円柱ファントムによる散乱・減弱補正の効果を示す. 散乱・減弱補正なしの場合, 中央が凹を示し 径が大きくなるほど低値を示した. 補正を行うことで均一な画像が得られる. 減弱補正だけ行う場合には $\mu=0.07$ (経験値)とする. ファントムサイズに対する均一性をプロファイルカーブで示した.)

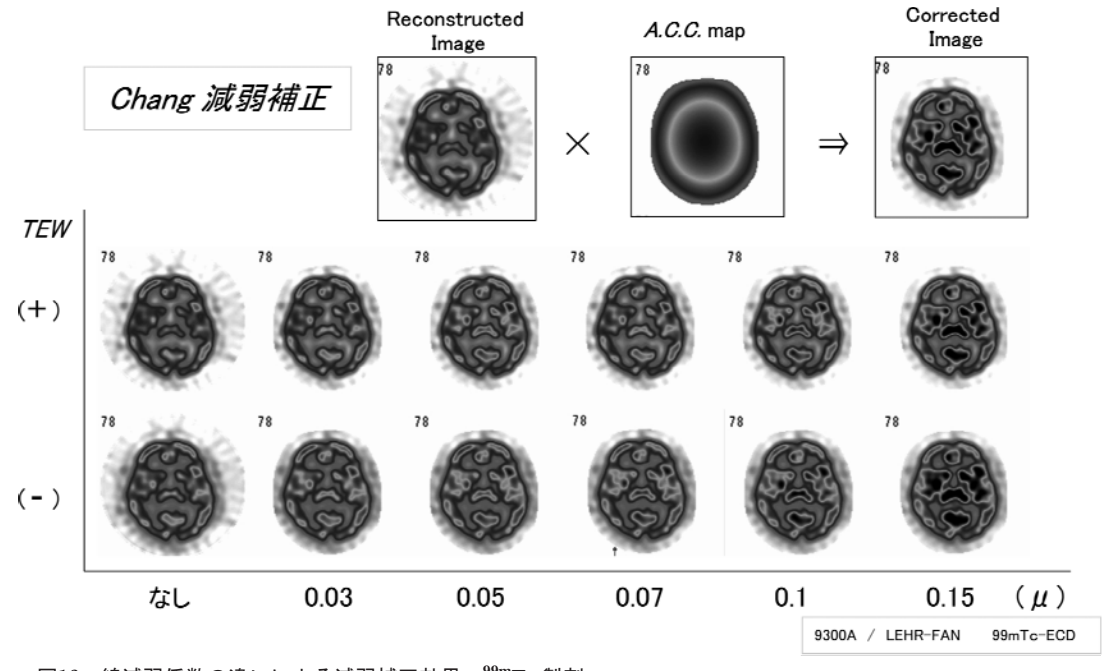


図16 線減弱係数の違いによる減弱補正効果: 99m Tc 製剤 (Chang 法による減弱係数は散乱補正を行った場合と散乱補正を行っていない場合で設定値は異なり、TEW(+) では μ = 0.15, TEW(-) では経験的に μ = 0.09 を用いる.)

条件に応じて、適切な値を設定する(図16).

Chang 法による減弱補正を行う際には、各スライスで頭蓋骨を含めた範囲で輪郭抽出を行い、減弱補正マトリクスを作成する。この場合の輪郭を正しく抽出できないと補正が不正確になり一定した補正が得られない。これは施設間差の原因となっている。図17に輪郭抽出における閾値と脳血流値への影響を示す。

(4) その他

脳血流 SPECT に関しては、画像再構成法は

FBP 法が一般的である. しかし, X線 CT を用いて減弱係数マップを作成し OSEM 法に組み込んで再構成と同時に減弱補正を行う方法も最近実施されるようになった. イタレーション回数とサブセット数の設定に明確な規定はないが, サブセットごとに10投影データを組としてサブセット数を設定し, イタレーションは 5 回程度が目安である. 欠損部の収束が不完全となることもあり, 定量測定時には注意が必要である.

体動補正ソフトを搭載する装置もあるが、頭部

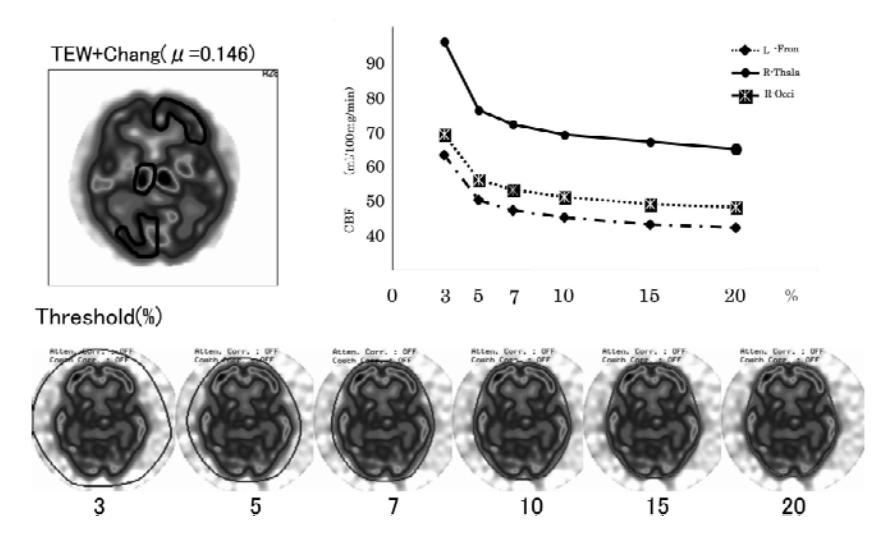


図17 Chang 法による輪郭抽出での閾値(threshold 値)と補正画像の CBF 値の変化(頭蓋骨を加味して輪郭抽出することが基本であるが、輪郭が大きすぎると CBF 値は過大評価となる。)

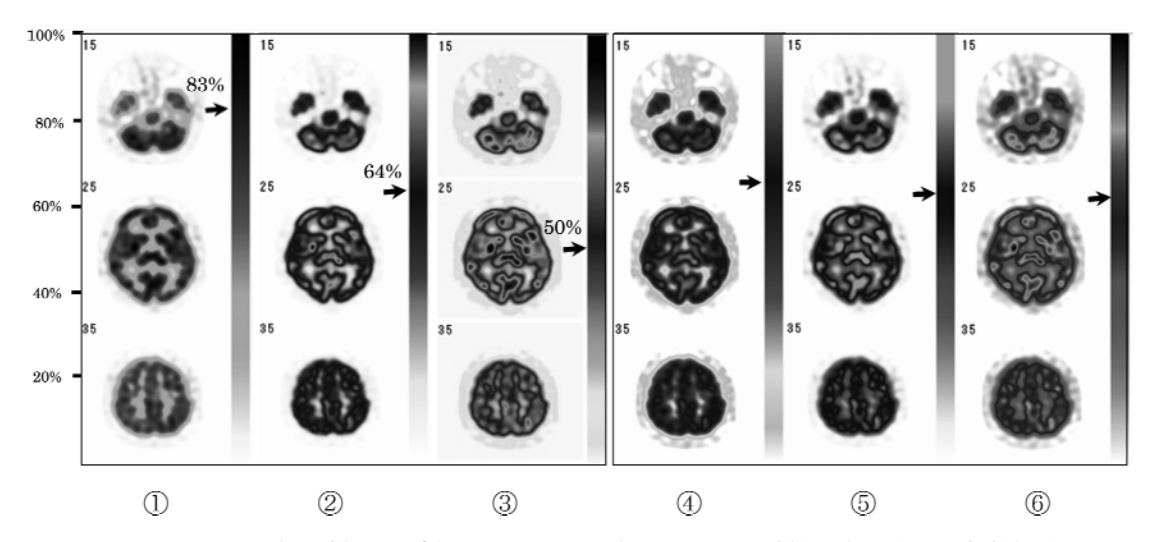


図18 カラーコードの影響(同一症例でのカラーコードの違いによる影響を示す.)〈カラー掲載参照〉

が回転して動いた場合などは補正不可能である.

2-5. 表示に関する注意点

核医学画像は CT, MR に比較して施設間のばらつきが多いといわれるが、その原因は表示画像の標準化がされていないことによる. 特に、カラーについてはメーカ独自のカラーがあり比較を困難にしている. 表示階調、カラーコード、拡大率、表示レイアウト、カットレベルなどさまざまである.

図18 (カラー掲載参照) は同一症例についてカラーコードを変えて表示した. ①, ②, ③はカラーパターンが異なる場合, 矢印の黄色の値は83, 64, 50%を示し,血流値(%)を色から判断することができない. ②と③ではホワイトが占める割合が異なることから②の方が③より全体的に血流値が低下して見える. 一方, ④, ⑤, ⑥では,カラーパターンは似ているが,各色のバランスが異なっている. 矢印の黄色の値は同等であるが見え方は大きく異なる.

臨床では血流が高い部位から低い部位まで評価できることが必要で、アセタゾラミド負荷試験での循環予備能では高血流域まで表現できること、血管狭窄、閉塞に伴う脳梗塞等の評価には低血流域の表現が必要になる。単色カラーよりレインボーカラーの方が血流差を明確に表現できるので、本章では⑤のレインボーカラーを使用しupper、lowerの設定は100%-0%を推奨する。

2-6. まとめ

SPECT 画像は各施設のガンマカメラやコリメータ、処理装置の性能に大きく依存するが、収集方法や、処理条件を工夫することでかなりの部分が解決されると考えられる.

データ収集に関するパラメータの設定は画像作成する上で最も重要と考える. 精度の高い良い画像を作るためには、充分なカウントを得ることが必要である. カウントが得られない場合には、分解能を下げて感度を上げることが必要である. そのためには、ピクセルサイズ、収集ステップ数、高感度コリメータ、収集時間、投与量、撮像開始時間(123Iの場合)などを考慮しなければならない.

データ処理については、収集カウントに応じた カットオフ値の選択を行う.また安定した画像を 得るために、体格にあわせて収集時間や投与量を 調節し一定のカウントを得るようにする.減弱補 正は必ず行うが、散乱補正はカウントが得られな い場合には行わす、統計ノイズの低減を優先す る

SPECT 画像の標準化のためには、各施設においてピクセルサイズと収集カウントが同程度になるように収集条件を設定すること、処理方法や表示方法(カラーコード)を統一することが必要であると考える.

(増田)

参考文献(脳血流 SPECT 編)

- 1) 日本核医学技術学会核医学画像の定量化・基準化の ための調査研究ワーキンググループ:核医学診療の 実態と画像の収集・処理・表示・出力の標準化に関 するアンケート調査報告.核医学技術,**24**:95-118,2004
- 小笠原邦昭,藤原悟,吉本高志:脳梗塞亜急性期の luxury perfusion における^{99m} Tc-ECD dynamic SPECT. 核医学, 32(11):1241-1247, 1995
- Ogawa K, Harada Y, Ichihara T, et al.: A practical method for position dependent Compton-scatter correction in single photon emission CT. IEEE Trans Med Imag 10: 408–412, 1991
- 4) 市原 隆, 本村信篤: Triple Energy Window (TEW) 法による散乱線補正法の開発. 日放技学誌, 49: 1809-1811, 1993
- 5) 本村信篤, 市原 隆, 高山卓三, 他: ¹²³I イメージ ングにおける高エネルギーガンマ線による散乱成分 の除去方法. 核医学, **36**(9): 997-1005, 1999
- 6) Todd-Pokropek A, Jarritt PH: The noise characteristics of SPECT systems in Computed Emission Tomography, E11 PJ and Holman BL,eds, Oxford University Press, New York, pp 361–389, 1982
- Ott RJ, Flower MA, Babich JW, et al.: The physics of radioisotope imaging in the physics of medical imaging, Webb S, ed, Adam Hilger, pp 142–318, 1988
- 8) 清水正三, 尾川浩一, 三宮敏和, 他: ¹²³ I-IMP-SPECTにおける収集カウントと画質の関係について の実験的考察. 核医学, **27**(12): 1451-1456, 1990
- 9) 大西英雄, 木田哲生, 野間和夫, 他: 脳血流 SPECT 画像における Butterworth filter の最適遮断 周波数の検討―実空間および周波数空間での評 価一. 日放技学誌, **54**(6): 764-770, 1998

3. 心筋 SPECT 編

冠動脈疾患における負荷心筋血流 SPECT の適応に関する EBM (evidence-based medicine, 根拠に基づく医療) は、虚血性心疾患の診断、冠動脈病変の狭窄度評価による治療方針の決定、治療効果判定、リスク評価などで確立している¹⁾. そして、この EBM の実践には適切な検査方法や質の高い技術が要求され、心筋 SPECT では収集時間やピクセルサイズなどの収集条件、前処理フィルタや、散乱・減弱補正などの処理条件、階調や表示スケール、カラースケールなど表示条件が重要となる.

本章では、心筋 SPECT の基準画像を示すと共に、心筋 SPECT の収集、処理、表示に必要な技術と知識についてポイントを述べる.

3-1. 心筋 SPECT の使用装置

1検出器を使用した心筋 SPECT の収集方法は、心臓の解剖学的な位置および検査時間の短縮を目的に、RAO 45度から LPO 45度までのデータを利用する180度収集が多くの施設で行われていた。その後、2検出器や3検出器が開発されて、検出器アングルL型90度および狭角76度による180度収集や360度収集なども行われるようになってき

た. 180度収集と360度収集の主な画像の違いは、180度収集はコントラストが高く空間分解能が良いこと、360度収集は下壁や後壁の歪が少なく安定していることである²⁾(図1,カラー掲載参照). 現状では1検出器および2検出器は180度収集,3検出器は360度収集が一般的である.2検出器は360度収集も可能であるが、L型90度検出器が対向型検出器で収集するより多い.ここでは、3検出器360度収集の基準画像(図2,カラー掲載参照)、2検出器L型90度による180度収集の基準画像(図3,カラー掲載参照)および収集条件(表1)を示す.

一方, コリメータに関しては ²⁰¹TI, ^{99m}Tc ともに一般的に LEHR または LEGP が用いられるが,特に ²⁰¹TI の場合,短時間収集や心電図同期収集 (gated SPECT) の際にカウントが不足するため, LEGP を使用する.また, ¹²³I では 159 keV のメインピークの他に 529 keV にもピークがあるため,下方散乱 (ダウンスキャタリング) の影響を考慮する必要がある.各種コリメータの5%貫通エネルギーを参照するとともに,感度と分解能のバランスを考慮して選択すべきである.

3-2. 心筋 SPECT の収集条件

心筋 SPECT は、放射性医薬品を負荷時または安

201TICI 心筋血流 SPECT

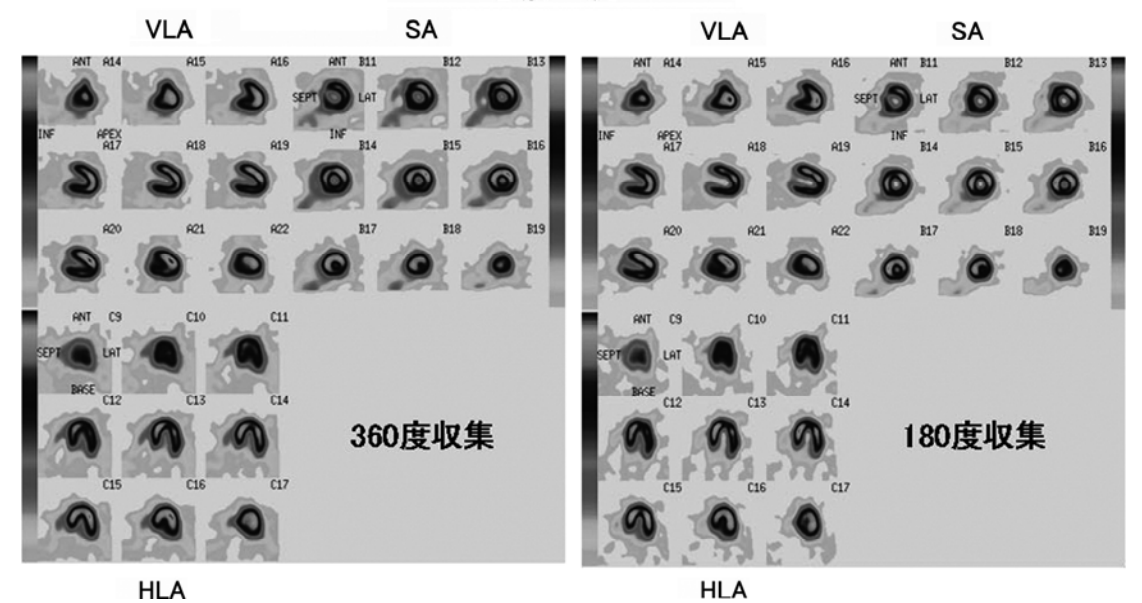


図1 健常例の360度収集と180度収集の SPECT 画像〈カラー掲載参照〉

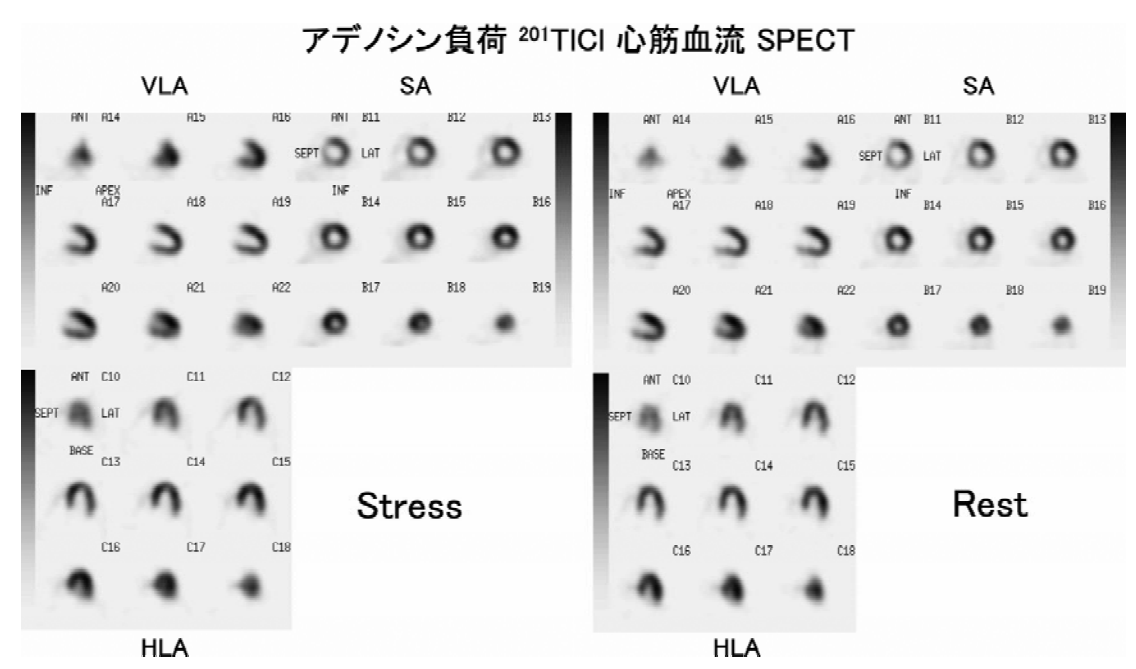


図2 3 検出器の360度収集における基準画像〈カラー掲載参照〉

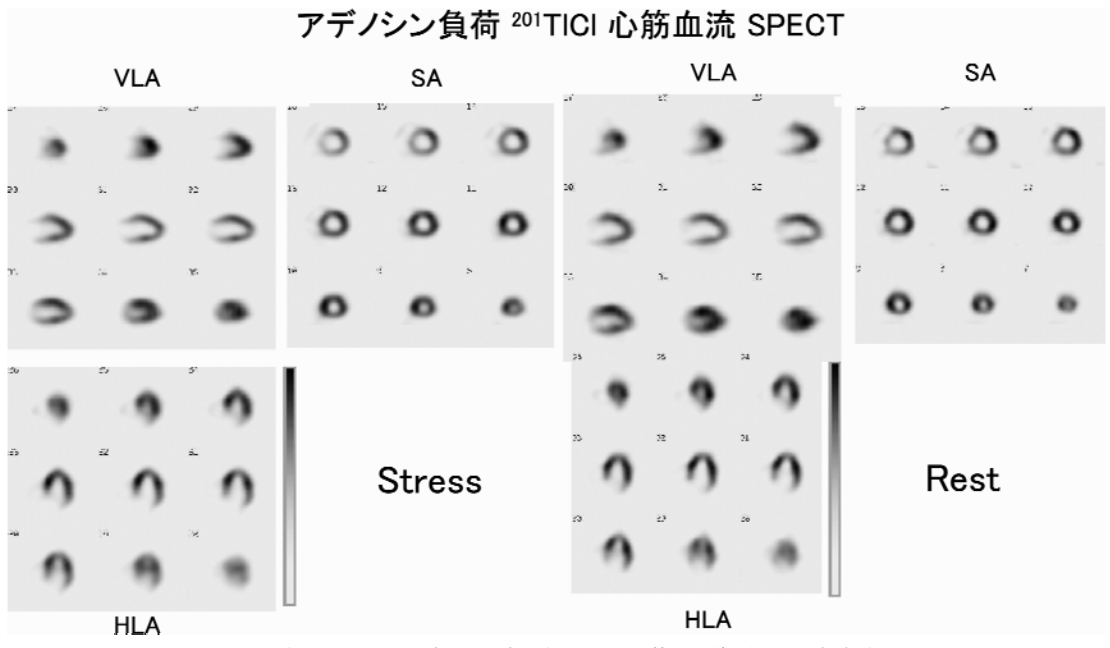


図3 2 検出器の L型90度の180度収集における基準画像〈カラー掲載参照〉

静時に投与して撮像する.負荷の方法は、トレッドミルやエルゴメータなどの運動負荷、またはアデノシンやジピリダモール、ドブタミンなどの薬物負荷がある.心筋 SPECT に使用する放射性医薬品と投与量は、心筋血流製剤として²⁰¹TICI で

は $111\,\mathrm{MBq}$ 投与が一般的, $^{99\mathrm{m}}\mathrm{Tc}$ -MiBI や $^{99\mathrm{m}}\mathrm{Tc}$ -tetrofosmin では $296\sim740\,\mathrm{MBq}$ 程度が一般的,心筋脂肪酸代謝製剤として $^{123}\mathrm{I}$ -MiBP,心筋交感神経機能製剤として $^{123}\mathrm{I}$ -MiBG がありそれぞれ $111\,\mathrm{MBq}$ 投与が一般的である.薬物動態によって撮

表 1 ²⁰¹ TICI 心筋血流 SPECT 基準画像の使用装置	表 1	置と方法
--	-----	------

	2	2.1.2.
使用装置	東芝 GCA9300A/PI	シーメンス E. CAM
検出器	3 検出器	2 検出器 L 型90度
収集角度	360度	180度
コリメータ	LEHR	LEHR
エネルギーウインドウ	$71~\mathrm{keV} \pm 10\%$	$70 \text{ keV} \pm 10\%$, $166 \text{ keV} \pm 7\%$
ステップ角度	6 度	5.6度
収集時間	30 sec/step	40 sec/step
マトリクス	64×64	64×64
ピクセルサイズ	6.4 mm	6.1 mm
画像処理方法		
前処理フィルタ	Butterworth, order 8, cutoff 0.41 cycles/cm	Butterworth, order 5, cutoff 0.42 cycles/cm
再構成フィルタ	ramp	ramp
減弱補正	(-)	(-)
散乱線補正	(-)	(-)
表示方法(白黒)		
階調	square	square
表示スケール	100%-10%	100%-10%

像開始時間や前処置が異なるので以下に注意点を 述べる

²⁰¹TICI の安静時は洗い出しの影響が少ない投 与後10分以降に早期像を撮像するが、場合によっ ては3~4時間後に後期像を撮像することもあ る. 負荷時は upward creep の影響³⁾も考慮すると 投与10分後に早期像と再分布を評価するために3 ~ 4 時間後の後期像を撮像する. ²⁰¹TICI は,消 化管への集積を抑えるため前処置として検査3~ 4時間前から絶食として、検査中も絶食で水分の 摂取程度とする. 99mTc-MIBI や 99mTc-tetrofosmin は、投与後早期は心筋以外の肝胆道系へ の集積も高くアーチファクトの原因となるため, 投与30~60分後から撮像することが一般的であ る. しかし、2製剤の体内動態は完全に一致する ことはなく⁴⁾,心肝摂取比が投与早期から比較的 高い ^{99m}Tc-tetrofosmin は15分程度からの収集も 可能である. アーチファクトを軽減するに は、99mTc 心筋製剤の投与後に牛乳やチョコレー トなどの脂肪食を摂取すると肝胆道系からの排泄 を促進させる効果がある。また、投与前の食事摂 取によりむしろ肝臓や胆嚢からの排泄を促進させ る場合もある. 99mTc 製剤で負荷安静または安静 負荷の2回の撮像を行う場合は、初回と2回目の 投与間隔を3~4時間として投与量は初回に対し て2回目は2~3倍にする 5). 123 I-BMIPP は投与 後15~30分後の早期像と場合により3~4時間後 の後期像を撮像することもある。また、投与前の前処置として絶食が必要である。 123 I-MIBG は、投与後 15 ~30分後の早期像と 3 ~4時間後の後期像を撮像する。レセルピンや三環系抗うつ剤、塩酸ラベタロールを投与している場合は、 123 I-MIBG の小筋集積が抑制されることがある。

データ収集方法は、マトリクスサイズが64×64、ピクセルサイズが $5\sim7\,\mathrm{mm}$ 、ステップ角度が $5\sim6\,\mathrm{g}$ 、1 方向あたりの収集時間が $20\sim40$ 秒の範囲に設定するのが標準的であるが、可能であれば40秒程度収集することが望ましい $^{6)}$. 最近では、gated SPECT を同時に施行する施設も多く $^{7)}$ 、精度の高い左室心機能評価を得るには収集カウントの設定は重要である. ただし、Polar Map 表示で洗い出し率などを算出する場合は、収集時間や使用核種の減衰の補正を行っているかの確認が必要である。gated SPECT の R-R 分割数は通常 201 Tl では $8\,\mathrm{分割}$, $^{99\mathrm{m}}$ Tc では $16\,\mathrm{分割}$ に設定する.

エネルギーウィンドウの設定は、 201 TI では 71 keV \pm 10% \sim 15% が一般的である. 167 keV \pm 10% を加算して収集すると10%程度収集カウントが増加する. 99m Tc では 140 keV \pm 10%, 123 I では159 keV \pm 10% が一般的である. また、散乱補正や減弱補正は、実施していない施設が多いのが現状である $^{8)}$ (表 2).

表 2 心筋 SPECT の使用装置と収集条件

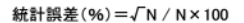
使用装置	1 検出器 (7%)
	2 検出器(63%)
	直行型>対向型
	3 検出器(30%)
収集角度範囲	180度収集>360度収集
Gated SPECT	55%
コリメータ	LEHR または LEGP
マトリクスサイズ	64×64
ピクセルサイズ	$5\sim7~\mathrm{mm}$
ステップ角度	5~6度
1方向あたりの収集時	21~40 sec
間	21 ~ 40 sec
許容心拍数	20%
R-R 分割数	8分割が60%, 16分割
R-N 万司数	が25%
解析ソフトウエア	QGS, pFAST
減弱補正の実施状況	なし
散乱線補正の実施状況	なし

日本核医学会 WG (2003) から抜粋

3-3. 心筋 SPECT 収集のポイント

心筋 SPECT の収集カウントつまり 1 方向あたりの収集時間は、使用する核種の投与量や被検者の体型にも依存するが、心筋からの洗い出しの影響がある 201 TICI の後期像でも充分な心筋カウントが得られる条件を目安にする、収集カウントを調べるには、SPECT のプロジェクションデータから LAO 45度のプラナー画像にて、心筋部に関

心領域 (ROI) を設定して心筋投影カウントを測定する (図4). 収集カウントは統計誤差を考慮すると1ピクセルあたり100カウント以上あることが望ましいが (図5), 両腕を挙上した体位での長時間検査は体動の影響によるアーチファクトを生じる可能性があるため, 収集時間は15~20分程度になるように設定する必要がある. ただし,体型の大きい人は, 201 TICI の場合は収集時間の延長や99mTc 心筋製剤では投与量を増加することで収集カウントが一定となるように調整しなけ



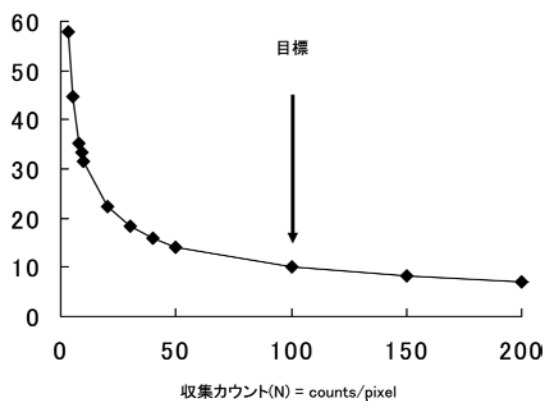


図 5 収集カウントと統計誤差の関係

201TICI SPECTのプロジェクション画像

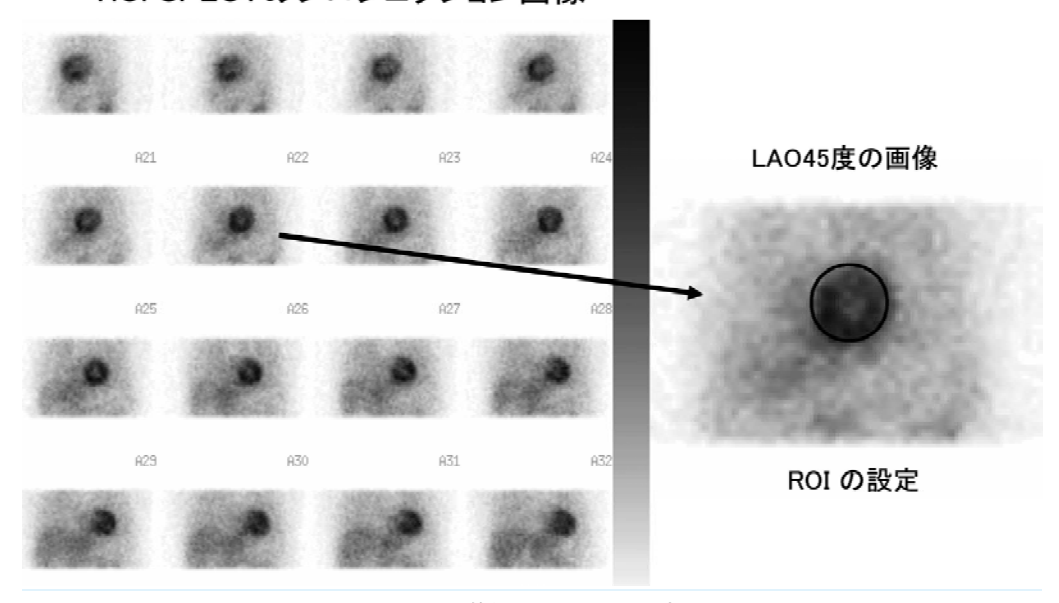
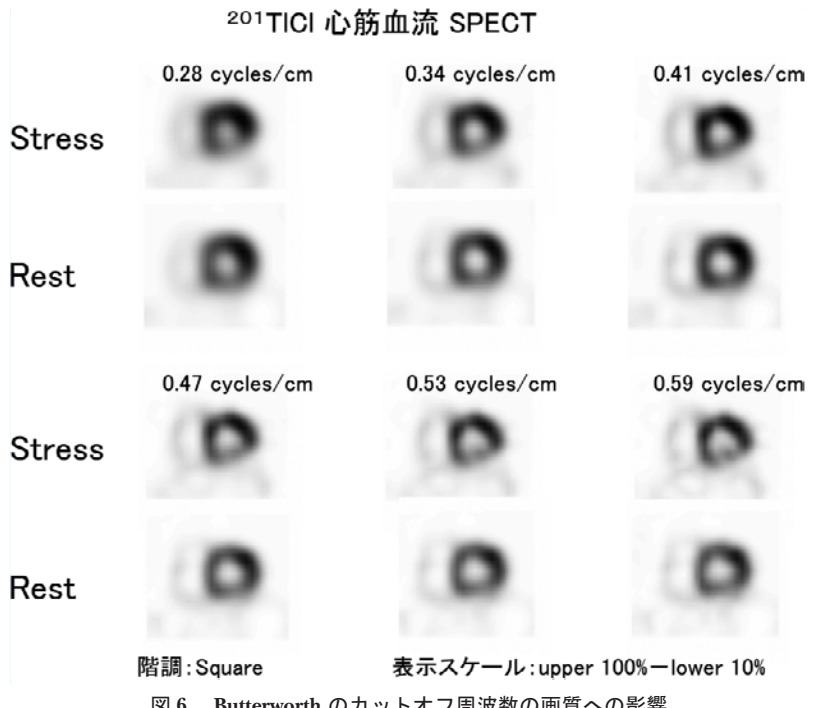


図4 心筋投影カウントの測定



Butterworth のカットオフ周波数の画質への影響

ればならない.

実際の収集では、体動を抑制するために被検体 をベルトでしっかり固定して, 両腕を挙上した体 位でも安静を保てるような補助具などの工夫も必 要である. また、SPECT の分解能を向上するた めに回転半径を 200~250 mm に近接して撮像す る.

3-4. 心筋 SPECT の処理条件

心筋 SPECT に使用するフィルタは、前処理 フィルタに Butterworth, 画像再構成フィルタに ramp がよく用いられる. Butterworth は、カット オフ周波数が高いほど分解能はよいがノイズが多 く,カットオフ周波数が低いほど分解能が低く滑 らかな画像となるため(図6),装置の分解能お よび収集カウントとノイズ除去を考慮した設定が 必要である.

また散乱補正で用いられる TEW (Triple Energy Window) 法は、心内腔と心筋のコントラストは 改善するが、下壁はより低値に補正される. カウ ントが3~4割低下することも認識する必要があ る. 均一吸収体を仮定した減弱補正 (Chang 法 等) は,胸部が肺,脊椎,心臓,乳房など不均一 吸収体で構成されているため正確な補正が困難で ある. したがって、減弱補正と散乱補正を同時に 臨床応用している施設はまだ少なく今後の課題で ある.

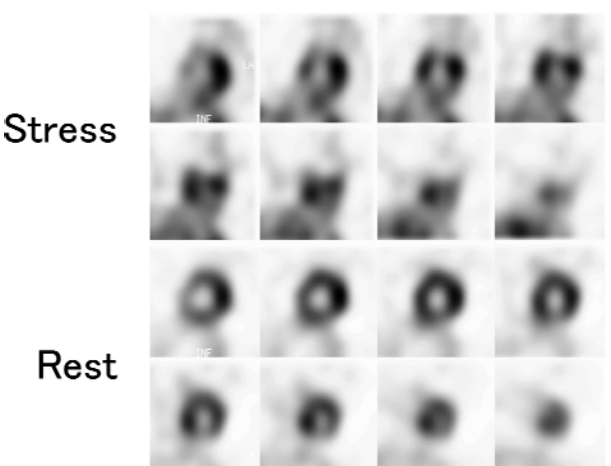
再構成に関しては、通常 FBP 法を使用する が、^{99m}Tc心筋製剤に関しては肝臓や胆のう、小 腸等の高集積によるストリークアーチファクトが 生じることもあり、OSEM法を使用する施設が増 えている。また、最近、X線 CT 等により減弱 マップを作成し OSEM に組み込んで減弱補正を 可能にする装置も出現しているが、減弱補正と同 時に適切な散乱補正を実施することが肝要であ る.

3-5. 心筋 SPECT 処理のポイント

心筋 SPECT で得られたプロジェクションデー タは、画像再構成の前にシネモードで体動を確認 する. 体動がある場合は、SPECT 画像に欠損と して主に表れるため(図7)、体動補正プログラ ムを搭載している装置では、体動によるアーチ ファクトを除外するために補正することも必要で ある. しかし、収集中に被検者が体位を回転させ たり,大きな咳や深呼吸を繰り返した場合には補

201TICI 心筋血流 SPECT

99mTc-TF 心筋血流 SPECT



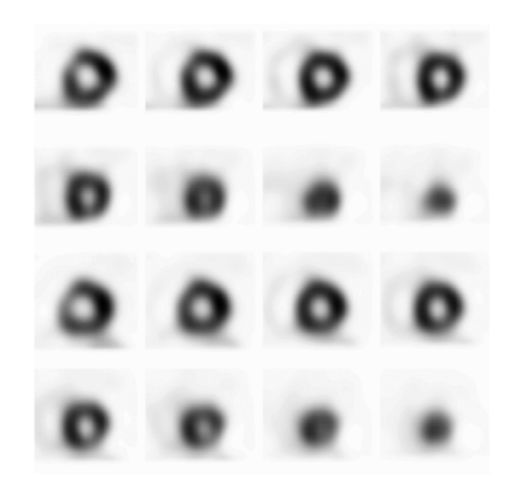


図7 体動の影響で偽陽性となり再検査した症例 (²⁰¹TICI 心筋血流 SPECT では、薬物負荷後に気分不良にて大きな呼吸を繰り返していたため、負荷後の SPECT に欠損が認められるが、後日再検査した ^{99m}Tc-tetrofosmin 心筋血流 SPECT では異常は認められない。)

正できない. あくまでもプロジェクションデータ ごとのX, X方向のズレが補正できる程度と考えるべきである.

Butterworth は、カットオフ周波数と次数を組み合わせて高周波成分を除去もしくは低減して画像を滑らかにする平滑化フィルタである。カットオフ周波数を決める目安は、あらかじめ SPECT の FWHM を求めておき、周波数 0.5/FWHM (cycles/cm) 以上の成分は雑音として決定する方法が簡便であるが、臨床データを視覚的に評価することも忘れてはならない。

3-6. 心筋 SPECT の画像表示

心筋 SPECT の画像表示は、カウントと濃度の関係を表現する直線(linear)や二乗曲線(square)などの階調、カウントと最低最高濃度の関係を表現する表示スケール、さらにフィルムの最高濃度を決定しなければならない。心筋 SPECT のカウントと濃度の関係は、濃度曲線を下凸の square にして、表示スケールは upper level が $100\sim110\%$, lower level が $10\sim20\%$ 程度に設定するのが一般的である9)(図 8)。下凸の程度により lower level のカットを加減する。

心筋 SPECT の画像表示は、虚血や viability の評価が正確に行えること、また右室やバックグランドも心機能の情報として描出されていることが

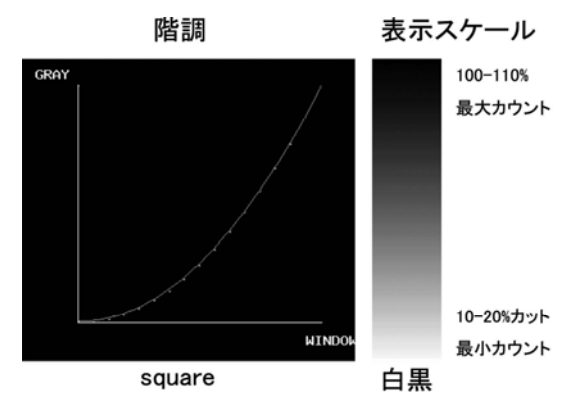


図8 心筋 SPECT 画像の階調と表示スケール

重要である. linear階調ではバックグランドの濃度が高く虚血部の表現が難しい(図9). lower level を40%と高くするとバックグランドとともに右室の情報がなくなる(図10). 不適切な階調や表示スケールは、病変部のコントラストや大きさの視覚的評価に影響する可能性がある.

3-7. 心筋 SPECT 表示のポイント

心筋 SPECT は、Vertical long axis (VLA) が中隔から側壁側、Short axis (SA) が心基部から心尖部、Horizontal long axis (HLA) が下壁から前壁へ、1 スライス 5~7 mm で全体を 9~16分割で画像表示する(図11).心筋 SPECT は初期像と後期像を比較するため、初期像と後期像で SPECT

201TICI 心筋血流 SPECT

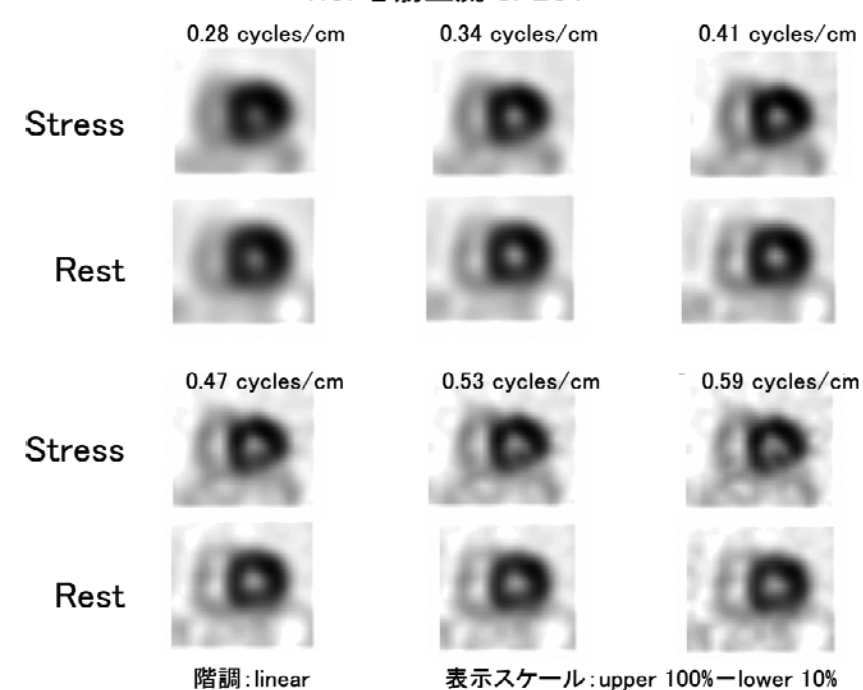


図 9 Butterworth のカットオフ周波数と階調の影響 (直線 linear 階調, lower 10%カット:バックグランドの濃度が高く虚血部の表現が困難)

201TICI 心筋血流 SPECT

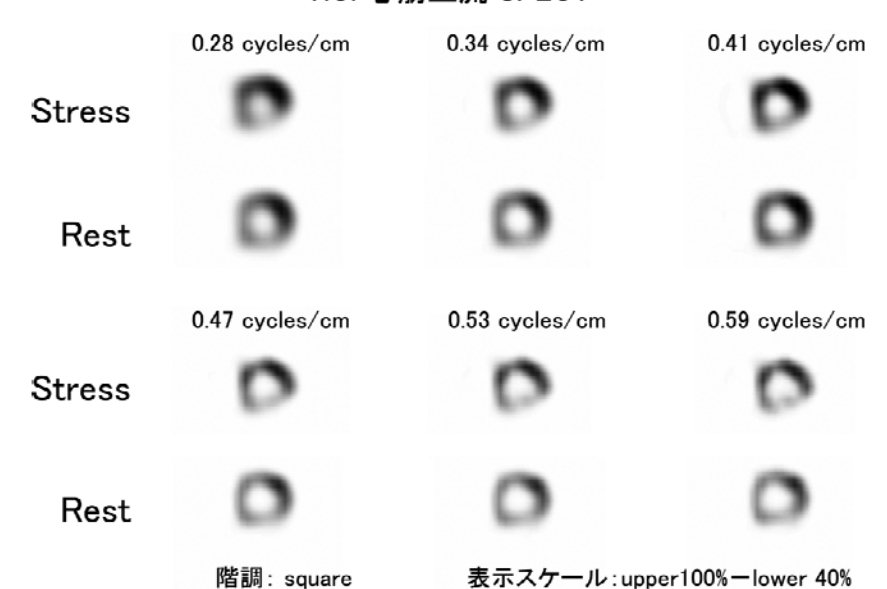
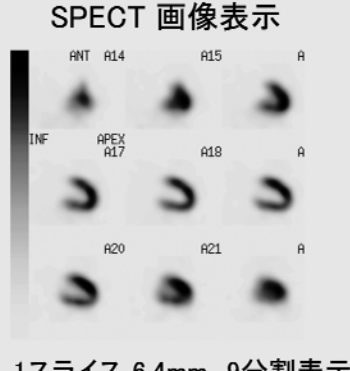


図10 Butterworth のカットオフ周波数と表示スケールの影響 (下凸 square 階調, lower 40%カット: バックグランドとともに右室の情報がなくなる.)

体軸水平断層面 右室が入るように範囲決定 中隔部から側壁部

長軸垂直断層面



心基部から心尖部

1スライス 6.4mm, 9分割表示

図11 心筋 SPECT の断面変換と表示方法

のスライス断面を一致させると診断が容易であ る. また, 心筋SPECT の VLA, SA, HLA の画像 は、それぞれの心筋最高カウントが一致するよう に表示する. しかし, 99mTc 心筋製剤を使用した 場合で心筋外に高集積がある症例は、同一の濃度 表示にならない場合があるため、それぞれ表示し た画像の最高カウントが一致するように注意しな ければならない. この対策として, SPECT の画 像再構成で心筋外高集積を再構成範囲から除外す る方法, 再構成後の画像で高集積部をマスクする 方法¹⁰⁾,心筋部の最高カウントを超えるカウン トをトランケーション処理する方法¹¹⁾などが有 効である.

3-8. まとめ

心筋 SPECT 収集は心筋カウントが最も重要で あり、収集時間や投与量を調整して1ピクセルあ たり100カウントを目標にする. 心筋 SPECT 処理 は、SPECT 装置の収集カウントと分解能を考慮 して前処理フィルタを設定するため, 充分な心筋 カウントが得られなければ分解能の良い画像は作 成できない. また、画像のアーチファクト低減や 分解能向上には、被検者の固定や SPECT の回転 半径を小さくすることが効果的である. 心筋 SPECT の質は、プロジェクションデータで決定 されるため、収集したデータが悪ければ再構成画 像が劣化することは言うまでもない. ただし, 心 筋 SPECT は、現在のところ精度の高い散乱およ び減弱補正は困難であり、虚血や viability の評価 が正確に行える階調,表示スケール,最高濃度を 設定することで心筋 SPECT の正確な診断が行え ると考えられる.

(長木)

参考文献(心筋 SPECT 編)

- 1) 中田智明, 近森大志郎編:症例から学ぶ ACC/ AHA/ASNC の心臓核医学検査ガイドライン.メ ジカルセンス、東京、2004
- 2) 柏倉健一, 小林秀樹, 百瀬 満, 他:再構成角度 が心筋 SPECT 像に与える影響-180度像と360度 像との比較一. 核医学, 33:375-382, 1996
- 3) 横野重喜, 齋藤暢彦, 浜口義昭: 運動負荷心筋 SPECT の upward creep によるアーチファクトの 検討. 日放技学誌, 53(5): 573-577, 1997
- 4) Munch G, Neverve J, Matsunari I, et al.: Myocardial Technetium-99m-Tetrofosmin and Technetium-99m-Sestamibi Kinetics in Normal Subjects and Patients with Coronary Artery Disease. | Nucl Med, **38**: 428-432. 1997
- 5) 橋本 順, 久保敦司, 中村佳代子, 他: 99m Tctetrofosmin 同日2回投与法における検査プロト コルの検討. 核医学, 30:1191-1201, 1993
- 6) 日本核医会平成13年度ワーキンググループ:本邦 における gated SPECT の使用状況. 核医学, 40: 205-212, 2003
- 7) 村上 剛,他:Gated SPECT を用いた新機能解析 法の有用性. 日放技学誌, 60(3): 327-349, 2004
- 8) 日本核医学技術学会核医学画像の定量化・基準化 のための調査研究ワーキンググループ:核医学診 療の実態と画像の収集・処理・表示・出力の標準 化に関するアンケート調査報告. 核医学技術, **24**: 95-118, 2004
- 9) 日本アイソトープ協会医学・薬学部会核医学イ メージング規格化専門委員会:ガンマカメラによ るディジタル画像の表示・記録に関する指針. Radioisotops, 43(1): 34-40, 1994

- 10) 高木昭浩, 岡田和弘, 浦田譲治, 他: ^{99m}Tc 心 筋血流製剤を用いた SPECT 撮像における肝の高 集積が心筋に及ぼす影響の軽減―マスク処理法の 有用性と問題点―. 核医学, **36**:445-465, 1999
- 11) Funahashi M, Shimonagata T, Mihara K, et al.: Application of pixel truncation to reduce intensity artifacts in myocardial SPECT imaging with Tc-99m tetrofosmin. J Nucl Cardiology, 9(6): 622-631, 2002

4. 骨シンチグラフィ編

骨シンチグラフィは悪性腫瘍の骨転移、原発性骨腫瘍、疲労骨折、代謝性骨疾患、骨髄炎および骨壊死等の検索などを主目的に、本邦において最も多く施行されている核医学検査である。現在国内においてはほぼ100%の施設において全身スキャンが施行されている¹⁾.しかしながら、その撮像条件の多くが経験則によるものであり、また追加検査となる SPECT やスタチック撮像の是非については明確な基準が存在しない。つまりEBM に基づいた検査が施行されていないのが現状である。ガン対策基本法が施行された今日、この膨大な数の骨シンチグラフィを標準化することは我々に課せられた重大な課題である。骨シンチ

グラフィにおいては、撮像も処理も割合単純であるがゆえに、残念ながらこれまで明確な指針は示されてはいない.

本章では一般的な骨シンチグラフィの基準画像,その撮像に要する収集・処理・表示条件およびそのポイントについて述べる.ここに示す指針がエビデンスとなり,今後骨シンチグラフィ標準化の基礎となることを想定した.

4-1. 基準画像撮像の使用装置と撮像条件

現在導入されているガンマカメラ装置の7割は2検出器型であり¹⁾, 骨シンチグラフィにおいても広く用いられているものと考える. 従って, 本章においても対向2検出器型ガンマカメラ装置を使用することを前提に記述する.

一方,コリメータは LEHR 高分解能型を標準装備するガンマカメラ装置が多く¹⁾,骨シンチグラフィに用いられることが一般的である。骨シンチグラフィは比較的投与量も多く,高い計数率が得られる検査であり、また高分解能を求められる検査であることより、本章においても 140 keV ガンマ線に適した LEHR コリメータの使用を前提とする。しかし、LEHR 相当のコリメータを所有していない施設では LEGP 汎用型を使用すること

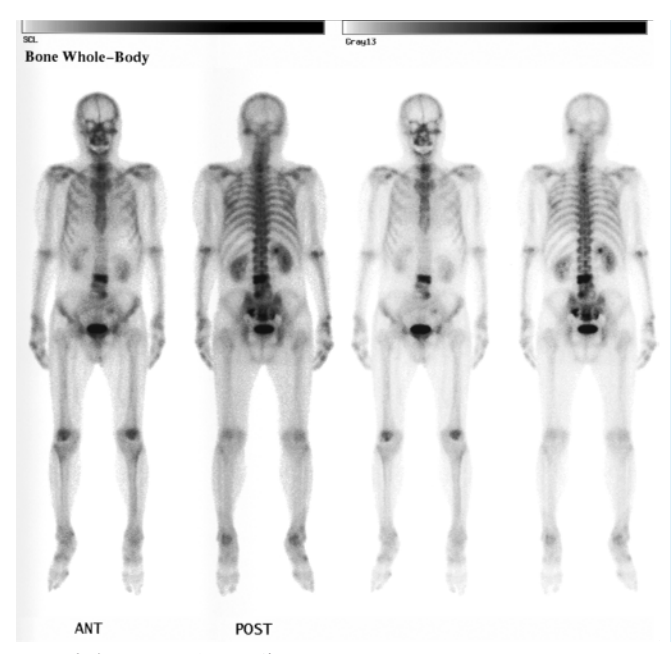


図1 全身スキャン標準画像 (腰椎3番と仙骨に異常集積.直線階調を基準に2画像にて表示)

で実質的に問題はない.

基準画像として全身画像を図1に、SPECTのトランスアキシャル画像とコロナル画像を図2に提示するとともに、その撮像条件を表1に記載した。エネルギーウィンドウは光電ピーク140keV

±10% を基準とした. 自施設のガンマカメラの性能やコリメータの選択, スループット等の諸条件に合わせて変更することは可能であるが, 骨シンチグラフィは一日の検査数も多くまた, 99mTcの半減期が6時間と短いことより, 1検査30分程

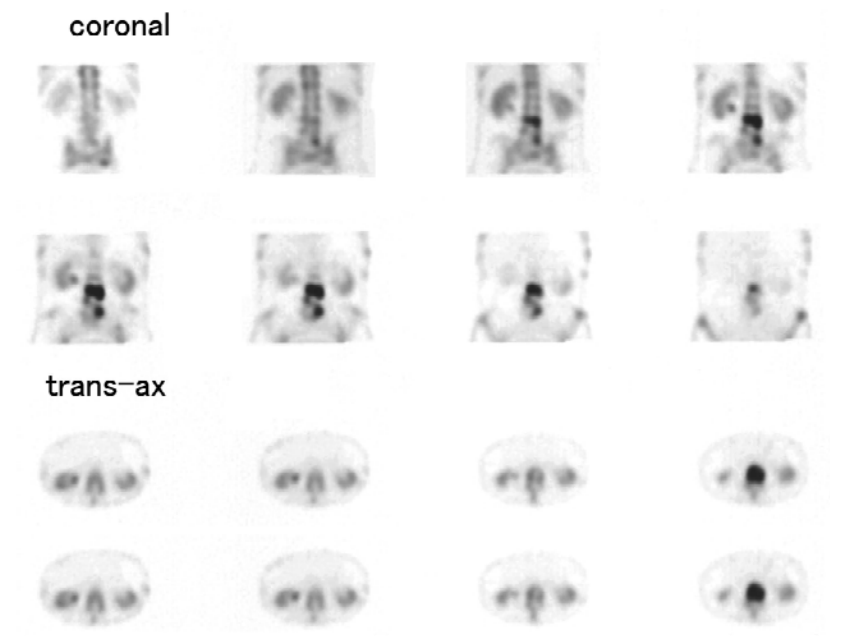


図 2 SPECT 標準画像 (図 1 の全身スキャンと同一症例. 腰椎の集積は椎体であることが分かる. square 階調表示)

表1 基準画像の撮像条件表

収集モード	Whole-Body	SPECT	
薬剤	^{99m} Tc-HMDP		
使用装置	対向2検出器型デジタルガンマカメラ		
投与量	740 MBq		
撮像開始時間	投与後 3 時間		
コリメータ	LEHR		
エネルギーウィンドウ	$140~\mathrm{keV} \pm 10\%$		
収集モード	_	continuous	
収集時間	約15分	10 sec/step	
収集速度	15 cm/min	_	
収集角度	_	6 度	
プロジェクション数	_	60 views (30 steps)	
マトリクス	256×1024	128×128	
拡大収集	なし	なし	
ピクセルサイズ (mm)	2. 18	4. 67	
前処理フィルタ	_	Butterworth	
(order・cutoff 周波数)	_	8. 0, 0. 86 cycles/cm	
再構成法	_	OSEM	
Subset • iteration	_	6 · 5	
減弱補正方法と μ 値	_	検討せず	
散乱線補正の有無	_	検討せず	

度の予約枠で検査されることが一般的である. したがって、30分という時間を全身スキャンに15分程度使用し、残った15分でスタチック撮像をするのか、SPECTを実施するのか、このあたりをどのように計画するかによって病変の検出能が左右されることを肝に銘じるべきである. 以下本章において詳細を述べる.

4-2. 前処置·放射性医薬品·投与

現在,主たる骨シンチグラフィ製剤は 99mTc-MDP および 99mTc-HMDP の2種類あるが,効能についての有意差は認めない.しかし,血中クリアランスが若干異なるため,投与から撮像開始までの時間によっては骨-バックグランド比に差が生じることがある.薬剤の添付文書によるとHMDP は投与2時間後から撮像可能である.透析患者や高齢者の腎機能が低下した症例では,排泄率が低下しバックグランドの高い画像になることがあるので投与3時間以降に撮像する方がよい。施設における投与から撮像のタイミングを常に一定にするなど,検査プロトコルに注意を要する.

今回提示した基準画像は 740 MBq を投与したものである. 各種アンケート結果^{1°3)}によると 740 MBq を投与する施設が最も多いが, 555 MBq を投与する施設も決して少なくない. 本来検査時間や装置の感度・分解能なども考慮しつつ, 被検者の体重を参考に投与量を決定することが望ましいが, 厳密な基準は提示されていない. 有機ヨード系造影剤の投与と近い時間に骨シンチグラフィ製剤を投与すると, まれに骨への集積が阻害されることが報告されているため⁴⁾, 少なくとも骨シンチグラフィ製剤投与後1時間は, 有機ヨード系造影剤の投与 (DIP や造影 CT など) は避けることが肝要である.

前処置は,検査直前の排尿と血中クリアランス

を高めるための投与後の水分摂取を指導することである。特に排尿に関しては、不完全なままで撮像してしまうことは骨盤部の所見の見落としに直結することを認識する。これ以外にも衣服の汚染などは偽画像形成のピットホールとなるため、被検者への説明は充分に行う。また、陽性の偽画像以外にも金属製のボタン、ベルトのバックルなど着衣や装飾品は陰性の偽画像となる。

4-3. 全身スキャン

(1) 収集のポイント

全身スキャンのポジショニングは左右対称に撮像することが基本である. 頭部, 手指, 足指等の対称性と体幹部のローテーションがないことがポイントである. 可能であれば手指を伸ばし掌を下に向けることで現在のガンマカメラは指を分解できる. 骨転移は非対称性の集積パターンを示す特徴があるので, これを見逃さないことが最大目的である. 常に同じポジショニングを心がけることによるフォローアップ時の再現性が確保される. また, 頭部にスポンジを置く, 対幹部や足指をベルトで固定する等, 長時間のスキャン中に体動を生じないように注意する.

画質を決定付ける重要な因子は、カウントと分解能であるが、装置やコリメータの性能に依存する.しかし、カウントは投与量(体格や年齢に依存)、撮像開始時間(減衰の程度)やスキャン速度の調整等により増やすことは可能であり、分解能は最近接収集を行うことにより劣化を防ぐことはできる. 撮像の際にはこれらの因子すべてが複合して画質に影響することを再確認すべきである. 図3に被検者-コリメータ間距離を変化させた場合の胸部画像を提示する.また、現在のガンマカメラでは赤外線による自動近接機構やプレスキャンによる近接収集が可能になっている.

スキャン速度に関しては, 視覚的にスタチック

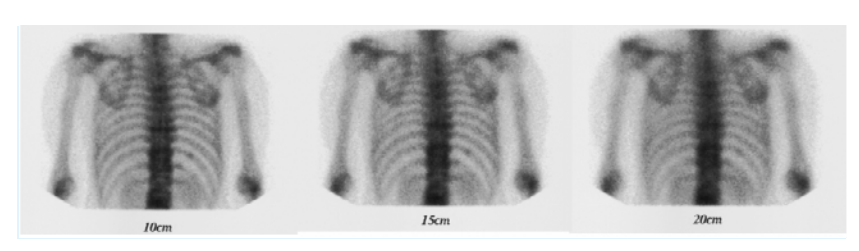


図3 被検者-コリメータ間距離による画質の違い(後面像:左より10, 15, 20 cm)

像と同等という概念から $10\sim15$ cm/min とすべきであるとの指針 $^{5)}$ が発表されており、骨シンチグラフィの全身スキャンもこの速度に準じて設定することが望ましい。マトリクスは 256×1024 が一般的である。

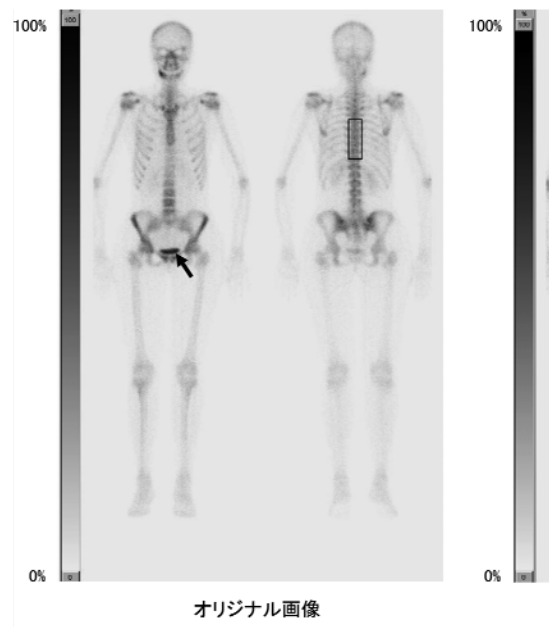
(2) 処理のポイント

核医学検査の画像は、その画像の最高カウント のピクセル値を256階調の100%として相対表示す る. 全身スキャンでは特に膀胱部の高カウント部 を100%とするため、本来描出されるべき骨の濃 度が低く抑えられてしまうことが多い. 膀胱部の 残尿により骨の濃度は様々に大きく変化し、視覚 的に upper level を下げて調節することは、術者 間での誤差要因となっている. そこで、骨の正常 集積部(骨密度が高く、減弱の影響を受けにくい 後面像の胸椎部とすることが一般的) に矩形の ROI を設定し、その最高カウントを100%表示す ることにより骨以上のオーバーカウントをトラン ケーションする方法が推奨される. 全身スキャン におけるこの方法を図4に示す. だだし、残尿が 多い場合は排尿を指示することが先決であるし, ROI 設定部に多発性骨転移が存在する場合や Super Bone Scan の症例では上手くいかないこと もある.

(3) 表示のポイント

骨シンチグラフィは高カウント部から低カウント部にわたるレンジの広い画像を扱うため、表示の際には脊椎や骨盤等の中枢骨(高カウント部)にあわせた表示と、末梢骨や軟部組織(低カウント部)を見やすくするための表示の2種類の画像を表示する.2種類の画像表示は、階調や濃度を術者によらず常に一定にするための規則性を確立することが重要である.

処理のポイントで述べたトランケーション処理を行った後、直線階調(linear)の $0\sim100\%$ 基準画像と upper level をたとえば70%に下げて濃度を濃くした画像($\mathbf{Z}\mathbf{5}$)、直線階調(linear)の $0\sim100\%$ 基準画像とたとえば上凸の log 階調の画像($\mathbf{Z}\mathbf{6}$)等、明らかにメリハリを付けた $\mathbf{2}$ 画像を表示する。ただし、直線階調の $0\sim100\%$ 画像があくまでも基本であることは、骨シンチグラフィの診断基準が集積の高低を濃度の濃淡としてlinear に表示することにより修飾されることなく表現できるからに他ならない。また、lower level

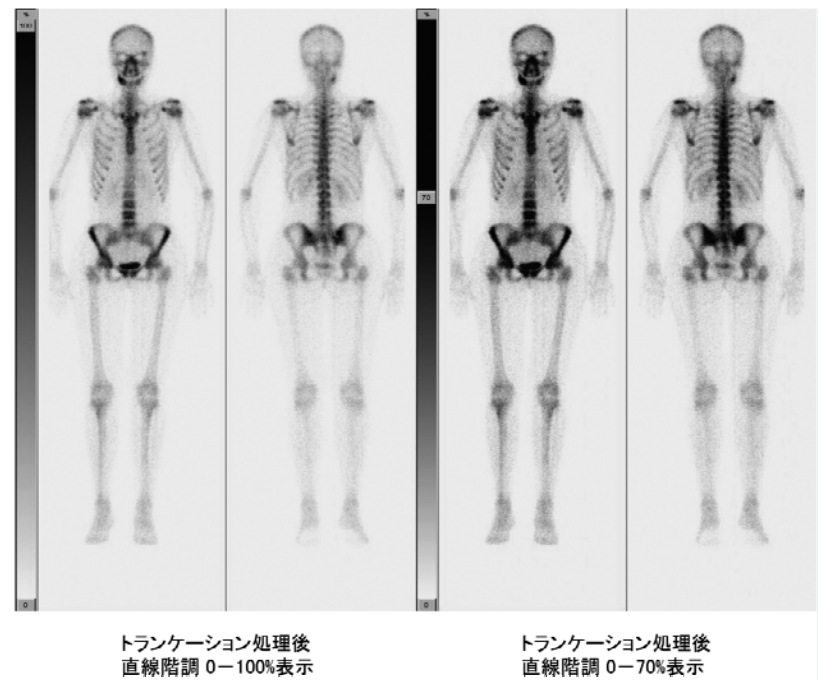


(←の膀胱が100%表示, 骨が全体に低濃度)



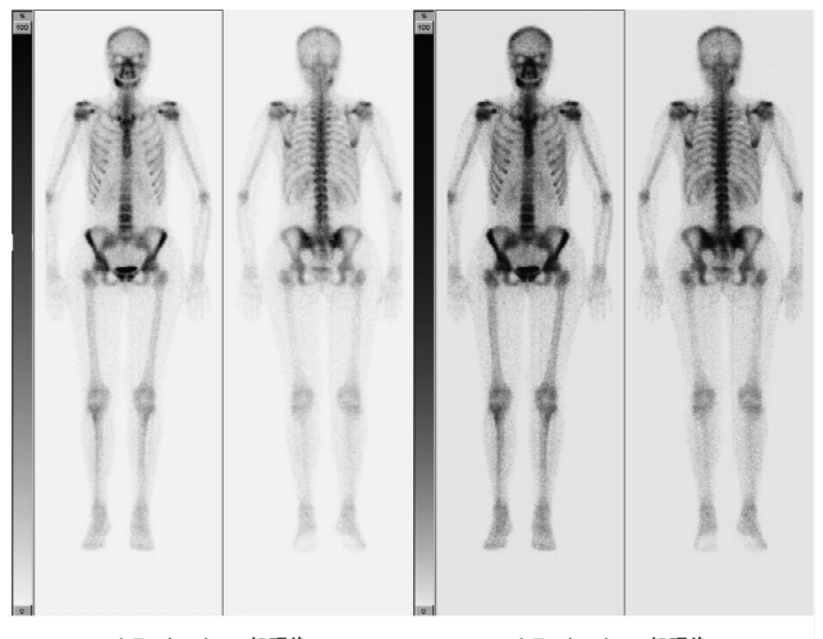
トランケーション画像 (胸椎後面ROI部にて100%表示, 骨が適正濃度)

図 4 全身スキャンにおける一般的なトランケーション処理 (処理方法の詳細は機器メーカにより若干異なる)



トランケーション処理後 直線階調 0-70%表示

図 5 2 画像表示の 1 例 (トランケーション後直線階調表示と upper level 70%表示)



トランケーション処理後 直線階調 0-100%表示

トランケーション処理後 上凸log階調 0ー100%表示

図 6 2 画像表示の 1 例 (トランケーション後直線階調表示と上凸 log 階調表示)

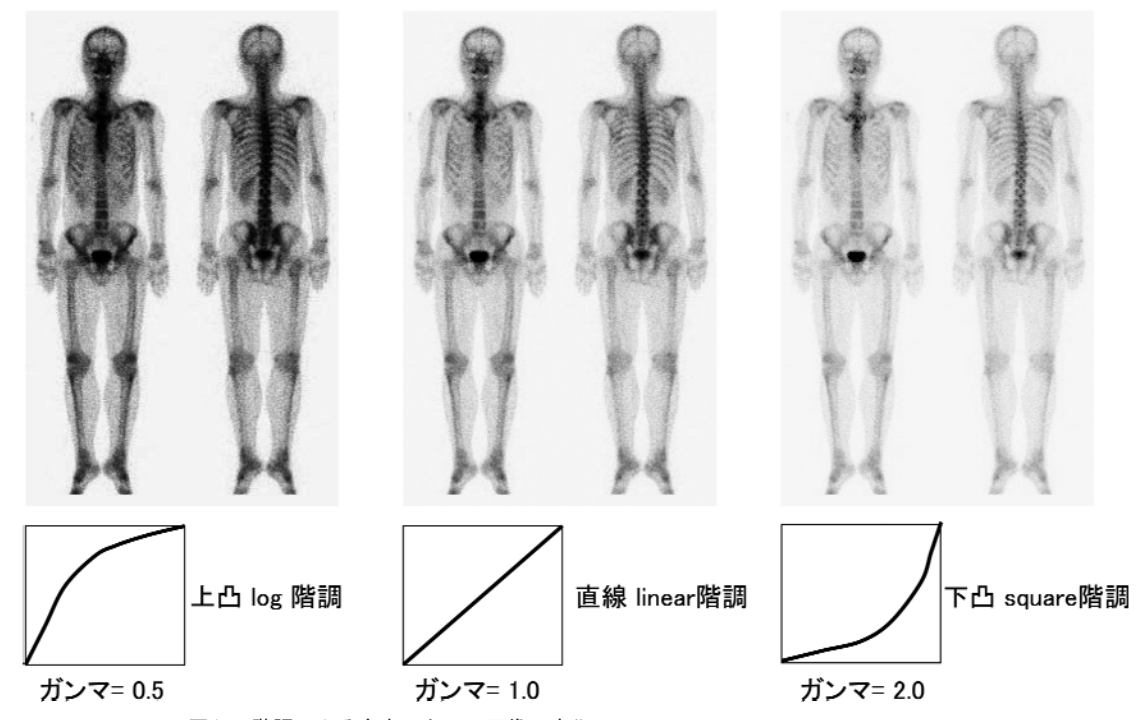


図 7 階調による全身スキャン画像の変化 (直線 linear 階調を基準としてメリハリを付けた 2 画像目を表示すべき)

を 0%で表示する意義は、軟部組織の集積の程度 も診断情報として有用であると考えるからであ る.したがって、表示の際には必ず濃度スケール と upper、lower の%値を表示し、表示されてい る画像の階調や濃度が正しく読影医に伝わるよう にすることが大切である.参考までに階調の変化 が画像に与える影響を図7に提示する.

4-4. スタチック

(1) 収集のポイント

全身スキャンでは、前後面からの情報しか得られない. 頭部 (頭蓋, 頭蓋低, 鼻腔), 胸部 (胸骨, 肋骨, 胸椎), 骨盤 (恥骨, 仙骨) などは立体的な構造をしており深さ方向の情報が重要である. そこで、前後面からだけでは見え難い骨の描出の際に、方向を変えた追加情報を得る必要がある. 頭部では両側面像、胸部・骨盤では両斜位像が有効となろう. 四肢では拡大スタチック収集が有効である. スキャン速度を 15 cm/min 程度で収集した後の追加収集としては、いくら時間をかけて美しい前後方向のスタチック収集をしても、方向を変えた情報を得ることはできない.

撮像条件は文献によって様々であるが各種資料^{1,6,7)}を勘案すると、収集拡大率は $1.0\sim1.5$ 倍(四肢ではさらに拡大)、 256×256 マトリクスで500 kcounts、 512×512 マトリクスで1000 kcountsを目安として、タイマーで制御する.740 MBq投与で約 $2\sim5$ 分間の撮像になる。また、分解能を劣化しないために近接収集も重要である.

(2) 処理のポイント

追加収集として病変部が明らかに診断できるように処理することが必要である。視野内に膀胱・注射漏れ等の異常所見とは異なる強い集積がある場合には、全身スキャンと同様に骨に最高カウントが来るようにトランケーション処理を行うことが必要になる。

(3) 表示のポイント

全身スキャンでは観察できなかった方向からの情報がしっかり反映される様に、所見の濃度が適正濃度になる様に表示する。また、表示サイズは微細な構造が表現できるように512マトリクスを使用する.

4-5. **SPECT**

(1) 収集のポイント

スタチック収集でも述べたが、頭部(頭蓋、頭蓋低、鼻腔)、胸部(胸骨、肋骨、胸椎)、骨盤(恥骨、仙骨)などは立体的な構造をしており深さ方向の情報が重要であることより、SEPCTに置き換えることができる。さらに椎体の骨転移部の同定には SPECT が有効である⁸⁾. また、SPECT はスタチックに比べてコントラスト分解能が向上すること、MIP 処理によりコントラスト分解能を維持したままプロジェクション方向から見た多方向の平面画像を作成できるなどの利点がある一方、分解能では劣るという欠点もある.

1回 SPECT の撮像条件は、マトリクス128× 128, 収集拡大率1.0倍, 連続回転で360度収集を 行う. 上記の収集条件にて得られる分解能を考慮 するとプロジェクション数は60程度、ピクセルサ イズは 5 mm 前後でよいと考える. 他の SPECT と異なり骨シンチグラフィは割合投与量の多い検 査であり、投与量の約50%は骨に集積するので、 収集時間は10 sec/step(約5分間)程度で充分満 足できる画像が得られると考える⁹⁾. 分解能をこ れ以上劣化させないためには、近接収集とベルト 等による固定は重要である. 全身スキャンにて追 加撮像部位を確認し、スタチックよりも SPECT を選択する方が有効であると判断した場合に実施 する. 骨 SPECT の役割は病的集積の部位, 広が り、集積の程度等に基づいて、良悪性の鑑別を確 定することにある. スタチック収集の2方向に費 やすのと同等の時間で SPECT 収集できるように プロトコルを設定すべきであり、闇雲に収集時間 を長くして美しい画像を得ることで情報量が増え るという考えは捨てるべきである⁹⁾、全身スキャ ンに SPECT を加えた総検査時間30分で、どれだ けの情報量がプラスされるのかを考える必要があ る.

骨における全身 SPECT (2回以上の連続 SPECT) は検査にかかる負担に見合った情報が得られるという根拠に乏しい.しかし,全身 SPECT を否定するものではない. MIP 処理された画像は画像コントラストの改善が著しい. ただし,骨シンチグラフィの場合,全身 SPECT の MIP 像だけで確定診断を下すことは危険であり,

あくまでも全身スキャンの追加収集と考えるべきである.

なお, 散乱補正や減弱補正は一般的には実施しない.

(2) 処理のポイント

骨 SPECT は高集積部位を含めた撮像がほとん どであり、FBP 再構成ではストリークアーチ ファクトの原因となる. 可能であれば再構成は OSEM を使用することが望ましい. 前処理フィ ルタは Butterworth で問題なく,カットオフ周波 数の設定に細心の注意を払う. OSEM は特に定 まったサブセット数、イタレーション回数はない が、サブセットごとに10プロジェクションデータ 程度でサブセット数を設定し、イタレーション回 数を5回以上に設定することを推奨したい. デー タの更新回数はサブセット数×イタレーション回 数で決まるが、サブセットごとのプロジェクショ ンデータ数を極端に少なくしてサブセット数を大 きくし更新回数を稼ぐよりも、イタレーション回 数を増やすべきである. たとえば, 60方向のプロ ジェクションではサブセット6, イタレーション 5~6程度が一般的である。骨盤部の SPECT 再 構成を FBP とOSEM にて比較処理した画像(図 8)を参照されたい.

膀胱の排泄不良、腕の注射もれ等の場合には OSEM 再構成が特に有効である. 一方、現時点で OSEM 処理ができない施設では、骨の最高カウントを上回る骨外高集積のカウントをプロジェクションデータにてトランケーション処理を実施した後に FBP で処理することにより、 OSEM に近い画像を得ることはできるが、低カウント部の S/N 向上に対する効果は少ない.

(3) 表示のポイント

骨 SPECT の場合も他の SPECT と同様に下凸の二乗曲線階調(square)とすることがあるが、部位の同定を容易にするには、骨以外の軟部組織の描出をある程度残した表示が望まれる。直線階調にて lower level を 5~10%カットするかまたは、弱い下凸の square とすることが妥当である。MIP 像を追加作成することにより多方向からの集積の広がりを診断することができるが、正確な集積部位の位置情報を得るには必ず SPECT 像とともに表示する。SPECT 表示の方向はトランス

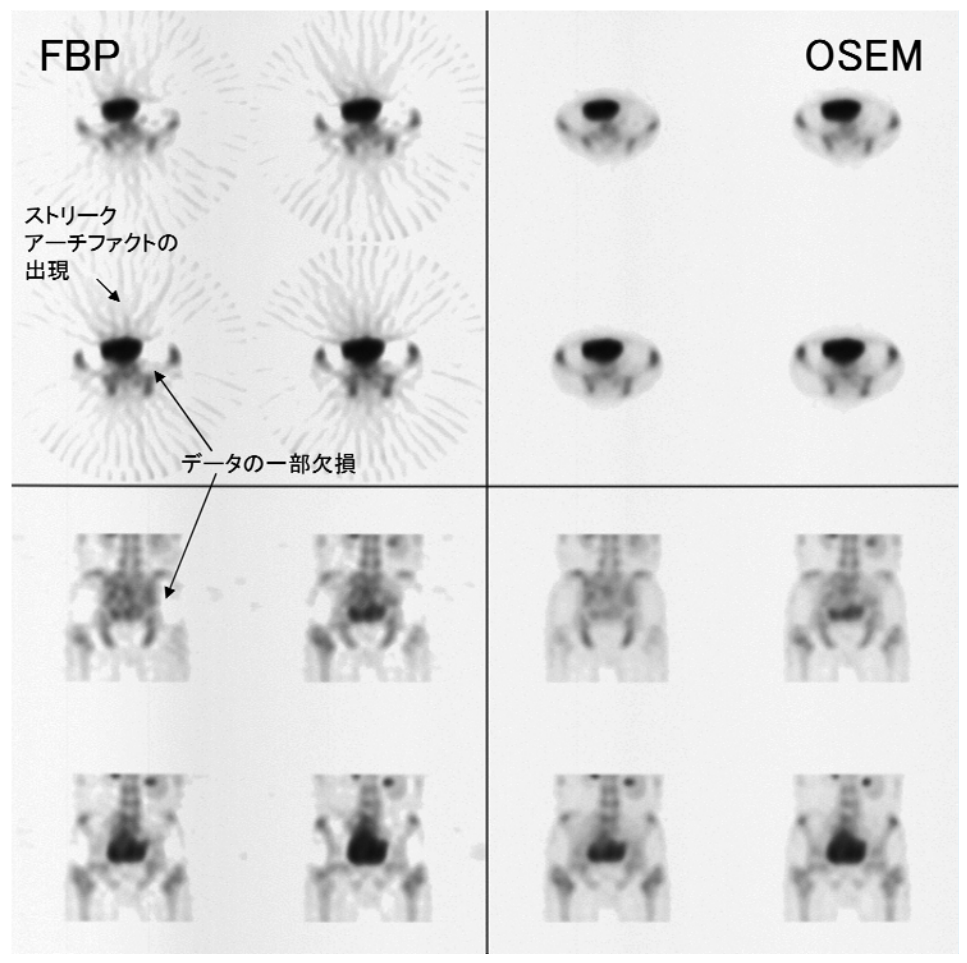


図8 骨盤部 SPECT の FBP と OSEM の比較 (trans-ax 画像と coronal 画像, OSEM 処理条件: 60方向, subset 6, iteration 5)

アキシャル画像とコロナル画像を基本とするが、 脊椎のサジタル画像を追加することもある. MIP 表示は8方向が一般的である. 腰椎に異常集積が ある症例のコロナル画像とトランスアキシャル画像 像を図9に示す. また、トランスアキシャル画像 のみ表示階調の違いも提示する.

4-6. まとめ

現状では骨シンチグラフィの目的のほとんどは 全身スキャンでまかなえる. スタチックおよび SPECT, MIP は診断精度を向上するための追加 手段と考えるのが妥当である. 逆に全身 SPECT から作成した MIP 像のみで読影することは位置 情報の不足などのマイナス要因があり全く推奨で きない. しかしながら, 決して SEPCT を否定す るものではなく, 脊椎等への集積があった場合に は逆に積極的に SPECT を追加していただきたい.トランスアキシャル像で脊椎への集積の良悪鑑別が可能である⁸⁾. 全身スキャンにて単に脊椎に異常集積があるというコメントのみで依頼医師にレポートした場合, X線単純撮影や MRI 検査を追加依頼することになり,骨シンチグラフィの検査意義が損なわれる結果となる. 適切な斜位スタチック撮像や SPECT を実施することにより骨シンチグラフィの付加価値を高め,エビデンス策定につながると考える.

全身スキャン画質の最も重要なポイントはスキャン速度と近接収集である。スキャン速度に関してはスタチックと同等という意味で $10\sim15$ cm/min という指針 $^{5)}$ があるが、その他の要素は特に定まったものはないのが現状である。しか

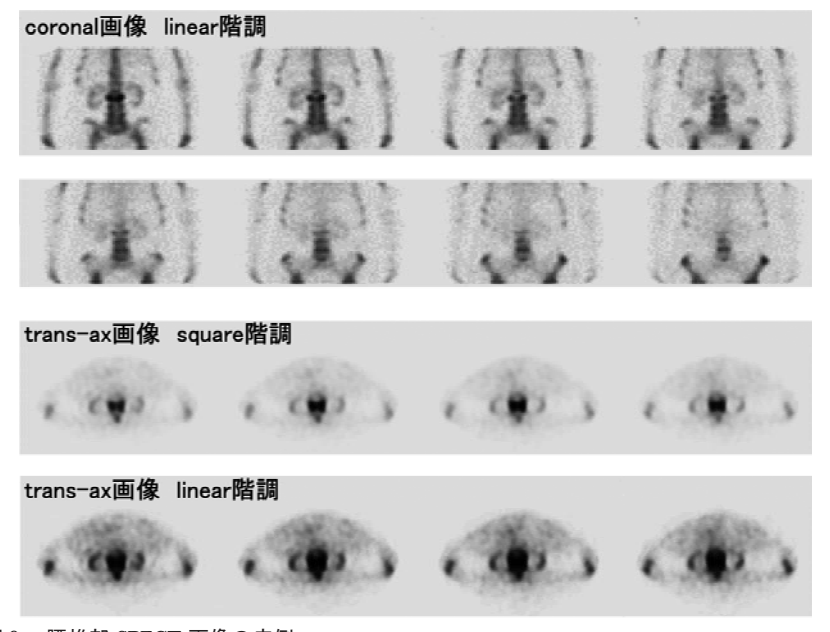


図 9 腰椎部 SPECT 画像の症例 (coronal 画像と表示階調を変化させた trans-ax 画像: 階調の違いにより高集積部や軟 部の描出が異なる)

し、現実の臨床現場では日々多くの検査をこな し、長時間体を動かさないで検査できる被検者ば かりとは限らない。スタチックの分割撮像やス キャン速度を早くした全身スキャンをせざるを得 ない場合もある。症例ごとに投与量、スキャン速 度(収集カウント)、近接収集(分解能)、適切な コリメータ(分解能と感度)等を考慮して、核医 学検査の基本をしっかりと実行することが大切で ある。

全検査時間を30分とした場合,15分程度の全身スキャン+前後方向以外のスタチック追加または+1回(可能であれば2回)のSPECT追加,このあたりが現実的なプロトコルと考える.スタチックを優先して前後方向も撮像するために全身スキャンの速度を極端に早くするという施設も存在するが,本末転倒と言わざるを得ない.もちろん30分以上の検査時間が得られる施設では,全身スキャン+複数回のスタチック+複数回のSPECTも可能であろうが,本当に診断能が向上するのか,被検者に苦痛を強いているのではないか等の再検討をお願いしたい.診断医師の好みや偏った意見に左右されることなく,本章で述べてきた内容を最低限実践することが骨シンチグラ

フィ撮像のガイドラインとなる.

(川渕)

参考文献 (骨シンチグラフィ編)

- 1) 日本核医学技術学会核医学画像の定量化・基準化の ための調査研究ワーキンググループ:核医学診療の 実態と画像の収集・処理・表示・出力の標準化に関 するアンケート調査報告.核医学技術, 24: 95-118, 2004
- 2) 渡辺 浩:放射線診療における線量低減目標値 核 医学. 日本放射線技師会雑誌,54:502-514,2007
- 3) 木田哲生:主要核医学検査の収集・再構成パラメータの標準化に向けての調査報告. 京滋 RI 検査を語る会記録集, 12:5-8, 2003
- 4) 日本アイソトープ協会医学・薬学部会 放射性医薬 品専門委員会:薬による放射性医薬品の体内挙動の 変化について. Radioisotopes, **56**: 33-46, 2007
- 5) 日本アイソトープ協会医学・薬学部会核医学イメージング・検査技術専門委員会:全身イメージングにおける適正スキャン速度に関する指針. Radio-isotopes. 51: 272-284, 2002
- 6) 野村悦司:骨シンチグラフィの技術的基礎. 第3回 NMTC 記録集
- 7) 野末一司:撮像技術に関する意見交換.第37回静岡 県核医学談話会資料
- 8) 小須田茂, 新井真二, 横山久朗: 骨 SPECT による 脊椎骨転移と変形性脊椎症の鑑別診断—集積分布パ

ターンによる解析—. 核医学, **31**:613-618, 1994 9) 日本放射線技術学会核医学分科会編:放射線医療技 術学叢書 (19), SPECT 画像技術の基礎. 94-97, 2002

5. ガリウムシンチグラフィ編

クエン酸ガリウムは長い間,腫瘍検出・炎症疾患評価製剤として使用されてきた。今日¹⁸F-FDG-PET の普及により,ガリウムの腫瘍イメージング製剤としての必要性が若干薄れつつある。しかし,現実問題としては PET 装置稼動施設以外では今後もガリウムでの腫瘍・炎症シンチグラフィの施行は続くであろうし, PET 装置稼動施設においても一部のガリウム親和性疾患については検査の施行はあると考えられる。

しかし、現在本邦で施行されているガリウムシンチグラフィは、撮像の大半は全身スキャンのみである¹⁾.この画像をもってしてガリウムシンチグラフィだとすることは、現在の技術水準においては到底容認することができない。臨床の現場に置いて SPECT が施行されないことは、ガリウムシンチグラフィに正当な評価を与えないばかりか、本来得ることが出来るはずの臨床データを見

逃してしまう可能性がある。今回提示する諸条件を自施設の装置では出来ないという論調は、現在の医療環境において被検者の利益に反することであり到底認められない。確かにガリウムシンチグラフィ撮像に関してのエビデンスは皆無に等しい。だからこそ本章においては、今後確かなエビデンスを策定していく上においての指標となるべくガリウムシンチグラフィの基準画像を提示し、その撮像・処理・表示方法のポイントを述べ、EBMに基づいたガリウムシンチグラフィの方向性・可能性について述べる。

5-1. 基準画像撮像の装置と撮像条件

基準画像の使用装置等は骨シンチグラフィと同じである。図1,2,3に同一被検者の基準画像および表1に撮像条件を示す。ガリウムシンチグラフィではSPECTの有用性が以前より指摘 2,3 されているところであるから、図3に全身 SPECTの基準画像も提示する。

コリメータは中エネルギー型を使用する. 67 Ga には複数のガンマ線エネルギーピークが存在するが,使用するエネルギーピークは普通 93,185,300 keV の 3 ピークである.このような高エネルギーのガンマ線を持つ核種であれば,ペネ

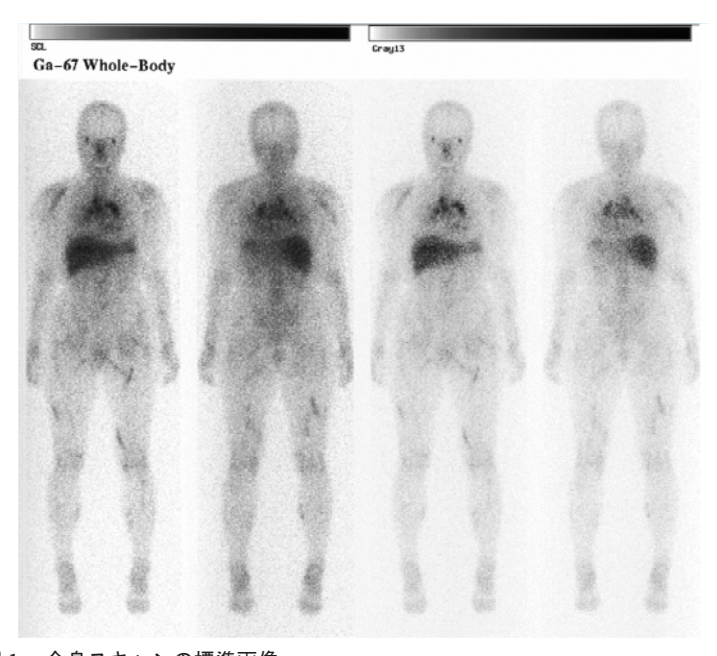


図1 全身スキャンの標準画像 (症例は全身性サルコイドーシスである. 左右対称に表示, 2種類の濃度 の画像を出力する.)

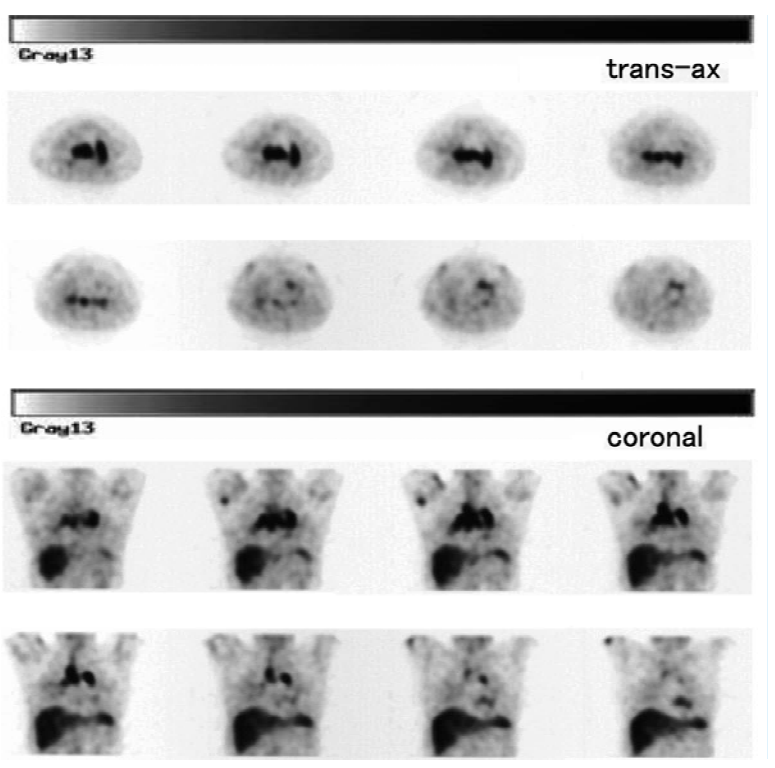


図2 SPECT の標準画像 (図1と同一症例. 上段が trans-ax, 下段が coronal の画像である. 必ず同時に2 方向以上の画像を出力し位置情報を持たせること)

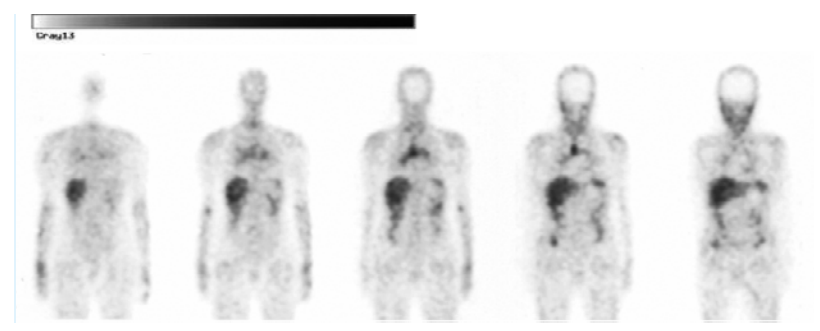


図 3 全身 SPECT coronal image の標準画像 (図 1, 2 と同一症例. 一般的には他の SPECT と同様に square 階調で出力)

トレーションを抑えるために中エネルギー型コリメータを選択すべきである。コリメータ特性は機種によって異なるが、参考までに島津製作所PRISM 2000XP における中エネルギー汎用コリメータと低エネルギー高分解能コリメータでの ⁶⁷Ga からのガンマ線エネルギースペクトルを図4に示す。低エネルギーコリメータではガンマ線がつきぬけてしまっているのがよくわかる。ま

た,300 keV のピークの使用については,コリメータの性能や散乱補正の使用などの理由により使用しない場合もあるが特に基準はない.

ガリウムシンチグラフィの画像には散乱線成分が多く含まれており、TEW 法等の散乱補正を行うことが出来る装置については必ず補正を行う⁴⁾.

検査時間に関しては, 各施設の環境, 被検者の

表1 基準画像の撮像条件表

式:					
収集モード	Whole-Body	SPECT	Whole-body SPECT		
薬剤 ⁶⁷ Ga-Citrate					
使用装置	対向2検出器型デジタルガンマカメラ				
投与量	111 MBq				
撮像開始時間	投与後48時間				
コリメータ	MEGAP				
エネルギーウィンドウ	90,	185, $300 \text{ keV} \pm 10\%$			
収集モード	_	continuous	continuous		
収集時間	約20分	10分	10分×3pass		
収集速度	10 cm/min	_	_		
収集角度	_	6 度	6度		
プロジェクション数	_	60 views	60 views		
マトリクス	256×1024	128×128	128×128		
拡大収集	なし	なし	なし		
ピクセルサイズ (mm)	2. 18	4. 67	2. 98		
前処理フィルタ	_	Butterworth	Butterworth		
(order・cutoff 周波数)	_	8. 0, 0. 81 cycles/cm	8. 0, 0. 67 cycles/cm		
再構成法	_	OSEM	OSEM		
subset • iteration	_	6 • 5	6 • 5		
減弱補正方法と μ 値		検討せず	検討せず		
散乱線補正の有無	検討せず	検討せず	検討せず		

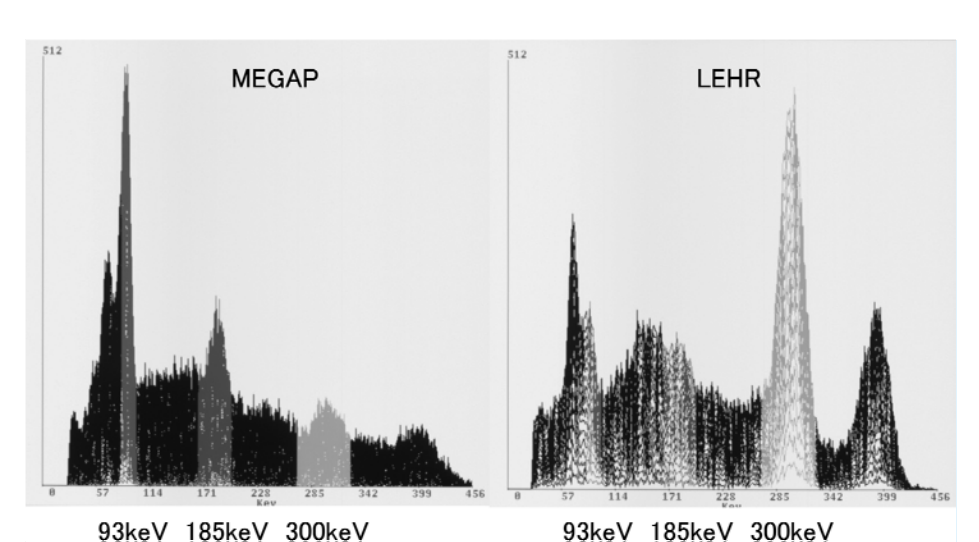


図 4 ⁶⁷Ga のコリメータによるエネルギースペクトルの差

状態等により異なるが、被検者がその体位を保っ たまま検査を受け続けることが出来るリミットが 30~40分程度であるということは、臨床を経験す ると容易に理解できる. 撮像プロトコルの決定は 被検者が耐えうる検査時間を基準に設定し、その 中で最適な撮像を行うべきである.

5-2. 前処置·投与·撮像開始時間

が阻害されたり, 化学療法により異常集積が出現

したりすることなどが報告されている⁵⁾. ガリウ ムシンチグラフィは投与と撮像の間隔が2~3日 間と長く, その間に核医学検査部門では把握しき れない集積阻害・集積異常に関わる要因が発生す ることがあり得るため、他の医療スタッフと充分 な意思疎通を図る必要がある.

下剤投与や浣腸の前処置不全の場合、腹部の集 ⁶⁷Ga-Citrate はガドリニウム造影剤により集積 積が腸管なのか、病変なのかの鑑別が困難であ り, 全身検索という目的完遂のためにも確実に行 う. SPECT を施行し、MIP 処理をかけると鑑別が容易になる場合もあるが、それでも前処置はしっかりと行う必要がある.

撮像開始時間はガリウム投与後48時間の施設が 最も多いが、特に厳密なものではなく現実には72 時間後に施行する施設も存在する。また、施行例 は多くはないが炎症病巣のみを描出する目的で投 与後6時間に撮像開始する場合もある。病巣と バックグランド濃度比が最も高くなるのが48時間 を越えてからだということを踏まえて検査を施行 する. 比較読影のためには施設においての撮像開 始時間を常に一定にすることが重要である.

5-3. 全身スキャン

(1) 収集のポイント

ポジショニングについては全身スキャンの場合は骨と同様左右対称などに注意する。また、体動がないように適宜ベルトで固定する。見た目だけではなく、再現性を確保するためにも重要である。視野は大視野のガンマカメラを使用すれば、ほぼ全身(横幅)をカバーできる。

全身スキャン撮像の場合のマトリクスサイズは 256×1024が一般的である. スキャン速度は日本 アイソトープ協会からの指針⁶⁾ が発表されており,本章においてもその指針である10 cm/min を推奨する. ただし,この推奨条件は全身スキャンのみをガリウムシンチグラフィだとした場合のことであり,全身スキャンの他に必ず SPECT を追加するのであれば,15 cm/min 以下であれば 臨床画像としては問題ないと考える. また,被検者-コリメータ間距離は可能な限り近接させる. 現在のガンマカメラでは赤外線による自動近接やプレスキャンによる近接撮像が可能になっている.

(2) 処理のポイント

肝濃度を基準に読影する専門医が多いことから、肝以外で異常な高集積を示す所見が見られる場合、または皮下への高濃度な注射漏れがあった場合には、肝濃度が低下したかのような画像に見えることがあり、その場合は骨シンチグラフィの様なトランケーション処理が必要なこともある。その際には肝のカウントが最高濃度で出力できるように、肝臓内にROIをとり、肝の最高カウントとなトを計測し、その値が画像内の最高カウントとな

るようにトランケーション処理する.

体内より放出される ⁶⁷Ga からのガンマ線でエ ネルギーウィンドウに入ってくる半分近くが散乱 線であり、結果的にガリウムシンチグラフィは不 鮮明な画像として表示される. したがって、散乱 補正は重要であり、一般的な方法は TEW (Triple Energy Window) 法である. エネルギー ウィンドウは 93 keV と 185 keV の 2 ピークを使 用する. 2 つのエネルギーピークにそれぞれメイ ンウィンドウとその上下にサブウィンドウを設け る. 一般的にメインウィンドウは20%, サブウィ ンドウは7%とする. この上下のサブウィンドウ 内のカウントの高さを結ぶとメインウィンドウ内 に台形ができ,この中に入る散乱線成分のカウン トを推定して、メインウィンドウで測定されたカ ウントから差し引くことにより、散乱線の影響を 除外した画像を得ることができる(図5).

(3) 表示のポイント

一般的には撮像した収集データをそのまま upper level 100%-lower level 0% で表示するか, 肝臓のカウントが100%となるように表示する方法がある。最高濃度をどこに合わせるのか特に定まったものはない。全身に高集積部位が存在する場合は後者の方法が有用である。また, 肝臓内に病変がある場合などはそのままでは肝内病変の描出が難しい。その場合は処理のポイントにて述べたように, 肝臓内に ROI を取りトランケーション処理を実施する.

ガリウムシンチグラフィにおいても骨シンチグラフィと同様に濃度表示を2種類出力することが必須である.2種類の画像は、出力時にlinear階調表示とsquare階調表示をする場合と、直線階調表示の最高濃度を調節して出力する方法がある.表示の際には必ず濃度スケーラーを表示し、表示されている画像の階調や濃度が正しく読影医に伝わるようにすることが重要である.また散乱補正が行われている場合、図5に示すよう補正前および補正後の画像の提示が必要である.少なくとも散乱補正の有無の表示は必須である.

5-4. **SPECT**

(1) 収集のポイント

全国的にはガリウムシンチグラフィとして全身 スキャンのみを施行している施設が多い¹⁾. ガリ

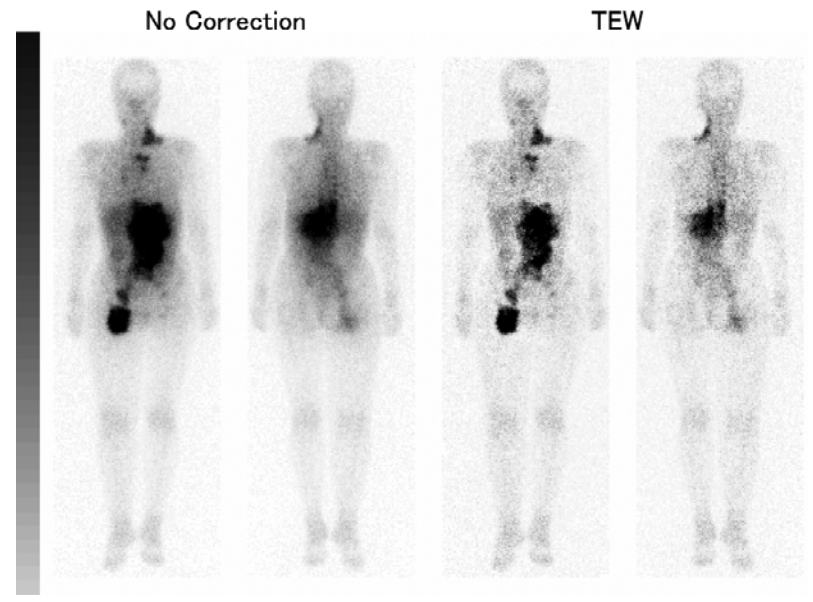


図 5 MEGP コリメータを用いて TEW 法による散乱補正 (悪性リンパ種の症例. TEW 法を用いた散乱補正によりコントラストが改善)

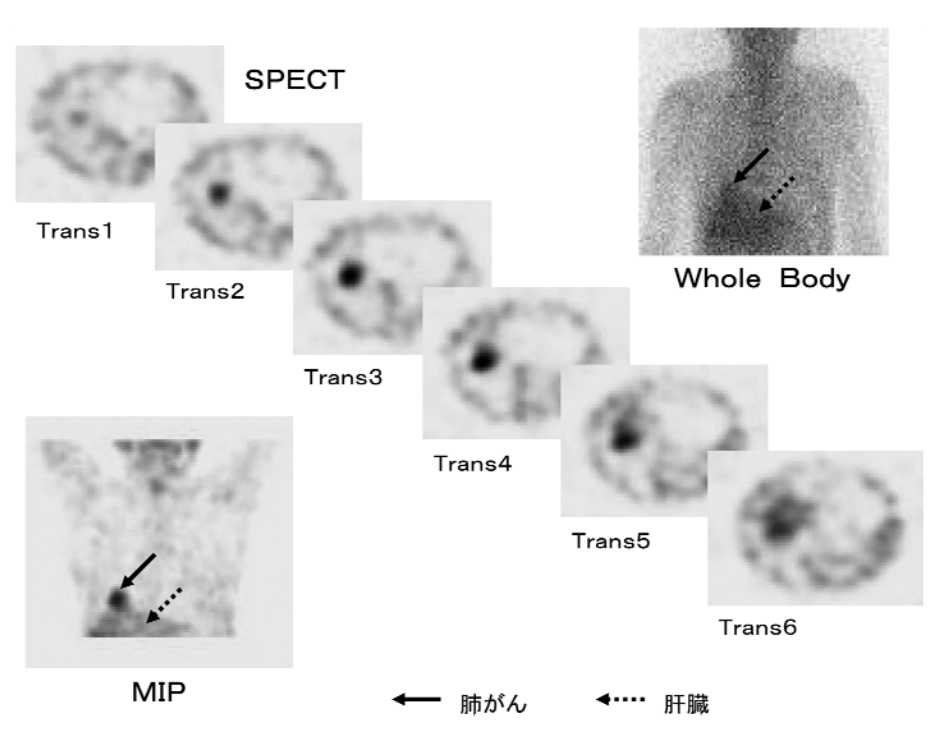


図 6 右横隔膜に接した肺がん症例 (全身スキャンでは不明瞭な集積が、SPECT および MIP にてコントラストの改善により明瞭に描出)

ウムの検査に限ったことではないが、カルテ・CT・MRI などの被検者データを参考にし、ポイントとなる箇所(例えば脳転移を疑うのであれば、頭部)の SPECT を日常的に追加することは非常に重要な事項である。ガリウムシンチグラフィは陰性像を検出することではなく、陽性像を検出する(あるいは本来あるべき集積がないという情報を得る)ことが目的であるので、積極的にSPECT を撮像することにより検出能が格段に増加する^{2,7)}. すなわちガリウムシンチグラフィには SPECT が必須である。全身スキャン像からある程度の読影をし、SPECT を追加撮像することなど、画像のクオリティを向上させることは今後核医学専門技師が積極的に関わっていくべき専門分野の一つである。

現実的にも SPECT 収集が可能な施設がほとんどであり、ガリウムシンチグラフィは SPECT があって始めて成立すると言っても過言ではない. 骨 SPECT とは異なり、図 6、7に示すように SPECT を施行してはじめて検出できる症例も多数経験される. 当然ながら施設の諸事情が許せば、全身SPECTの施行も期待する. ただし、間質性肺炎の診断の際にはスタチック像が優れてい

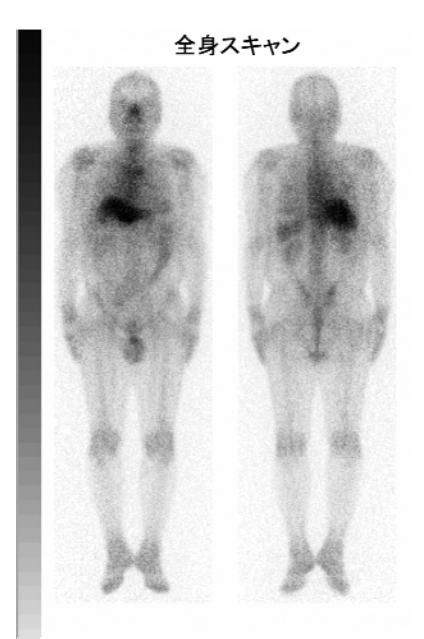
るとの報告⁸⁾があり、びまん性病変の場合には SPECT だけではなく、逆に全身スキャンも必ず 撮像する. つまり全身スキャンと SPECT の両者 は現時点では共に必須である.

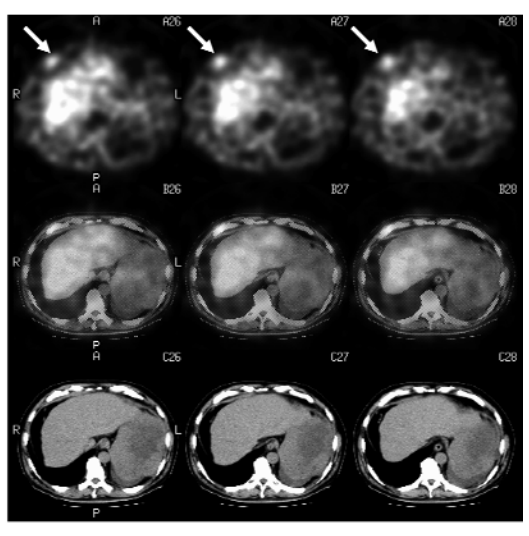
ピクセルサイズは**表 1** より 4~5 mm を基準とするので、マトリクスサイズは 128×128 が適する。これにより、プロジェクションデータで 8~10 mm の分解能が得られる。ガリウムは投与量が少ないこともあり、サンプリング数があまりに多いと 1 方向からのカウントが減少するため60方向程度を推奨する.収集時間に関しては、メーカ推奨は 1 方向45秒程度 90 、文献には 1 方向30秒の報告があるが 30 、日常臨床においては 1 方向20秒で、1 回の SPECT 収集時間は10分程度が一般的である。

ポジショニングは胸部 SPECT の場合は両手挙上が一般的である. 全身 SPECT であれば, 全身スキャンと同じ姿勢をとるのが一般的である.

(2) 処理のポイント

アーチファクトやノイズの影響を低減させるためにも、ガリウムシンチグラフィでは再構成は OSEM 法で実施すべきである. 現時点では特に定まったサブセット数、イタレーション回数はな





SPECT & CT O Fusion

図7 悪性リンパ種の肋骨転移 (SPECT 画像の矢印に示す部位にガリウムの集積が認められるが、全身スキャンでは肝臓との重なりにより検出不可能である。また X線 CT とフュージョンを行うことにより明確に位置が同定できる。) 〈カラー掲載参照〉

MIP image

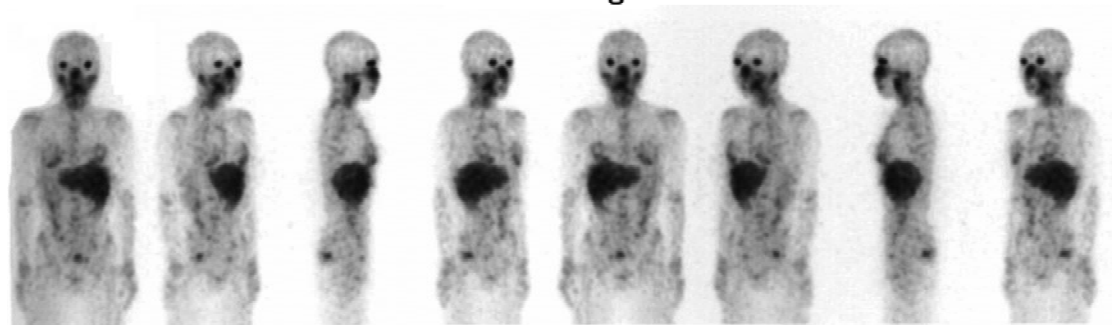


図8 全身 SPECT MIP image (本来出力数に基準はないが、8方向は必要、シネ画像が参照できればよい。)

いが、サブセットごとのデータ数が10プロジェクション程度を下回ることのないようなサブセット数を設定し、イタレーション回数を5回以上に設定することを推奨する。OSEMが搭載されていない装置では、FBPを用いて行わざるを得ないが、ガリウムシンチグラフィでは骨シンチグラフィに比べて強いアーチファクトを引くことは少ないと考える。カットオフ周波数の設定や表示階調の工夫により診断に役立つ画像を提供することはできる。

全身 SPECT の場合, ガンマカメラメーカにより再構成された SPECT 画像をつなぎ合わせる方法と, プロジェクションデータをつなぎ合わせた後に再構成する方法が存在する. 優劣についての報告はない.

(3) 表示のポイント

ガリウム SEPCT 表示の upper, lower level は明確な基準はない. 目的の部位の濃度が正確に表示されること,目的部位-バックグランド比を考慮すること,施設において常に同じ濃度表示基準を設けることなどが考えられる。

全身 SPECT の表示法に関しては検査を実施する施設がまだ少なく決まったものはない. 図8に示す MIP 画像は診断に有用であるから処理し表示されたい. MIP 画像をシネモードで観察できることが望ましいが、それ以外では少なくとも8方向以上の画像を表示する.

ガリウム SPECT は位置情報に乏しいため、近年 CT・MRI 画像とのフュージョンが行われている. 読影精度を向上させるためにも、施設において環境が整っているのであれば、図7 (カラー掲

載参照)に示すフュージョンイメージを追加作成する.

5-5. まとめ

ガリウムシンチグラフィは全身検索を最大の目的とする症例が多いことから、全身スキャン撮像は今後も重要な検査手技である。その全身スキャン撮像の最大のファクターはスキャン速度と近接収集である。これらが画質に大きく関わることを認識しながら検査を施行されたい。また、ガリウムシンチグラフィは述べてきたとおり、SEPCTを施行することにより検出能が向上することがよく知られている。しかしながら、主に施設側の諸事情により未だに SPECT の施行率は伸びてはいない。しかし、その論調はあくまで施設側の都合であり、被検者本位に立って考えれば到底認められない。

ガリウムシンチグラフィの検査の流れとしては、全身スキャン撮像後、追加撮像部位決定を行いSPECTまたは全身 SPECT を実施する。全検査時間は、SPECT 1ヶ所で30分、2ヶ所で40分、3ヶ所で50分、4ヶ所で60分程度を目安とする。SPECT 再構成には OSEM を使用することによりノイズの低減が可能となる。これらの条件を満たすもののみをガリウムシンチグラフィと称することを提言する.

ガリウムシンチグラフィの標準化は困難な作業 ではあるが、核医学専門技師が中心となって進展 することを切に望む.

(川渕)

参考文献(ガリウムシンチグラフィ編)

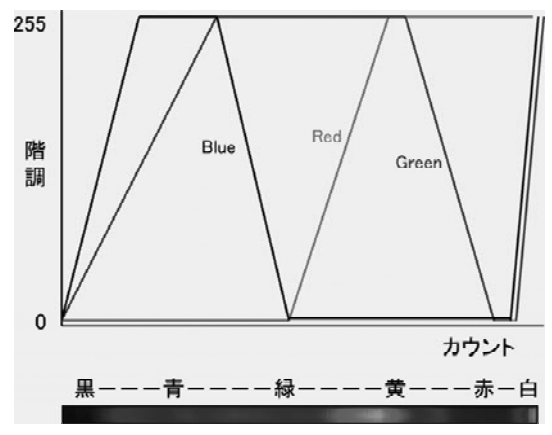
- 1) 日本核医学技術学会核医学画像の定量化・基準化の ための調査研究ワーキンググループ:核医学診療の 実態と画像の収集・処理・表示・出力の標準化に関 するアンケート調査報告. 核医学技術, 24: 95-118, 2004
- 2) 油井信春, 塚本江利子, 宍戸幸治, 他: ガリウム全 身 SPECT ならびにガリウム早期像に関する検討. 核医学, 41(3):441-442, 2002
- 3) 市原裕紀:全身 SPECT の有用性と問題点. 日本放 射線技術学会雑誌, 58(8):992-995, 2002
- 4) 柳沢正道, 木下富士美, 森貞美佳, 他: Triple energy window (TEW) 法を応用した ⁶⁷Ga イメージ ングの検討. 日本放射線技術学会雑誌,54(5): 630-638, 1998
- 5) 日本アイソトープ協会医学・薬学部会、放射性医薬 品専門委員会:薬による放射性医薬品の体内挙動の 変化について. Radioisotopes, 56:33-46, 2007
- 6) 日本アイソトープ協会医学・薬学部会核医学イメー ジング・検査技術専門委員会:全身イメージングに おける適正スキャン速度に関する指針. Radioisotopes, 51: 272-284, 2002
- 7) Harwood SJ: SPECT gallium scanning for lymphoma and infection. Clin Nucl Med, 12(9): 694-702, 1987
- 8) 上野恭一, 西耕 一, 井上一彦, 清水博志, 力丸茂 穂:間質性肺炎の Ga-67 SPECT の臨床的検討. 石 川県中医誌, 22:57-62, 2000
- 9) 核医学診療の実態と画像の収集・処理・表示・出力 の基準化に関するアンケート調査(日本核医学技術 学会第24回総会学術大会展示資料)

6. 出力のポイント編

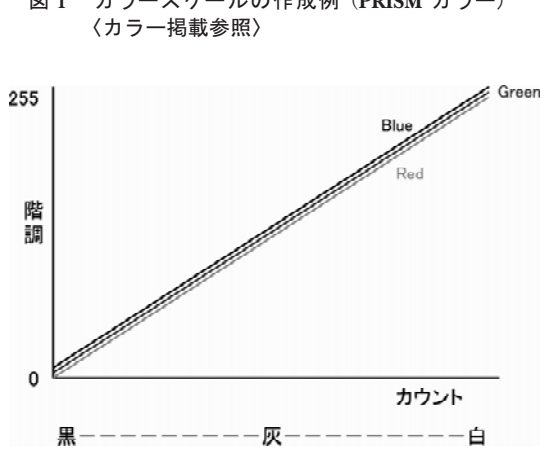
前章までに脳血流 SPECT 編, 心筋 SPECT 編, 骨シンチグラフィ編およびガリウムシンチグラ フィ編の収集,処理および表示に関する提言と基 準画像を得るためのポイントを解説した. この章 ではそれらの検査の画像表示結果を出力する際の 基準となる方法を提言するとともに, 注意点やポ イントに関する詳細な解説を加えた. また, 従来 のガイドライン¹⁾や論文・書籍等^{2~6)}を参考にし て、定量化・基準化 WG が独自に実施したプリ ンターメーカ対象アンケート調査の回答をまとめ て記載したものである.

6-1. カラー出力の調整

モニターに表示されるカラーコードは、入力が カウント数で出力が R (Red), G (Green), B (Blue) それぞれに対応する 8 ビット (256階調)



カラースケールの作成例 (PRISM カラー) 〈カラー掲載参照〉



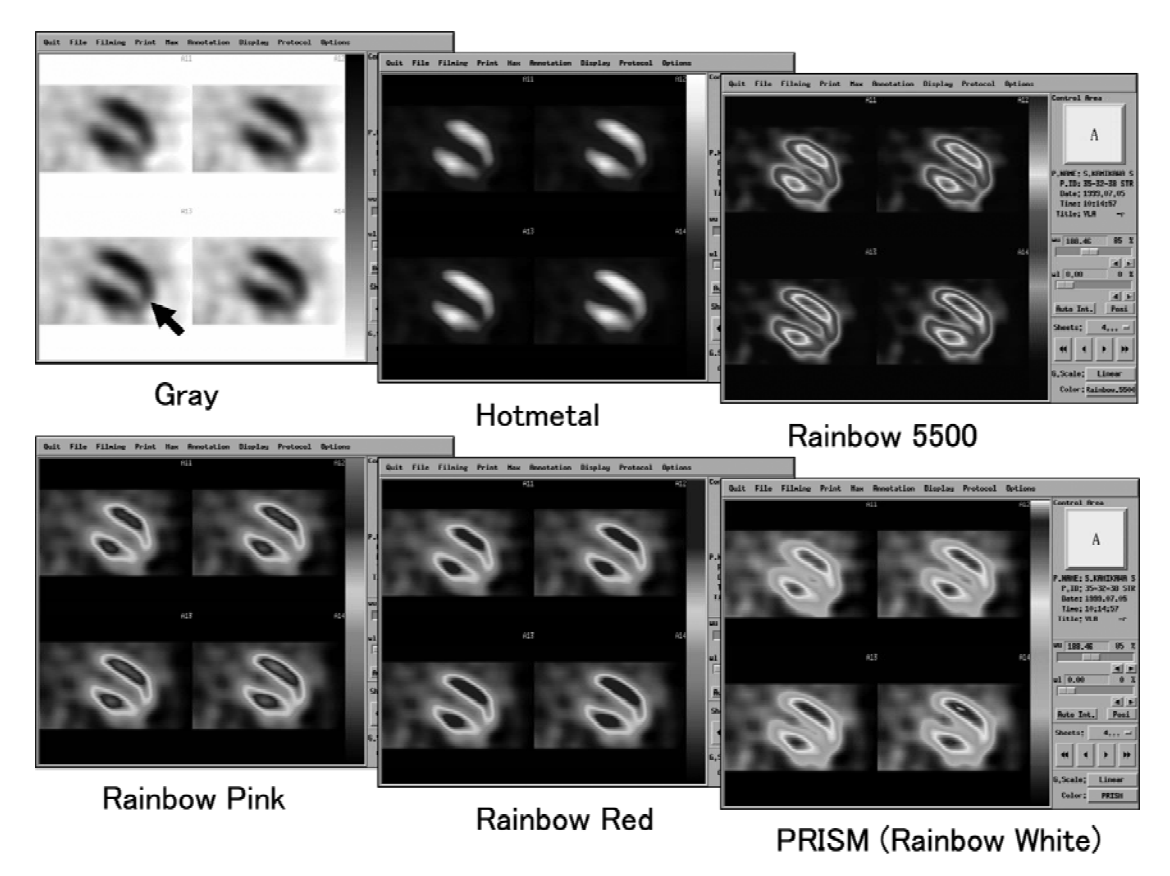
白黒グレイスケールの作成例(linear 階調) 〈カラー掲載参照〉

の数値で表現される⁵⁾. RGB それぞれに別のカ ウント-階調特性を持たせることで、数多くのカ ラースケールを作成することができる(図1,力 ラー掲載参照). また、同一のカウント-階調特性 を持たせることで、白黒のグレイスケールとなる (図2, カラー掲載参照). RGB のカラーコード を変更することにより低カウント域から境界領 域、正常域から高カウント域への色調が変化し て、診断上カラースケールの印象が大きく異なる 場合がある(図3,カラー掲載参照).

調整法を以下に列記する.

ステップ1

診断医と協議して適切な表示カラーコードを選 択する. 核医学画像ではカウントの相対値を0~ 100%まで黒色から赤色までのレインボーカラー で表現することが多いが、心筋部に100%レベル



階調:linear upper level 100% lower level 0%にて表示

図3 カラーコードの違いによる低カウント領域の描出能の変化 (垂直長軸断層における心尖部のカウント低下)〈カラー掲載参照〉

が存在しない(心筋外高集積が存在する)場合 は, あたかも心筋集積が低下したような表現にな ることがある。100%領域が赤以外の白色やピン ク色で表現されるコード (Rainbow white, Rainbow pink) を使うことにより、心筋部に100%レ ベルが存在することが確認できる. また, カラー 表示にて linear (直線階調) 以外の例えば square (二乗曲線階調)を用いるとカラーの色調分布が 大きく変化し,診断に影響することもあるので注 意をする. 図4 (カラー掲載参照) に示すよう に、一般的にレインボーカラー(図では PRISM カラー使用)ではカウントが50%に低下した領域 を緑色で表現する(赤三角矢印). 診断医はレイ ンボーの色調によりカウント低下の程度を認識し ている. linear 表示で lower level を10%程度カッ トしてもレインボーの色調は大きく崩れないが,

階調を square にすると色調がくずれて、カウント低下領域を過大評価することになる. GE カラーや Hotmetal 等のモノトーンに近いカラーコードを除いて、一般的にレインボーカラーでは linear を推奨する.

ステップ2

モニターに表示した階調パターン(図 5 , \hbar ラー掲載参照)を選択したカラーコードに設定し、 $0 \sim 100\%$ の linear にて表示する。そして、カラープリンターに出力して、モニターとプリントのカラーの色調がほぼ同じになるようにプリンターの調整を実施すれば完了となる。

ここで問題となるのは、CRT モニターの三原色は R (Red), G (Green), B (Blue) であるのに対して、プリントペーパーは C (Cyan), M (Magenta), Y (Yellow) の三色が多層に塗布さ

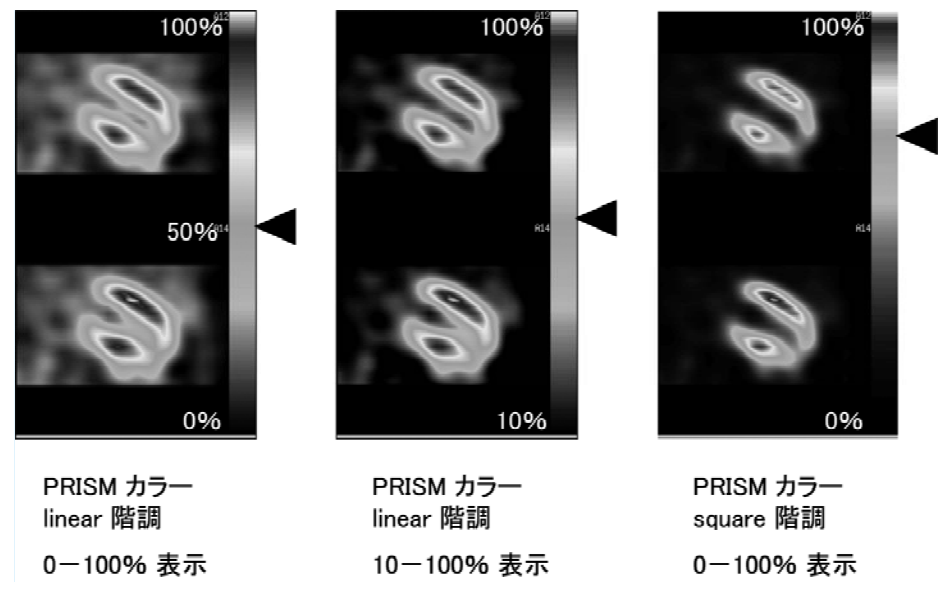


図4 レインボーカラーの階調設定によるカウント低下領域の描出が変化 (図3と同一症例: square 階調を選択するとカラーの色調が大きく変化することに注意)〈カラー掲載参照〉

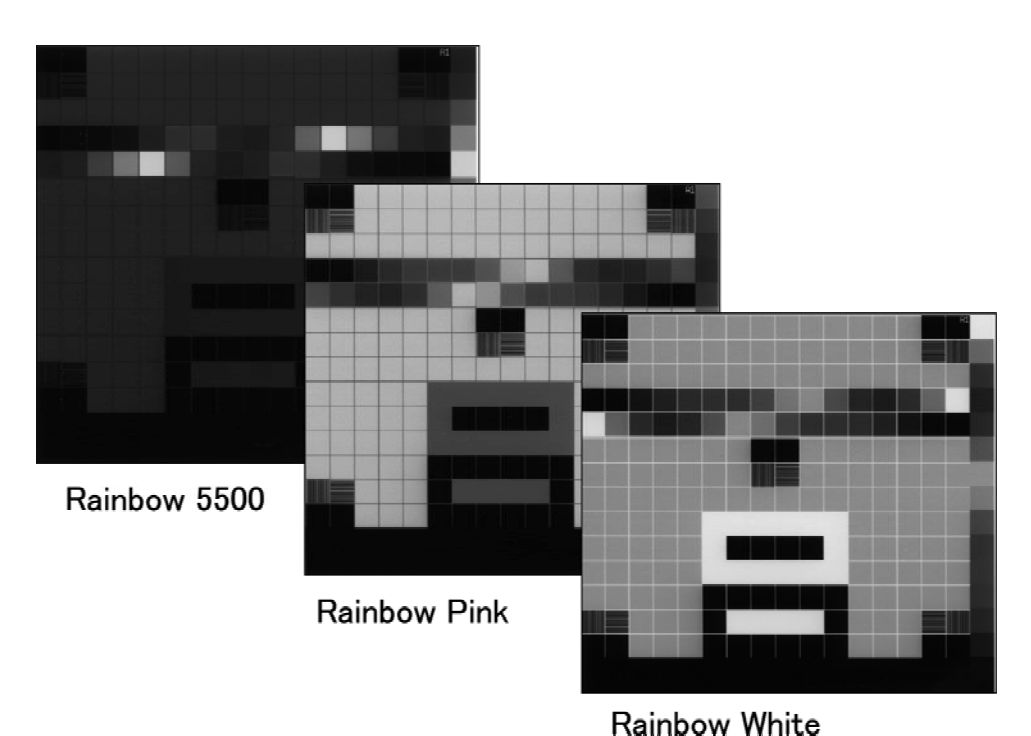


図5 16階調パターンによるカラーコード表示例 (SMPTE パターンを用いても調整可能)〈カラー掲載参照〉

れていることである. CRT モニターは R+G より Y, G+B より C, B+R より M そして R+G+B より白 (White) となるのに対して, プリントペーパーは C+M より B, M+Y より R, Y+C より G そして C+M+Y より黒 (Black) を表現する. すなわち, カラー表現が根本的に異なることにより, 完全な色調の一致は困難であると言える 5).

6-2. 白黒フィルム出力の調整

前項のように RGB に同一のカウント-階調特性 を持たせることで、白黒のグレイスケールとなる (図 2、カラー掲載参照). カラー表示では

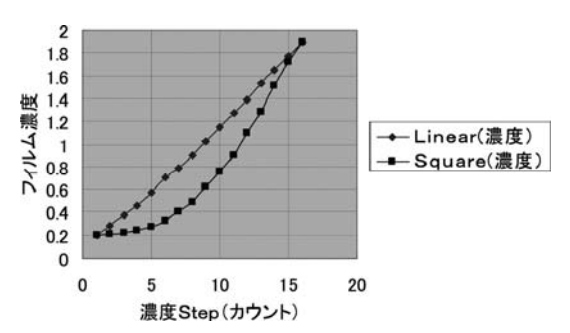


図 6 白黒フィルム階調曲線の参考例(最高濃度1. 9, カブリ濃度0.2, linear および square)

linear を推奨した. 白黒グレイ表示では、心筋・脳血流等の SPECT は下凸の square、骨・ガリウム等の SPECT は linear あるいは弱い目の下凸の square、骨・ガリウム等の全身スキャンは linear 表示が通常であるが 2 種類の階調で表示することが多く、その場合は上凸の log 階調を加えることもある. そして、骨・ガリウム等のスタチック画像は linear を推奨する¹⁾. また、最近のドライプリンターでは最高濃度は2.0前後に調整することが一般的である. 図 6 に階調曲線の参考例を示す.

例えば、図7に示したように、元画像は Gray-linear の lower level 0%-upper level 100% としたとき、バックの濃度がうるさく lower level を10%以上30%にまでカットして表現されることがあるが、これにより30%を下回るデータが欠落していることに注意を払うべきである。階調を square に変えることでデータを大きく欠落することなしに、バックをほどほどに抑えることができる。しかし、補正する square 曲線の程度により表現が微妙に変化することも念頭に入れておくべきである。

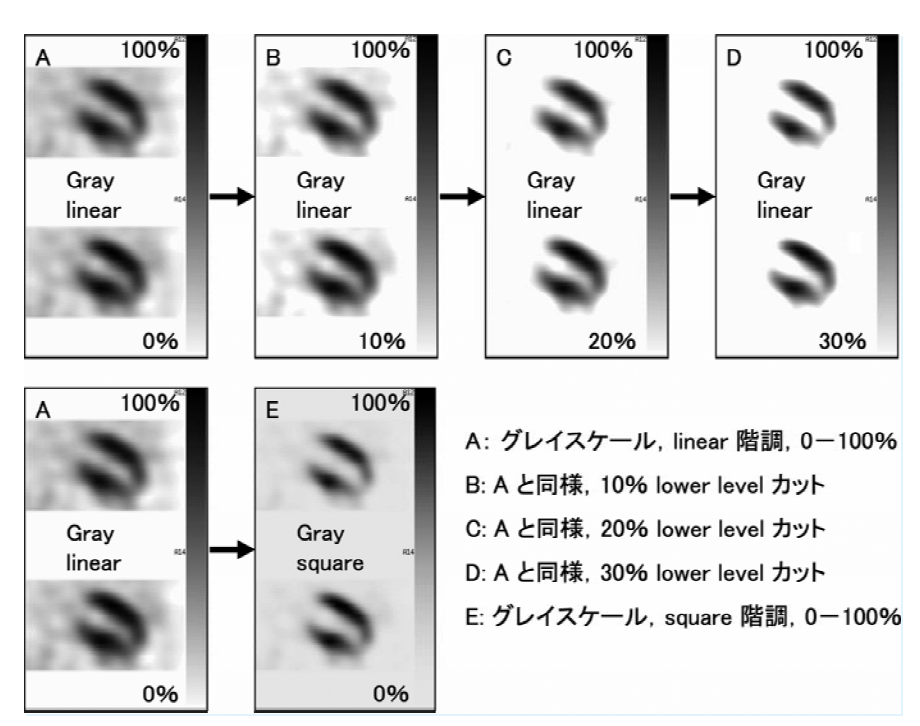
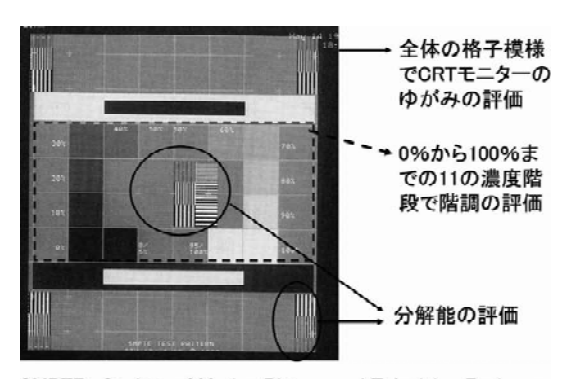


図 7 白黒フィルムにおける階調の違いと lower カットレベルの設定による画質の変化 (図 3 と同一症例: lower level を大きくカットするよりも square 階調を推奨)



SMPTE: Society of Motion Picture and Television Engineers 図8 SMPTE テストパターンの白黒表示 (linear, 0~100%表示)

ここで下凸の square 階調は一般的に二乗曲線であり、すなわち二次関数で近似できることになる. この square に近い表現として、メーカによっては exponential 階調やガンマ値 6 を 1.0 (linear) 以外の1.25, 1.5, 1.75, 2.0と変化させて様々な下凸の階調を採用する場合もある.

①「核医学機器メーカのワークステーションに て表示階調を変更または作成可能であり、フィル ミングに反映できる機種」を対象とした場合の調 整法 $^{2^{\sim}4)}$ を以下に列記する.

ステップ1

ワークステーションのモニター上に SMPET (Society of Motion Picture and Television Engineers) テストパターン (図 8) を, lower level 0%-upper level 100% にてカウントとビデオ 信号が直線になるような linear 階調にて白黒表示 する. モニター上はネガ表示(またはカラー表 示)でフィルムに出力するとポジとして表現され る方法(図9,左)は、従来プリンター側で階調 を作成する方法の主流であったが、出来上がった 画像をモニター画面と比較することができないの で、微妙な調整には不向きである. そこで、可能 であればモニター上にてインバース(白黒反転) のポジ表示(図9,右)とし、ポジ・ポジでの フィルム出力が最善である. また, 最近のモニ ター診断に対応するためにも、最終読影と同じ表 現をフィルミング時に採用するべきである.

ステップ2

ドライプリンター側の階調を linear として SMPTE パターンをフィルミングし, SMPTE パターンの出力フィルムの中心部11段の濃度を測定 し、横軸にカウントのステップ数,縦軸にフィル

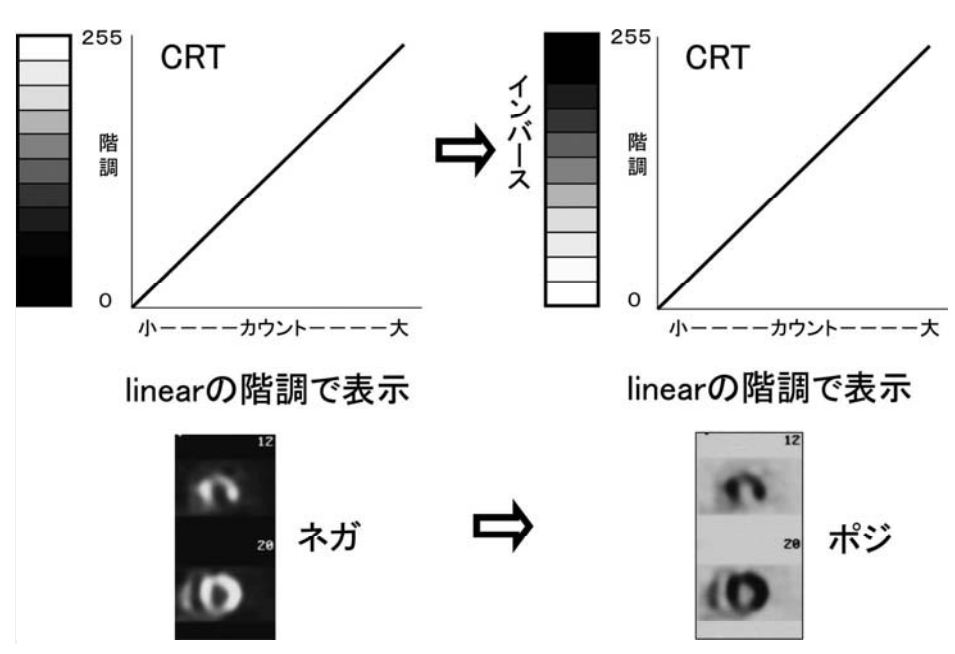


図 9 白黒フィルムの調整:ステップ1 (CRT モニター上はネガ表示, プリントすると反転 してポジになる方法では微調整が困難, モニター画像を反転表示してポジ―ポジにて出 力できるようにワークステーションにて設定)

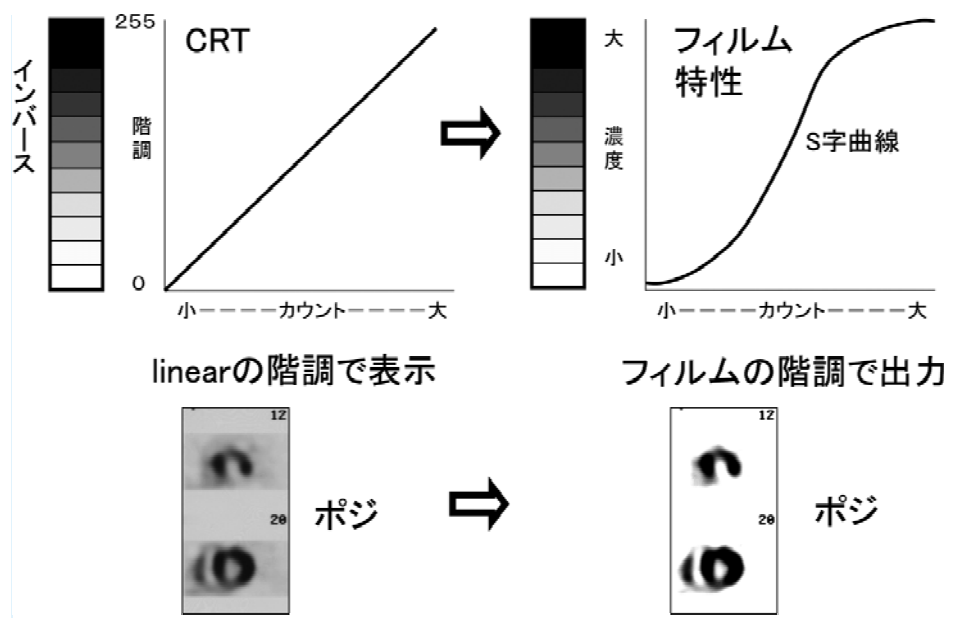


図10 白黒フィルムの調整:ステップ2 (フィルム濃度を測定して、フィルムの非線形S字特性、カブリ濃度および最高濃度を確認)

ム濃度 (Density) をプロットして、階調カーブの立ち上がり(カブリ濃度)と階調カーブのS字形状、最高濃度を確かめる(図10).

ステップ3

ドライプリンター側では、一般的な S 字カーブとなるフィルム特性を補正して linear 階調とする機能(複数の補正階調パターン)を備えているので、補正 linear 階調で出力するように設定する(Linearity の確立). SMPTE パターンの出力フィルムの中心部 11 段の濃度を測定し、直線的に変化していることを確認するとともに、最高濃度が2.0前後になるようにプリンター側で調整する. 横軸にステップ数、縦軸にフィルム濃度(Density)をプロットして確かめながら作業を進める(図11).

ステップ4

ワークステーションにて、linear 以外の階調を選択し、ドライプリンター側は補正 linear 階調で出力する. 出力フィルムの中心部11段の濃度を測定し、モニター上の階調が同じようにフィルム濃度に反映されていることを確認する (図12). (下凸の階調は、東芝 GMS にて square を選択、あるいは e-soft のフレキシブルディスプレイにてガンマ値を1.0以外の1.25、1.5、1.75、2.0と変化す

れば様々な下凸の階調表示が可能,その他島津 Odyssey,日立 Pegasys, GE Xeleris のワークス テーションでも下凸の階調で表示しそのままフィ ルミングが可能)

ステップ5

最後に、脳血流または心筋 SPECT の再構成後の臨床画像を square 表示して、プリンター側で Linearity を確立した補正階調にてフィルミング する. モニターに表現された階調がフィルムに反映されていることを確認する (square 出力の完成). 同様に骨全身スキャン画像を linear 表示して、フィルミングしモニターに表現された階調がフィルムに反映されていることを確認する (linear 出力の完成). また、最高濃度の微妙な調整は、モニター上の upper level を変化することでフィルム濃度に反映される. たとえば100%→120%と大きくすることで最高濃度は低下、100%→90%と小さくすることで最高濃度は上昇する (図13).

②「ワークステーション上で表示階調を変更することができない機種、変更できてもフィルミングに反映できない機種 (GE eNTEGRA 以前のワークステーション等) および①の方法で実施し

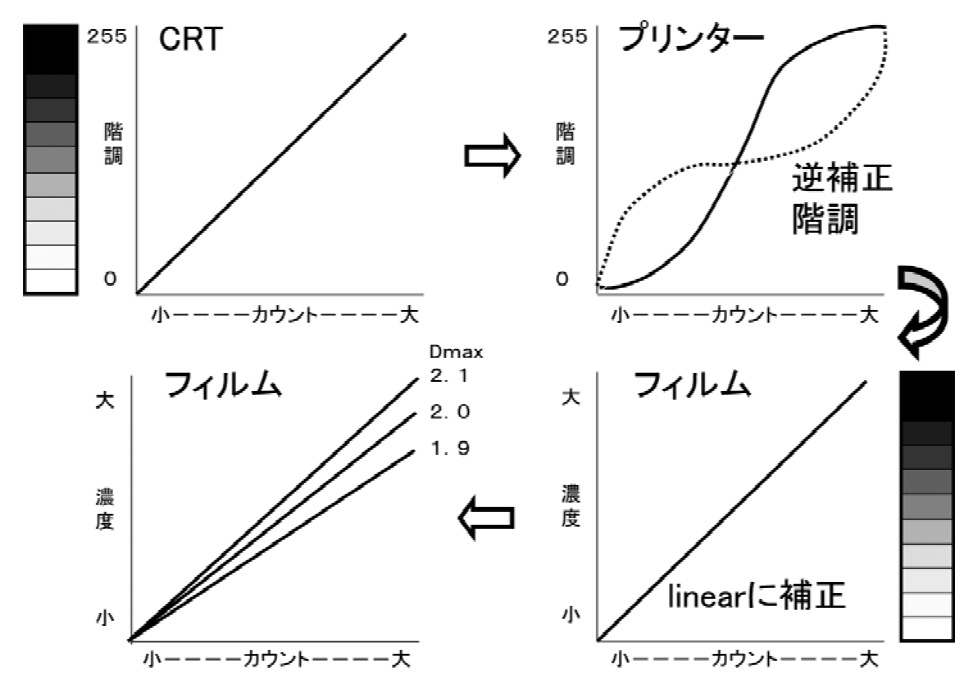


図11 白黒フィルムの調整:ステップ3 (プリンター側で逆補正階調パターンを作成しフィルム上で linear を確立、最高濃度も設定)

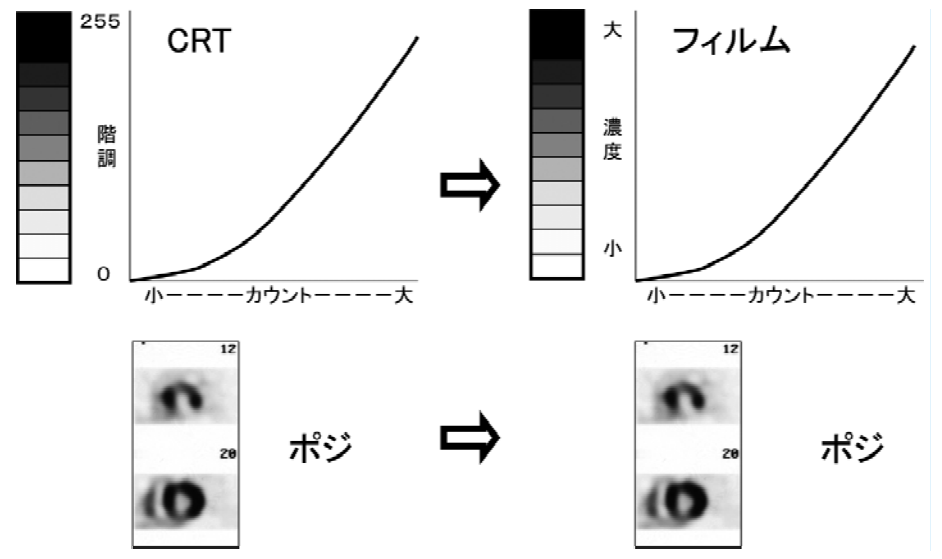


図12 白黒フィルムの調整: ステップ 4 (CRT モニター上の square 階調がフィルム上でも同じように表現されていることを確認)

たが満足が得られない機種」、概して古いガンマカメラが対象となる.

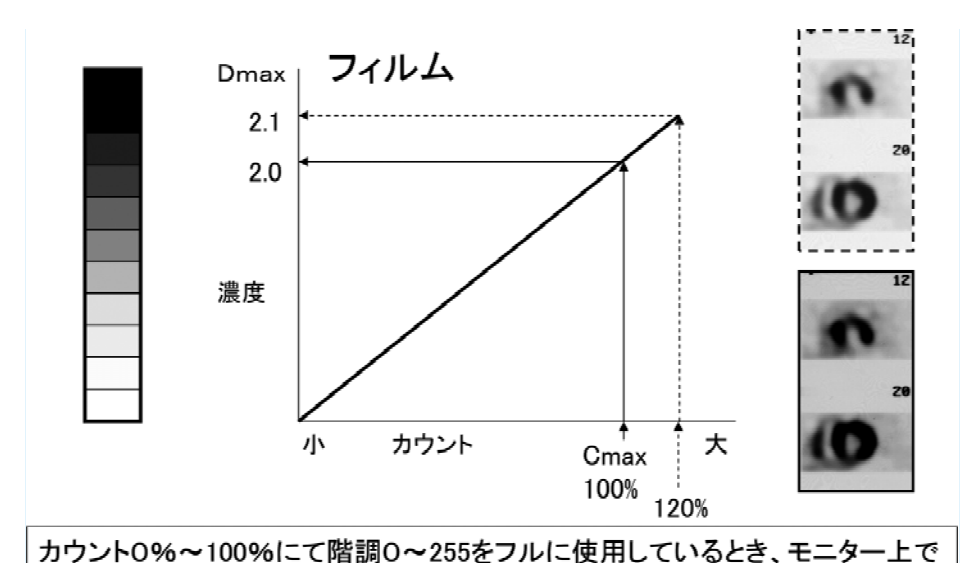
ステップ1

ワークステーションのモニター上に SMPET パターンを, lower level 0%-upper level 100% にて

カウントとビデオ信号が直線になるようなlinear 階調にて、白黒表示する. 可能であればポジーポジの出力が望まれる.

ステップ 2

ドライプリンター側の階調を linear として



最高カウント表示を例えば120%にすると、最高濃度を下げることができる。

図13 白黒フィルムの調整:ステップ 5 (フィルムの最高濃度の微調整はモニターの upper level 表示を変更することで可能)

SMPTE パターンをフィルミングし、SMPTE パターンの出力フィルムの中心部11段の濃度を測定し、横軸にステップ数、縦軸にフィルム濃度 (Density)をプロットして、階調カーブの立ち上がり(カブリ濃度)と階調カーブの形状、最高濃度を確かめる。

ステップ3

ドライプリンター側で linear 階調と下凸の square 階調を作成してもらい, SMPTE パターン の出力フィルムの中心部11段の濃度を測定し, フィルム上でも適切に linear および square 階調になっていることを確認するとともに, 最高濃度が2.0前後になるようにプリンター側で調整する. 横軸にステップ数, 縦軸にフィルム濃度 (Density) をプロットして確かめながら作業を進める. ステップ 4

最後に、脳血流または心筋 SPECT の再構成後の臨床画像をフィルミングして、期待する階調になっているかを確認する (square 出力の完成). 同様に骨全身スキャン画像を linear 表示して、フィルミングしモニターに表現された階調がフィルムに反映されていることを確認する (linear 出力の完成). 作成する階調カーブと最高濃度を微調整して、満足が得られるまで作業を繰り返す.

また②の方法では square と linear を別の LUT としてプリンター側に登録する必要がある.

この白黒フィルムの調整の項は、2005年5月に 実施したプリンターメーカ対象のアンケート調査 の回答結果をもとに記載した. 回答結果は第25回 仙台総会にて展示発表すると同時に、ワーキング グループ報告として柳沢委員が口述発表を行っ た. その回答結果の中で注目すべき項目として質 間 2-1, 2, 3, 4より抜粋する.

「出力画像調整の基準と問題点は?」に対する 回答例

- ◆核医学診断装置ワークステーションがどのよう なカーブで送ってくるか確認するために、ワー クステーションから SMPTE パターンを送信 し、イメージャーは原則 linear で受信、その濃 度を測定し階調を確認する.
- ◆核医学用の LUT を各機種数種類所有してお り、モダリティメーカと濃度調整を共同作業で 行っている.
- ◆核医学特有の低濃度部の表現に苦労する.
- ◆メーカ間で統一した調整基準はない.
- ◆最終的には担当の先生および技師さんの意見に 従って調整している.

「出力画像調整の実際は?」に対する回答例 『①ワークステーションモニターの階調とフィルムの階調の Linearity を確立する補正階調をプリンター側で作成し、モニターの階調を忠実にフィルムに表現すべきか? ②ワークステーションモニターの階調とは無関係にプリンター側で階調を作成し調整すべきか?』

の問いに対する回答は、基本的にはすべてのメーカが①を支持した。その理由は、モニターに表現された画像階調をプリンターは忠実に表現すべきである。これはモニター診断に移行しつつある現状にも合致する。しかし、モニターの劣化、フィルムの非直線性、根本的な黒化度表現の違い等、困難さはつきまとう。

すべての回答および関連資料は学会 HP に掲載 されている.対象メーカを以下に掲載するととも に,回答をいただいた関係者各位に感謝申し上げ る.

日本アグフア・ゲバルト(㈱マーケティンググループ 大原 幸裕氏,ケアストリームヘルス(㈱サービス本部 伊藤 淳氏 (旧:日本コダック(㈱ヘルスイメージング事業部技術センター),コニカミノルタエムジー(㈱営業本部メディカルイメージング営業部 猪飼 仁氏,富士フイルムメディカル(㈱営業本部営業技術部 正寺 強氏

6-3. まとめ

カラー出力の調整は、最初にどのカラースケールを採用するかを慎重に決定することから始めるべきである。脳血流 SPECT や心筋血流 SPECT では、一般的に欠損領域の描出が読影する医師や依頼科医師の診断基準に合致しているかを最優先すべきである。たとえば、心筋 Polar Map 表示においてカラースケールを変更するだけで、その診断は大きく変化する(図14、カラー掲載参照).

この章で記載したカラー表現の注意点を認識することと、診断医への充分な説明が必須である.カラースケールが決定すれば、モニター上の色調表現がそのままフィルムに描出されるように、メーカと協力して作業にあたる.プリント形式やフィルム、ペーパー等の材質により、満足を得られないケースもあるが、粘り強く挑戦する必要がある.

白黒フィルム調整にこの章の多くを割いた.本

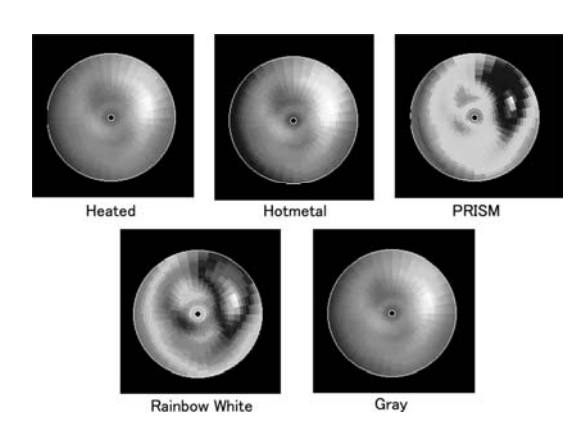


図14. カラースケールの種類による Polar Map の表 現の違い〈カラー掲載参照〉

文およびメーカ回答において記載したように, フィルムは一般的に非直線性を有しており、素直 にプリントしても直線性は得られない. モニター でのカウントとビデオ信号の関係が直線性を有し ていても、プリンター側でフィルムの非直線性を 補正する階調を設定しなければ、フィルム上のカ ウントと濃度の関係は直線性を示さない^{2 4)}. ま た,最近のモニター診断の発展により,モニター 表示画像を SC 画像として PACS に配信する際に も,モニター画像のクオリティが重要であり,表 示時点で表現が完成 (square 階調やカットレベル の決定)しているべきである.この完成した表現 がそのままフィルム出力されることが最善であ る. モニターとフィルムの Linearity を確立する 作業は、大変な労力と時間を必要とするが、プリ ンターメーカと機器メーカの協力を得て,技師自 らが実践すべき課題である. 読影医師あるいは依 頼科医師の好みの違いも、 最終決定に大きく影響 するかも知れないが、この章で記載した提言をも とに、出力の基準化を推進すべく、技術的な説明 やコンセンサスを得る努力を惜しまず実践される ことを期待する.

(仁井田)

参考文献(出力のポイント編)

- 1) 日本アイソトープ協会医学・薬学部会核医学イメージング規格化専門委員会:ガンマカメラによるディジタル画像の表示・記録に関する指針. Radioisotops, 43(1):34-40,1994
- 2) 水川勝海:デジタルシンチグラムの表示法について ーシンチグラムの画質標準化一. 核医学画像診断,

2(1): 41-43, 1987

- 3) 楠岡英雄, 西村恒彦 監修: 核医学イメージング. 日本エム・イー学会編, コロナ社, 109-112, 2001
- 4) 大屋信義:図解 診療放射線技術実践ガイド 第2版. 文光堂,695-699,2006
- 5) 磯 博:ディジタル画像処理入門. 産能大学出版, 色の基礎, 37-47, 1996
- 6) 高木幹雄,下田陽久 監修:新版 画像解析ハンド ブック.東京大学出版会,画質,61-80,2004

7. おわりに

5年にわたり活動を行ってきた定量化・基準化 WG も2008年3月で終了するにあたり、それなりの成果をあげることができた.活動内容についてはこれまで述べられているように、アンケート調査による現状認識から始まり、機器メーカやプリンターメーカの実態調査、基準画像の作成と多岐にわたった.最終的には本報告書にあるように、脳血流 SPECT、心筋 SPECT、骨シンチグラフィおよびガリウムシンチグラフィに分けて基準画像と、それを得るためのチェックポイントを提示した.

この定量化・基準化 WG 発足のきっかけは、 多くの施設が自分の画像は良いのか悪いのか分か らずに検査していたことに始まる. 自施設が最も 良いと思いながら検査しているところが、数多く 存在していた. そう考えること自体は悪くはない が、周りを知らずに自己判断のみでベストといえ るかは疑問である. 現に、大学病院等で研修した 医師が地元の病院で核医学検査をしたとき, 研修 時とあまりにも異なった画像を見て、愕然とした という話しをよく耳にすることがあった. また, 同じ病院でも撮影する技師によって画像が異なる ため、診断基準を変えなければならないから何と かして欲しいとの声も寄せられていた. 施設で読 影される基準がまちまちであり、それが技師の撮 影にも反映されていたのである. このように言え ば、それを診断していた医師に問題あるようだ が、その本質は技師独自の誤った職人気質であ り、施設間で全くコミュニケーションをとらずに 検査していた結果が招いたものである.

元来,職人気質とは自己の技術的なプライドであり,職業に対する明確な自負を指すものである.しかし,この誤った職人気質というのは,

「自分は撮ってさえいればよい」「言われた通りにさえしていればよい」という、本来と全く違った意味に摩り替わってしまった.そのため、自施設の写真しか知らないのにそれがベストだという思い込みを促し、核医学画像は元々悪いから多少ボケていても分からないだろう、という考え方が現実に現れた.このようなことが広がる中、それまで撮影や処理について統一規格をもたず放置していた学会に問題があったのも事実である.しかし、そこにようやく本学会が気づいて、この定量化・基準化 WG が発足したのである.

この活動を通じてこれまで得られた情報は、学 会誌やホームページで発信をしてきた. 本最終報 告が発表された以上、上記のような誤った職人気 質や甘えは許されない. それはなぜか. EBM の 時代だからである. Evidence に基づいた画像が 必要であり、今回示した画像が技術系の学術団体 で提示する初めての Evidence 画像であるからで ある. これは臨床に則した画像であり、多くの関 係者が討議した結果、現状における参考にできる 最も価値のある画像である. また, これまで公表 した画像以外の情報においても, 臨床現場では非 常に有用で、皆が共有すべきものとして大きな意 義を持っている. そのため, 定量化・基準化 WG としてはこれらの情報収集が目的ではなく、どれ だけの多くの会員にこの情報を利用していただけ たのかが、本来の意図するところである. 是非と も掲載しているチェックポイントを参照して, 自 施設の画像をもう一度見直していただきたい. そ して、最低限提示している画像に近づけていただ くことを強く要望したい.

一方,現在,核医学施設は国内で1,300施設ほどあるが,本学会や放射線技術学会に所属していない施設が1/3から約半数は存在する.ここでの問題は,このような情報を全く知らない,また受け取ろうとしない施設である.核医学検査をしている以上,当然ながら画像診断を行っているはずである.しかし,その施設独自の画像はもはや許される状況ではない.会員の方で,学術団体にどこにも所属していない病院をご存知なら,この報告書のコピーを是非とも渡していただきたい(いずれ本学会 HP に掲載予定).また,機器メーカやプリンターメーカにしても,各施設への説明

時には自社の基準ではなく、今回の提示した画像 基準や情報を基にコンサルトすることをお願いし たい. そうすることにより、我が国の核医学技術 のレベルを底上げし、牽いては核医学マーケット の拡大につながってくる.

標準化としての WG は今回でピリオドを打つことになるが、標準化・基準化がこれで終わりということではない. 現在、核医学会、放射線技術学会と我々の3団体共同でデジタルファントムを作成中である. このファントムは画像処理や表示の統一に大きく寄与できるものであり、現在よりもっと具体的に標準化が可能になるツールである. 今回の報告書を参考に、是非ともこのデジタルファントムを使って自施設の画像を検証していただきたい. そういう意味で、定量化・基準化

WG は発展的解消であり、次の段階に移行してきたことを示している。会員諸氏が、今後も本学会で発信する情報を絶えず確認し、有効に利用することで、自らステップアップしていくことに期待したい。それが手弁当ながら関わった者の最大の造り甲斐であり、また大きな喜びに違いはないのであるから……

最後に多くのアンケートに回答いただいた会員 諸氏始め、機器メーカおよびプリンターメーカの 担当者に厚く御礼申し上げます。また、定量化・ 基準化 WG の活動に大きな理解を示していただ いた福喜多学会長ならびに理事会執行部に感謝の 意を表します。

(片渕)

臨床に役立つ基準画像の収集・処理・表示・出力のポイント(増田、長木、川渕、他)

基準画像を作成するためのチェックポイント

本文 2 章から 6 章の記載内容をもとに、チェックポイントとしてまとめた。また、本文の参考項目を利用して、本文に立ち返り理解を深められることを希望する。

(林,柳沢,仁井田)

脳血流 SPECT 編:

収集	チェックポイント	本文参照項目
• 核種の選択	スループット,定量法,コリメータ等により IMP と HMPAO または ECD を選択,高血流直線性は IMP が優位	2-3(1)
• 投与量	IMP: 111 ~ 222 MBq, DIAMOX 負荷安静はそれぞれ 111 MBq, HMPAO: 740 MBq, ECD: 600~800 MBq, DIAMOX 負荷安静はそれぞれ半量ずつ	
• 投与時の状態	安静閉眼にて投与が一般的	2-3(8)
• 投与後収集開始時間	IMP: 20分後,HMPAO,ECD: 5分後	2-3(1)
• 前処置	特に無し	
• エネルギーウインド ウ	$^{99\text{m}}$ Tc: $140 \text{ keV} \pm 10\%$, TEW 法では下に 7% サブウィンドウ設定が一般的である. 123 I: $159 \text{ keV} \pm 10\%$, TEW 法では上下に 7% サブウィンドウ設定またはメインの幅24%, サブ 3% の場合もある.	2-3(3), 表 3
• 検出器数	多検出器装置が有利、画像のクオリティは3検出器>2検出器であるが 投与量、ピクセルサイズ、コリメータ、回転半径等により変化する.	
• 検出器の配置と収集 角度	3 検出器: 三角形に配置し各検出器は120度分の収集を行う. 2 検出器: 対向に配置し各検出器は180度分の収集を行う.	
• コリメータ	99mTc: LEHR 相当のファンビームまたはパラレルを推奨する. ¹²³ I: 159 keV のメインピークの他に 529 keV にもピークがあるため下方散乱(ダウンスキャタリング)の影響も考慮する. 5%貫通エネルギーを参照し感度と分解能のバランスを考慮してコリメータを選択する.	2-1, 表 1, 2-3(4), 図 9
ピクセルサイズ (マトリクスサイズ と拡大率)	ピクセルサイズ=基準視野/マトリクス/収集拡大率,例えば基準視野 614.4mm ,マトリクス 128×128 ,収集拡大率 $1.45 \text{倍 } \alpha \text{ら} \text{ば}$, $614.4/128/1.45=3.31 \text{mm} \text{となる}$.システム分解能が $10 \text{mm} \alpha \text{ら} \text{ば} \text{ピクセルサイズは} 1/2から1/3が妥当である.$	2-3(5)
サンプリング方向数	頭部の直径を 160 mm とするとピクセルサイズ 3.4 mm 以上は 72 方向 $(5 \mathrm{g})$, 3.3 mm 以下では 90 方向 $(4 \mathrm{g})$ が適当である. ピクセルサイズにあったサンプリング方向数を選択する. 2 検出器カメラで 123 I の収集を行う場合は、 72 方向(5 度)で收集を行い統計ノイズの軽減を図る.	2-3(5),図1~ 4
• 収集時間	HMPAO, ECD: 15分~20分程度, IMP: 25分~30分程度, 投与量と検出 器数やコリメータ感度により適宜変更する.	図1~4
・収集モード	ステップ収集または連続反復回転収集,例えば後者にて 1 ローテーション 5 分× 4 回= 20 分または 5 分× 5 回= 25 分程度が推奨されるが,検出器が移動しながら 1 方向分の角度間のデータを加算するので,サンプリングは 4 度以下を推奨する。 3 検出器では 1 ローテーション 2.5 分程度で実施することもある. IMP では脳内分布が時間とともに変化するので後者を推奨する.	2-3(2)
• 回転半径と軌道	回転半径は 140 mm 以下になるような円軌道が望ましい. テストスキャンを行いできるだけ近接撮影をする.	2-3(6), 図10
• 収集カウントの基準	プロジェクションデータの正面の脳に関心領域 (ROI) を設定して投影カウントを測定する. 1 ピクセルあたり100カウント程度を目標に収集時間を設定することが望ましい.	2-3(7)
再 構 成	チェックポイント	本文参照項目
• 体動補正	頭部の X 方向および X 方向へのステップ間の平行移動には有効であるが, 頭部が軸回転(顔の向きを変える)した場合は補正不可能である.充分 な固定と説明がまずは肝心である.	2-4(4)
●散乱補正	一般的には TEW 等のマルチウインドウ法を用いる. 散乱補正により画像のコントラストが上昇するとともに, 脳血流の直線性がよくなり定量精度が向上する. 散乱補正を実施する場合は必ず減弱補正も行う.	2-3(3), 表 3, 2-4(2), 図14, 15
• 前処理フィルタ	Butterworth を用いる. 最適カットオフ周波数は収集カウントに依存する. カットオフ周波数を変えた複数枚の画像を視覚的にコントラストや均一性の評価を行い、最も良いと思われる画像が選択される. NMSE 等の物理的評価を行うこともある.	2-4(1), 表 4, 図11~13
• FBP/OSEM (イタレーション, サブセット)	一般的に頭部に関しては FBP 法で問題ないとする. 減弱補正を OSEM にて行う場合は、サブセットごとに10投影データを組としてイタレーションは5回が目安である. 例えば90投影ならサブセット9, イタレーション5となる. 欠損部の収束が不完全となることもあり、定量測定時には注意が必要である.	2-4(4)

減弱補正 (輪郭・μ値)	一般的には Chang 法が用いられる. 線減弱係数は散乱補正を行った場合 (IMP \leq 0. 146, Tc 製剤 \leq 0. 153) と散乱補正が行われていない場合 (IMP: 0. 07前後, Tc 製剤: 0. 09前後) で異なり,各施設の収集・処理条件に応じて,適切な値を設定する. また,輪郭抽出は各スライスごとに,頭蓋骨を含めた範囲で設定する.	2-4(3), 図16, 17
表 示	チェックポイント	本文参照項目
●階調	白黒画像は square (下凸の二乗曲線階調), カラー画像は linear (直線階調) を推奨する.	
● 白黒画像	ポジ画像にて表示する. square (下凸の二乗曲線階調) では upper, lower は100%-0%で表示する.	
カラー画像	患者個人の最高カウントから最低カウントまで脳血流の相対値を色彩を変化させて表現している。臨床では脳血流が高い部位より、低下している部位の評価が必要な場合が多いため、カラーコードは中間血流域を明確に表現できることが求められる。カラーコードの選択により評価は大きく変化することを認識すべし、linear(直線階調)にてupper、lowerは100%-0%で表示する。	2-5, 図18
• 拡大率	診断モニターの表示レイアウト,フィルムのサイズ,カラーペーパーのサイズ等により認識可能な1コマの大きさを決める.	
• 表示スライス厚	脳血流 SPECT 画像としては 5 mm 前後のスライス厚を推奨する.	

心筋 SPECT 編:

収 集	チェックポイント	本文参照項目
核種の選択	心筋血流は Tl または Tc 製剤,Gated-SPECT には Tc 製剤が有利,脂肪酸代謝は BMIPP,交感神経機能は MIBG をそれぞれ使用する. ¹²³ I製剤はコリメータの選択にも注意が必要である.	3-2
• 投与量	Tl:111 MBq 以上を推奨する. Tc 製剤:安静296~740 MBq,負荷+安静または安静+負荷(1日法)では2回目投与量は1回目の2.5倍以上を推奨,トータルで1110 MBq を上限としたい. BMIPP,MIBG:111 MBqを推奨する. いずれも小児では適宜調整する.	3-2
• 投与後収集開始時間	TI 安静:洗い出しの少ない投与 10 分以降, TI 負荷再分布:投与 10 分後と $3\sim4$ 時間後, Tc 製剤:一般的には投与 $30\sim60$ 分後, BMIPP:投与 $15\sim30$ 分後と場合により $3\sim4$ 時間後, MIBG: $15\sim30$ 分後と $3\sim4$ 時間後	3-2
• 負荷方法 (運動/薬物)	充分な運動負荷が困難な場合は薬物が有効. 薬物投与法と RI 投与タイミングを守る.	
• 前処置	TI の場合は検査前4時間程度から検査終了時まで少々の水分の摂取以外は絶食とする. Tc 製剤の場合は、絶食をしない場合もしくは、検査前絶食とし投与後に食事を摂取する場合に施設により分かれる. BMIPP は絶食が必要、MIBG はその他の投与薬剤に注意する.	3-2
• 患者の体型・性別	患者の体型や性別(男性の場合,大胸筋,女性の場合の乳房,等)により散乱・減弱の程度は異なる.	
• 体動・upward creep	運動負荷後の upward creep は10~15分待って呼吸や心拍が安静時に戻ることを確認する. 体動防止にベルトで固定や両腕挙上にて安静を保てる適切な補助具を使用する.	3-2
• エネルギーウィンド ウ	$Tl:71$ keV $\pm 10\%\sim 15\%$ が一般的で 167 keV $\pm 10\%$ を加算することもある, $Tc:140$ keV $\pm 10\%$ が一般的, $I:159$ keV $\pm 10\%$ が一般的である.	3-2, 表1
• 検出器数	多検出器装置が有利、1検出器は収集範囲は180度に限定される.	3-1
• 検出器の配置	3 検出器は三角形に配置, 2 検出器は対向または L 型 90 度,また狭角 76 度の配置が選べる装置もある.	3-1
• 収集範囲 (180度/360度/207 度)	360度収集は下壁や後壁の歪が少なく安定していて心尖部から心基部までのカウント変化が少ない. 180度収集は特に前壁のコントラストが高く空間分解能が良い.	3-1, 図 2 ~ 4
・コリメータ	Tc, Tl とも一般的に LEHR または LEGP コリメータが用いられるが,特に Tl の場合,短時間収集や,ゲート収集の際,カウントが不足する場合は LEGP コリメータを用いる. 1 製剤では $159~\rm keV$ のメインピークの他に $529~\rm keV$ にもピークがあるため下方散乱(ダウンスキャタリング)の影響も考慮する. $5~\rm \% \ \beta \ \ \beta \ \ \ \ \ \ \ \ \ \ \ \ \ \$	3-1
ピクセルサイズ (マトリクスサイズ と拡大率)	ピクセルサイズ=基準視野/マトリクス/収集拡大率, サンプリング定理よりピクセルサイズが $5\sim7~\mathrm{mm}$, サンプリング角度が $5\sim6$ 度が適当	3-2, 表1, 2
サンプリング方向数	サンプル角度が5度で72方向、6度で60方向が一般的である.	3-2
• 収集時間	1方向あたりの収集時間が20~40秒の範囲に設定するのが一般的であるが、投与量や体型にも依存する. TIの後期像は洗い出しによるカウント低下の影響も考慮する. また、スループットによる制限や検出器数、検出器の配置、収集範囲等により総収集時間は変化する.	3-2, 表 1

臨床に役立つ基準画像の収集・処理・表示・出力のポイント(増田、長木、川渕、他)

• 収集モード	連続回転収集では総収集時間の短縮,体動等によるアーチファクトの軽減,等のメリットがある.心電図同期の場合は装置側でステップ収集のみに制限される.	
• 回転半径	標準的な体型の患者では、回転半径を 200~250 mm に近接する.	3-3
• 円軌道/近接軌道	近接軌道ではコントラストは上昇するがアーチファクトの要因となるので、極端な楕円軌道になることは避ける.180度再構成の場合は極端な近接軌道により、いわゆる11時方向の偽欠損を呈することがある.	
• R-R 分割数	T1 では原則8分割で行う. Tc 製剤では16分割まで可能との考えがある.	3-2, 表 1
• 許容範囲	Gated-SPECT 収集前に数十心拍をモニタリングしてヒストグラムの裾野が欠けないようにウィンドウを設定.	
• 収集カウントの基準	プロジェクションデータの LAO 45度の心筋部に関心領域 (ROI) を設定して心筋投影カウントを測定する. 1 ピクセルあたり100カウント以上になるように収集時間を設定することが望ましい.	3-3, 図5,6
再 構 成	チェックポイント	本文参照項目
• 体動補正	upward creep や体動の影響を受けやすく、体動がある場合は SPECT 画像に主に欠損として表れる、補正ソフトがある場合には活用を試みる、しかし、患者が回転した場合、1方向の収集中に大きな咳や呼吸をした場合は補正できない、あくまでも投影方向データごとの X、 X 方向の補正ができる程度と考える。	3-5, 図8
• 散乱補正	TEW 法がよく用いられるが、心内腔と心筋のコントラストは改善するが、下壁はより低値に補正される。カウントが $3\sim4$ 割低下することも認識する。	3-4
• 前処理フィルタ	Butterworth は、カットオフ周波数が高いほど分解能はよいがノイズが多く、カットオフ周波数が低いほど分解能が低く滑らかな画像となる. 臨床データで視覚的に評価することが重要である.	3-4, 図7
• FBP/OSEM (イタレーション, サブセット)	FBP が一般的であるが、Tc 製剤の心筋外高集積によるストリークアーチファクトを軽減する目的で OSEM を用いることがある. X線 CT より減弱補正を OSEM にて行う場合もある. サブセットごとに10投影データを組としてイタレーションは5回が目安である. 例えば60投影ならサブセット6、イタレーション5となる. データ更新回数(サブセット数×イタレーション回数)が少ないと欠損部の収束が不完全となることもある.	3-4
• 減弱補正	均一吸収体を仮定した減弱補正(Chang 法等)は、胸部が肺、脊椎、心臓、乳房など不均一吸収体で構成されているため正確な補正ができない、 X線 CT 等により減弱マップが作成できれば OSEM に組み込んで処理が 可能であるが、同時に散乱補正は必須である.	3-4
● 断面変換	心筋の中心スライスを選択し、心尖部を通り側壁と中隔の中間、前壁と 後壁の中間を結ぶ。	図12
表 示	チェックポイント	本文参照項目
カウントのノーマラ イズ	心筋部の最高カウントが100%に表示されていることを確認する. 心筋外の高集積があればカウントトランケーション処理を行う. これが不可能な場合は, 心筋部に100%が来るまで upper level を下げる.	3-7
• カットレベル	upper が $100\sim110\%$, lower が $10\sim20\%$ 程度に設定するのが一般的であるが,散乱補正を行った場合にはlower は 0% , 右室が見える濃度に設定する。3断面の心筋部の最高カウントが一致するように注意する.	3-6
● 階調	白黒画像は square (下凸の二乗曲線階調), カラー画像は linear (直線階調) を推奨する. 虚血や viability の評価が正確に行えること, また右室 やバックグランドも心機能の情報として重要である.	3-6, 図 9~11
• 白黒画像	ポジ画像にて表示する. square (下凸の二乗曲線階調) を推奨する. 極端な lower カットは避ける.	図 9 ∼11
カラー画像	カラーコードの選択により評価は大きく変化することを認識すべし. linear (直線階調) にて極端な lower カットは避ける. 心筋の最高カウント部が白やビンクに表示されるコードが診断にはベター.	3-6
● 拡大率	診断モニターの表示レイアウト、フィルムのサイズ、カラーペーパーの サイズ等により認識可能な1コマの大きさを決める.	
• 表示スライス厚	Vertical long axis が中隔から側壁側, Short axis が心基部から心尖部, Horizontal long axis が下壁から前壁へ, 1 スライス 5~7 mm で全体を 9~16分割で画像表示する.	3-7
・レイアウト	負荷と安静の Short axis, Horizontal long axis, Vertical long axis を同じスライスが並ぶようにする. また, 2段にレイアウトして見やすくするなどの工夫が必要である.	3-7

骨シンチグラフィ編:

収集	チェックポイント	本文参照項目
校 来核種	99mTc-HMDP, 99mTc-MDP	4-2
投煙投与量	740 MBq が一般的,小児は適宜減量する.	4-2
	3時間が一般的であるが、クリアランスの違いにより HMDP は 2 時間と	
• 投与後収集開始時間	することも可能	4-2
前処置	検査直前排尿,投与後水分を多く摂取するように指導	4-2
・コリメータ	分解能重視の LEHR を推奨	4-1
• エネルギーウインド ウ	$140 \text{ keV} \pm 10\%$	4-1
全身スキャン	チェックポイント	本文参照項目
• ポジショニング	左右対称が原則、視野からはみ出さないこと、体動がないように適宜ベルトで固定する.	4-3(1)
•マトリクスサイズ	256×1024	4-3(1), 表 1
スキャン速度	15 cm/min 以下を推奨	4-3(1), 表 1
患者コリメータ間距離	最近接	4-3(1), 図3
スタチック	チェックポイント	本文参照項目
• ポジショニング	全身スキャンにてスタチックが必要な部位を予測する. 構造物の重なりを外すことが目的であり、全身スキャンと同じ前後面を追加するよりも胸部肋骨胸骨は斜位が有効、頭部は側面が有効である. また、上肢や下肢の微細構造物の拡大収集も有効である.	4-4(1)
マトリクスサイズと 拡大率	256×256または512×512, 1.0~1.5倍程度に適宜調整	4-4(1)
• 収集カウント	256では 500 kcounts, 512では 1000 kcounts を目安としてタイマーで制御する.	4-4(1)
SPECT	チェックポイント	本文参照項目
• ポジショニング	全身スキャンにて SPECT が必要な部位を予測する. 有効部位は頭部, 胸部, 骨盤である. 体動がないように適宜ベルトで固定する.	4-5(1), 図 2
マトリクスサイズと 拡大率	128×128, 1.0倍	表 1 , 4-5(1)
サンプリング方向数	60	表 1 , 4-5(1)
• 収集時間	10 sec/step 以上	表 1, 4-5(1)
・収集モード	連続回転	表 1, 4-5(1)
• 体位	腕が視野に入る場合は挙上	
• 回転半径	できるだけ近接 (20~25 cm)	4-5(1)
• 円軌道/近接軌道	近接軌道	4-5(1)
再 構 成	チェックポイント	本文参照項目
• 体動補正	一般的ではない	
• 散乱補正	なし	4-5(1)
● 前処理フィルタ	Butterworth, 装置, コリメータ, 投与量, 収集時間によりカットオフ周 波数は変化するので検討が必要	4-5(2)
FBP/OSEM (イタレーション, サブセット)	可能なら OSEM を推奨する. 60 方向の場合イタレーション $5\sim6$, サブセット 6 程度を推奨する.	4-5(2), 図8
• 減弱補正	なし	4-5(1)
表示	チェックポイント	本文参照項目
• カットレベル	全身スキャンはトランケーション処理を行い upper 100% , lower 0% が一般的である. スタチックや SPECT は upper 100% , lower $0\sim10\%$ が一般的である.	4-3(2)(3), 4-4(2)(3), 4-5(3), 図 4
●階調	全身スキャンは直線階調が基準で、濃度を変化させたり階調を変化させたりした2画像にて表示する. スタチックは直線階調、SPECT は直線またはわずかに二乗曲線となった階調が一般的である.	$4-3(3), 4-4(3), 4-5(3), \boxtimes 1, 2, 5, 6, 7$
• カラー表示	一般的ではない.	
• 拡大率	モニターやフィルムのサイズにより適宜調整する.	
• 表示スライス厚	元の SPECT の1スライス (5 mm 程度) で表示することが一般的であるが、レイアウトの関係で2スライス加算することもある.	4-5(1)
• MIP (方向数)	8 方向以上	4-5(3)

臨床に役立つ基準画像の収集・処理・表示・出力のポイント(増田、長木、川渕、他)

ガリウムシンチグラフィ編:

収集	チェックポイント	本文参照項目
核種	⁶⁷ Ga-Citrate	
• 投与量	一般的に 111 MBq を使用,小児では適宜減量する.	表 1
• 投与後収集開始時間	48時間 (または72時間), 炎症疾患では6時間や12時間	5-2
• 前処置	一般的に下剤投与や浣腸を実施する.	5-2
・コリメータ	MEGP 等の中エネルギーを推奨, 5%貫通エネルギーが300 keV のものを使用, 散乱補正も有効である. 一部のメーカーではLMEGP (5%貫通エネルギー210 keV 以上)を用いてTEW散乱補正を行うこともある.	5-1, 図 5
エネルギーウィンドウ	93, 185, 300 keV にそれぞれ \pm 10%が一般的, 300 keV は \pm 7.5%とすることやウィンドウを設定しないこともあり.	5-1, 図4
全身スキャン	チェックポイント	本文参照項目
• ポジショニング	左右対称が原則、視野からはみ出さないこと.	5-3(1), 図1
• マトリクスサイズ	256×1024	5-3(1)
スキャン速度	10 cm/min を推奨	5-3(1)
患者コリメータ間距離	最近接	5-3(1)
SPECT	チェックポイント	本文参照項目
• ポジショニング	全身スキャンにて SPECT が必要な部位を予測する. カメラの有効視野に 入らない範囲は 2 回以上の全身 SPECT を実施する. 依頼書やカルテ,他 のモダリティ画像にて部位を決定する. 体動がないように適宜ベルトで 固定する.	5-4(1), 図 2 3, 6, 7
マトリクスサイズと 拡大率	128×128 1.0倍	表 1
• サンプリング方向数	60	5-4(1)
• 収集時間	20 sec/step 以上	5-4(1)
• 収集モード	連続回転	表 1
• 体位 (挙上)	腕が視野に入る場合は挙上	5-4(1), 図2
• 回転半径	できるだけ近接 (20~25 cm)	5-4(1)
• 円軌道/近接軌道	近接軌道	5-4(1)
再 構 成	チェックポイント	本文参照項目
• 体動補正	一般的ではない.	
• 散乱補正	可能であれば実施, 93, 185 keV にそれぞれ±10%のメインウィンドウと上下に7%のサブウィンドウを設定する.	5-3(2)
• 前処理フィルタ	Butterworth,装置,コリメータ,投与量,収集時間によりカットオフ周波数は変化するので検討が必要	表 1
• FBP/OSEM (イタレーション, サブセット)	可能なら OSEM を推奨する. 60方向の場合イタレーション $5\sim 6$, サブセット 6 程度を推奨する.	5-4(2),表 1
• 減弱補正	なし	表 1
表示	チェックポイント	本文参照項目
・カットレベル	全身は upper 100%, lower 0% が一般的, SPECT は upper 100%, lower 0~10% が一般的, TEW 処理を行った場合は upper 100%, lower 0%	5-3(3), 5-4(3
●階調	全身は直線階調で濃度を変化させた2画像または直線と二乗曲線階調の 2画像,スタチックは直線階調,SPECTは直線からわずかに二乗曲線と なった階調が一般的	5-3(3), 5-4(3), 図 1
• カラー表示	全身スキャンは白黒, SPECT はカラー表示もある.	5-3(3), 5-4(3
• 拡大率	モニターやフィルムのサイズにより適宜調整する.	5-3(3),5-4(3
• 表示スライス厚	元の1スライス (5 mm 程度) で表示することが一般的であるが,レイアウトの関係で2スライス加算することもある.	5-4(1)
• MIP (方向数)	8 方向以上	5-4(3), 図 9